

1

SINOPSE DAS AULAS

2

**MAC5775 MÉTODOS PROBABILÍSTICOS EM COMBINATÓRIA E EM
TEORIA DA COMPUTAÇÃO I**

3

4

PRIMEIRO SEMESTRE DE 2018

5

6

Notas de aula produzidas por

7

1. . . . ,

8

2. . . . ,

9

3. . . . e

10

4.

SUMÁRIO

11

12

13	Parte 1. PRIMEIROS CONTATOS COM O MÉTODO PROBABILÍSTICO	3
14	1. ...	3
15	1.1. Aula 05 de março de 2018	3
16	1.2. Aula 07 de março de 2018	6
17	1.3. Aula 12 de março de 2018	9
18	1.4. Aula 14 de março de 2018	13
19	1.5. Aula 19 de março de 2018 - Incidência de Pontos e Retas	16
20	1.6. Aula 21 de março de 2018	20
21	2. O método do segundo momento	24
22	2.1. Aula 05 de maio de 2018	24
23	2.2. Aula 04 de abril de 2018: Subgrafos pequenos em $G(n, p)$	29
24	2.3. Aula 09 de Abril de 2018: O Teorema de Rödl	34
25	2.4. Aula 11 de abril de 2018	42
26	2.5. Aula 23 de abril de 2018	45
27	3. Probabilidades exponencialmente pequenas	48
28	3.1. Aula 25 de abril de 2018: Probabilidades exponencialmente pequenas	48
29	3.2. Aula 07 de maio de 2018	50
30	3.3. Aula 09 de maio de 2018	53
31	3.4. Aula 14 de maio de 2018	57
32	3.5. Aula 16 de maio de 2018	60
33	3.6. Aula 05 de maio de 2018	64
34	Parte 2. MAIS APLICAÇÕES	68
35	Parte 3. TÓPICOS AVANÇADOS	69
36	3.7. Aula 6 de junho de 2018	69
37	4. Lema Local de Lovász	70
38	4.1. Aula 11 de junho de 2018: Lema Local de Lovasz Algoritmico	71
39	5. Complexidade de circuitos	77
40	5.1. Aula 13 de junho de 2018: Cotas inferiores para complexidade monótona	77
41	5.2. Aula 18 de junho de 2018: Complexidade monótona e circuitos de profundidade limitada	79
42		
43	5.3. Aula 20 de Junho de 2018: Circuitos de profundidade limitada (continuação)	81
44	Parte 4. BIBLIOGRAFIA	86
45	Referências	86

48 1.1. **Aula 05 de março de 2018.** ¹49 1.1.1. *Provas por contagem.*

50 **Exemplo 1.** Vamos chamar de *dovetail shuffling* (também conhecido como *riffle shuffling*) o
 51 processo de dividir um baralho comum de 52 cartas em dois montes do mesmo tamanho e
 52 entrelaçar as cartas desses montes de forma arbitrária. Pergunta: quatro dovetail shufflings são
 53 suficientes para se obter qualquer ordenação das cartas?

54 Executar um dovetail shuffling corresponde a escolher um subconjunto de 26 posições de
 55 uma lista de 52 disponíveis; essas posições escolhidas recebem as cartas do primeiro monte
 56 (em ordem) e as outras 26 posições recebem as cartas do segundo monte (também em ordem).
 57 Portanto, existem $\binom{52}{26}$ diferentes dovetail shufflings. Atingimos, assim, no máximo $\binom{52}{26}^4$ diferentes
 58 permutações do baralho original após quatro dovetail shufflings.

59 Usando os limitantes $\binom{52}{26} \leq 2^{52}$ e $52! \geq \left(\frac{52}{e}\right)^n$, temos

$$\binom{52}{26}^4 \leq (2^4)^{52} < \left(\frac{52}{e}\right)^{52} \leq 52!,$$

60 pois $2^4 = 16 < \frac{52}{3} < \frac{52}{e}$.

61 Portanto, a resposta é *não*.

62 **Exemplo 2.** Consideremos agora funções booleanas. Se $f : \{0, 1\}^n \rightarrow \{0, 1\}$ é uma função
 63 booleana, sabemos que é possível expressar f como uma fórmula booleana em n variáveis, usando
 64 apenas parênteses e os operadores \neg , \wedge e \vee . Por exemplo, podemos facilmente codificar f na
 65 forma normal disjuntiva (FND) da seguinte forma: para cada $(a_1, \dots, a_n) \in f^{-1}(1)$, definimos
 66 uma conjunção cujos literais são x_i se $a_i = 1$ e $\neg x_i$ se $a_i = 0$, para $i = 1, \dots, n$, sendo a
 67 fórmula para f uma disjunção dessas conjunções. Claramente, tal codificação em FND pode ter
 68 comprimento $\Theta(n2^n)$. Pergunta: é possível codificar toda função booleana com uma fórmula de
 69 comprimento no máximo n^{2018} ?

70 Uma função booleana em n variáveis atribui, para cada um dos 2^n vetores de n bits, um
 71 valor em $\{0, 1\}$; são, portanto, 2^{2^n} possíveis escolhas para f . Por outro lado, usando apenas os
 72 $n + 5$ símbolos “ \neg ”, “ \wedge ”, “ \vee ”, “(”, “)”, x_1, \dots, x_n , existem no máximo $(n + 5)^m$ fórmulas de
 73 comprimento m .

¹Notas produzidas por Gabriel Ferreira Barros e Tiago Royer.

74 Temos que

$$2^{2^n} > (n + 5)^m$$

75 quando

$$\frac{2^n}{\ln_2(n + 5)} > m.$$

76 Se escolhermos $m = n^{2018}$, veremos que o lado esquerdo cresce mais rápido do que o lado direito.
77 Portanto, para n suficientemente grande, teremos mais funções booleanas do que fórmulas de
78 comprimento n^{2018} para representá-las. Assim, a resposta é *não*.

79 **Exemplo 3.** Um *hipergrafo* é um par (V, E) com $E \subseteq 2^V$. Um k -grafo é um hipergrafo em que
80 toda hiperaresta $e \in E$ possui cardinalidade k .

81 Dizemos que o hipergrafo H possui a *propriedade B* ou, equivalentemente, que H é *2-colorível*
82 se existe uma coloração $c : V \rightarrow [2]$ tal que nenhuma aresta é monocromática (isto é, c não é
83 constante em nenhuma aresta).

84 Defina o número $m(n)$ por

$$m(n) = \min\{|E| : H = (V, E) \text{ é um } n\text{-grafo que não é 2-colorível}\}.$$

85 Sabe-se que $m(n) = \Omega(\sqrt{n/\ln n} 2^n)$ [7] e que $m(n) < n^2 2^n$ [3]. Erdős and Lovász conjecturam
86 que $m(n) = \Theta(n 2^n)$ [4].

87 Temos $m(1) = 1$ (qualquer 1-aresta é monocromática) e $m(2) = 3$ (um triângulo possui três
88 arestas e não é 2-colorível; os grafos com menos arestas são todos 2-coloríveis). Analisemos $m(3)$.

89 Para obter um limitante superior, considere o plano de Fano (Figura 2). Os vértices do
90 hipergrafo correspondente são os pontos do plano, e as hiperarestas são as linhas (indicadas
91 pelas seis linhas retas e pelo círculo).

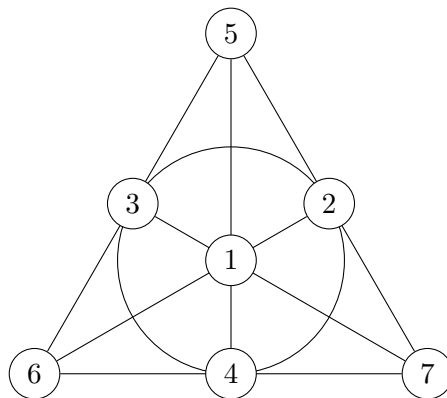


FIGURA 1. Plano de Fano.

92 Afirmamos que o plano de Fano não é 2-colorível. De fato, por simetria podemos assumir
 93 que os vértices 2 e 3 possuem a mesma cor, e o vértice 4 possui uma cor diferente. Agora, para
 94 qualquer cor que escolhamos para o vértice 1, as cores dos demais vértices serão forçadas, e em
 95 ambos os casos terminaremos com uma aresta monocromática. Portanto, o plano de Fano não é
 96 2-colorível, o que mostra que $m(3) \leq 7$.

97 Mostraremos agora que $m(3) > 6$. Seja $H = (V, E)$ um 3-grafo com $|E| \leq 6$. Consideremos
 98 dois casos.

99 Primeiro caso: $|V| \leq 6$. Sem perda de generalidade, podemos assumir que $|V| = 6$. Escolha
 100 três vértices de V ao acaso, pinte-os de uma mesma cor e pinte os outros três de outra cor.
 101 Existem $\binom{6}{3} = 20$ possíveis colorações, e cada aresta só fica monocromática em duas dessas
 102 escolhas. Assim, existem no máximo $2|E| \leq 12$ colorações “proibidas”, e esse número é menor
 103 que o número total de colorações. Portanto, alguma dessas colorações não deixa nenhuma aresta
 104 monocromática.

105 Segundo caso: $|V| > 6$. Considere o grafo bipartido G cujos vértices são $V \cup E$ e há uma
 106 aresta entre $v \in V$ e $e \in E$ se $v \in e$. Cada $e \in E$ é tocado por exatamente três arestas, portanto
 107 o número de arestas de G é igual a $3|E| \leq 18$. Como $|V| \geq 7$, o grau médio (em G) dos vértices
 108 $v \in V$ é menor ou igual a $18/|V| < 3$, o que implica que ao menos um vértice v está em no
 109 máximo duas hiperarestas de H . Como estas duas hiperarestas cobrem no máximo cinco vértices
 110 de H (incluindo v), existe um vértice u tal que nenhuma hiperaresta contém ambos u e v . Agora,
 111 construa o hipergrafo H' identificando u e v ; H' ainda é um 3-grafo, e, por indução, é 2-colorível.
 112 Basta então copiar as cores para o grafo H original (u e v terão a mesma cor).

113 Portanto, $m(3) = 7$.

114 Uma busca computacional realizada por Östergård mostrou que $m(4) = 23$ [9].

115 **Proposição 4.** *Seja $m(n)$ como definido acima. Então*

$$m(n) \geq 2^{n-1}.$$

116 *Demonstração.* Seja $H = (V, E)$ um n -grafo com $|E| < 2^{n-1}$. Vamos mostrar que H é 2-colorível.

117 Pinte cada vértice de uma cor de maneira independente, com ambas as cores tendo a mesma
 118 probabilidade. A probabilidade de uma aresta fixa $e \in E$ ficar monocromática é $\frac{2}{2^n} = 2^{1-n}$.
 119 Logo, a probabilidade de alguma aresta $e \in E$ ficar monocromática é no máximo $2^{1-n}|E| < 1$, e
 120 o procedimento descrito acima pinta H corretamente com probabilidade positiva.

121 Isso significa que H é 2-colorível. □

123 **Definição 5.** Uma tupla (Ω, \mathbb{P}) é um espaço de probabilidade finito se $|\Omega| < \infty$ e $\mathbb{P} : 2^\Omega \rightarrow [0, 1]$
 124 é uma função que satisfaz

125 (1) $\mathbb{P}(\emptyset) = 0$;

126 (2) $\mathbb{P}(\Omega) = 1$;

127 (3) Para todo $A, B \subseteq \Omega$ tais que $A \cap B = \emptyset$ vale que $\mathbb{P}(A \cup B) = \mathbb{P}(A) + \mathbb{P}(B)$.

128 Um conjunto $A \subseteq \Omega$ é chamado evento.

129 **Observação 6.** Se $A, B \subseteq \Omega$ então $\mathbb{P}(A \cup B) \leq \mathbb{P}(A) + \mathbb{P}(B)$. Em geral, se $(A_\lambda)_{\lambda \in \Lambda}$ são eventos
 130 em Ω , então

$$\mathbb{P}\left(\bigcup_{\lambda} A_\lambda\right) \leq \sum_{\lambda \in \Lambda} \mathbb{P}(A_\lambda).$$

131 Essa desigualdade é chamada “cota da união”, ou às vezes “desigualdade de Boole.”

132 1.2.1. *Caso uniforme.* Se $A = \{a_\lambda : \lambda \in \Lambda\}$, então $\mathbb{P}(A) = \sum_{\lambda \in \Lambda} \mathbb{P}(a_\lambda)$. Se $\mathbb{P}(\omega) = 1/|\Omega|$
 133 para todo $w \in \Omega$, chamamos o espaço (Ω, \mathbb{P}) de espaço de probabilidade *uniforme*. Neste caso,
 134 $\mathbb{P}(A) = |A|/|\Omega|$ para todo $A \subseteq \Omega$.

135 **Exemplo 7.** Considere o espaço de probabilidade (Ω, \mathbb{P}) onde $\Omega = \{0, 1\}^n$, $n \geq 1$, e \mathbb{P} uniforme.
 136 Assim, $\mathbb{P}((x_i)_{i=1}^n) = 1/(2^n)$ para todo $(x_i)_{i=1}^n \in \{0, 1\}^n$.

137 **Exemplo 8.** Considere o espaço de probabilidade (Ω, \mathbb{P}) onde $\Omega = S_n$, $n \geq 1$, e \mathbb{P} uniforme.
 138 Assim, $\mathbb{P}(\sigma) = 1/n!$ para todo $\sigma \in S_n$.

139 **Exemplo 9.** Considere o espaço de probabilidade (Ω, \mathbb{P}) onde $\Omega = S_{52}$ e \mathbb{P} uniforme. Isto
 140 é, (Ω, \mathbb{P}) é uma permutação uniforme do baralho de 52 cartas. Quanto é $\mathbb{P}(\sigma(1) < \sigma(2))$?
 141 A resposta correta é $1/2$. Essa resposta é intuitivamente verdadeira porque a distribuição é
 142 uniforme. Para provar formalmente o resultado, basta observar que existe uma bijeção entre
 143 $A = \{\sigma \in S_n : \sigma(1) < \sigma(2)\}$ e $B = \{\sigma \in S_n : \sigma(2) < \sigma(1)\}$. Deste modo, temos $|A| = |B| = n!/2$.

144 1.2.2. *Eventos independentes.*

145 **Definição 10.** Dois eventos $A, B \subseteq \Omega$ são independentes se $\mathbb{P}(A \cap B) = \mathbb{P}(A)\mathbb{P}(B)$. Mais
 146 geralmente, os eventos $A_1, \dots, A_k \subseteq \Omega$ são independentes se, para todo $i_1 < i_2 < \dots < i_\ell$
 147 e $\ell \geq 2$ vale que $\mathbb{P}(A_{i_1} \cap A_{i_2} \cap \dots \cap A_{i_\ell}) = \mathbb{P}(A_{i_1})\mathbb{P}(A_{i_2}) \dots \mathbb{P}(A_{i_\ell})$. Finalmente, os eventos
 148 $A_1, \dots, A_n \subseteq \Omega$ são *k-a-k* independentes se, para todo $i_1 < i_2 < \dots < i_k$, os eventos A_{i_1}, \dots, A_{i_k}
 149 são independentes.

²Notas produzidas por Bruno Pasqualotto Cavalari e Marcelo Tadeu Sales. Aula de 07/03/2018.

150 **Exemplo 11.** Considere o espaço de probabilidade uniforme sobre S_n , $n \geq 3$. Considere também
 151 os seguintes eventos nesse espaço de probabilidade:

- 152 • $A = \{\sigma(1) = 1\}$;
- 153 • $B = \{\sigma(1) = 2\}$;
- 154 • $C = \{\sigma(2) = 2\}$;
- 155 • $D = \{\sigma(2) < 3\}$.

A tabela a seguir indica a relação de dependência entre os eventos.

	A	B	C	D
A	Não	Não	Não	Sim
B		Não	Não	Sim
C			Não	Sim sse $n = 3$
D				Não

156

157 Daqui em diante, escrevemos $x \in_U \Omega$ para denotar que x é escolhido uniformemente ao acaso
 158 dentro de Ω .

159 **Exemplo 12.** Seja $x_i \in_U \{0, 1\}$, para $i = 1, \dots, n$. Suponha que as n escolhas são independentes.
 160 Segue que $\mathbb{P}[(x_i)_{i=1}^n = (a_i)_{i=1}^n] = 1/(2^n)$ para qualquer $(a_i)_{i=1}^n \in \{0, 1\}^n$ fixo. Observe que a
 161 amostragem de $x = (x_i)_{i=1}^n$ segue a distribuição $(\Omega, \mathbb{P}) = (\{0, 1\}^n, \text{uniforme})$.

162 **Exemplo 13.** Tome $X_1 \in_U \mathbb{Z}_2$ e $X_2 \in_U \mathbb{Z}_2$ e defina $X_3 := X_1 + X_2$. Temos que X_1, X_2 e X_3
 163 são 2-a-2 independentes, mas não são independentes, pois X_3 é completamente determinado
 164 pela escolha de X_1 e X_2 .

165 **Exemplo 14** (Secretary/Hiring Problem). No problema da contratação, Bob entrevista n
 166 candidatos, um por vez, e escolhe apenas um deles. No entanto, a cada entrevista Bob é
 167 forçado a contratar ou rejeitar, e não pode voltar atrás na sua decisão. Suponha que cada
 168 candidato possui um número que indica a sua qualidade, e que Bob quer contratar o candidato
 169 de maior número. Suponha também que a ordem relativa dos números dos candidatos forma uma
 170 permutação aleatória uniforme. Qual é uma boa estratégia para garantir que Bob irá contratar
 171 o candidato de maior número? Aqui vamos analisar a estratégia de corte r , denotada por E_r .

172 A estratégia E_r vê os primeiros r candidatos, e depois escolhe o primeiro candidato que
 173 tiver número maior do que o máximo dos primeiros r candidatos. Seja σ a permutação que
 174 indica a ordem relativa dos números dos candidatos. Fazendo abuso de notação, escreveremos
 175 que $\sigma(i) = \max$ se o número máximo estiver na posição i . Observe que, se $\sigma(i) = \max$ para
 176 $i \in [r]$, então E_r não escolhe o máximo. Por outro lado, se $\sigma(i) = \max$ para $i > r$, então E_r
 177 escolhe o máximo se, e somente se, o máximo dos primeiros $i - 1$ candidatos estiver entre os

178 primeiros r candidatos. Como a permutação é escolhida uniformemente ao acaso, isso acontece
 179 com probabilidade $r/(i-1)$.

180 Disto segue que

$$\begin{aligned}
 \mathbb{P}[E_r \text{ escolhe o máximo}] &= \sum_{i=1}^n \mathbb{P}[E_r \text{ escolhe o máximo} \mid \sigma(i) = \max] \mathbb{P}[\sigma(i) = \max] \\
 &= \sum_{i=r+1}^n \mathbb{P}[E_r \text{ escolhe o máximo} \mid \sigma(i) = \max] \mathbb{P}[\sigma(i) = \max] \\
 &= \sum_{i=r+1}^n \frac{r}{i-1} \cdot \frac{1}{n} \\
 &= \frac{r}{n} \sum_{i=r+1}^n \frac{1}{i-1} \\
 &\sim \frac{r}{n} \ln \frac{n}{r}.
 \end{aligned}$$

181 Como $x \ln(1/x)$ é maximizado para $x = 1/e$, segue que $\mathbb{P}[E_r \text{ escolhe o máximo}] \sim 1/e \cong 0.37$
 182 para $r = n/e$.

183 **Exemplo 15** (Grafos aleatórios). Denotamos por $G(n, p)$ o *grafo aleatório binomial* em que
 184 cada aresta aparece independentemente com probabilidade p . Seja E_1 o evento de $G(n, 1/2)$
 185 ser bipartido e E_2 o evento de $G(n, 1/2)$ ser conexo. Sem perda de generalidade, suponha que
 186 $V(G(n, p)) = [n]$.

187 Vamos provar primeiro que o grafo aleatório $G(n, 1/2)$ não é bipartido com alta probabilidade.
 188 Para todo $k = 1, 2, \dots, \lfloor n/3 \rfloor$, defina $V_k := \{3k-2, 3k-1, 3k\}$. Seja também A_k o evento de não
 189 ocorrer o triângulo de vértices V_k em $G(n, 1/2)$. Como $V_i \cap V_j = \emptyset$ para todo $i \neq j$, segue que
 190 os eventos A_i e A_j são independentes para todo $i \neq j$. Observe também que $\mathbb{P}[A_k] = 2^{-3}$. Note
 191 ainda que, se $G(n, 1/2)$ é bipartido, então não pode ocorrer A_k para todo $k = 1, 2, \dots, \lfloor n/3 \rfloor$.
 192 Segue que

$$\mathbb{P}[E_1] \leq \prod_{k=1}^{\lfloor n/3 \rfloor} \mathbb{P}[\neg A_k] = 2^{-3\lfloor n/3 \rfloor} = o(1).$$

193 Portanto, com alta probabilidade o grafo aleatório $G(n, 1/2)$ não é bipartido.

194 Vamos provar agora que $G(n, 1/2)$ é conexo com alta probabilidade. Observe que, se $G(n, 1/2)$
 195 é desconexo, então existem dois vértices $x_i, x_j \in V(G(n, 1/2))$ tais que não existe caminho de
 196 comprimento dois entre v_i e v_j . Isso acontece com probabilidade igual a $2^{-2(n-2)}$. Portanto,
 197 pela cota da união segue que

$$\mathbb{P}[\neg E_2] \leq \binom{n}{2} 2^{-2(n-2)} \sim 8 \frac{n^2}{4^n} = o(1).$$

198 Isso mostra que $G(n, 1/2)$ é conexo com alta probabilidade.

199 1.3. Aula 12 de março de 2018. ³

200 1.3.1. Variáveis aleatórias e esperança.

201 **Definição 16.** Seja (Ω, \mathbb{P}) um espaço de probabilidade finito tal que $\mathbb{P} : 2^\Omega \rightarrow [0, 1]$. Uma
202 variável aleatória (real) é uma função $f : \Omega \rightarrow \mathbb{R}$.

203 **Definição 17.** A esperança da variável aleatória f , denotada $\mathbb{E}(f)$, é igual a

$$\sum_{\omega \in \Omega} \mathbb{P}(\omega) f(\omega).$$

204 **Observação 18.** Se \mathbb{P} é uniforme, então

$$\mathbb{E}(f) = |\Omega|^{-1} \sum_{\omega \in \Omega} f(\omega) = \text{Avg}(f).$$

205 **Definição 19.** Seja $A \subseteq \Omega$. A função indicadora de A é $\mathcal{I}_A : \Omega \rightarrow \mathbb{R}$ dada por

$$\mathcal{I}_A(\omega) = \begin{cases} 1, & \text{se } \omega \in A \\ 0, & \text{se } \omega \notin A \end{cases}$$

206 (Notação alternativa: $\mathbb{1}_A$, $[A]$, χ_A , etc.)

207 **Observação 20.** $\mathbb{E}(\mathcal{I}_A) = \mathbb{P}(A)$.

208 **Teorema 21.** Linearidade da esperança.

209 Sejam f, g variáveis aleatórias sobre (Ω, \mathbb{P}) e $\alpha \in \mathbb{R}$. Então

210 (i) $\mathbb{E}(f + g) = \mathbb{E}(f) + \mathbb{E}(g)$

211 (ii) $\mathbb{E}(\alpha f) = \alpha \mathbb{E}(f)$

212 **Exemplo 22.** Considere $\Omega = \{0, 1\}^n$ com $n \geq 1$ e \mathbb{P} uniforme. Seja $x = (x_i)_{i=1}^n \in \{0, 1\}^n$ e a
213 variável aleatória f_1 definida por $f_1(x) = \sum_{i=1}^n x_i = \#$ bits 1 do vetor x . Então

$$\mathbb{E}(f_1) = \sum_{x \in \{0,1\}^n} \mathbb{P}(x) f(x) = 2^{-n} \sum_{k=0}^n \binom{n}{k} k = 2^{-n} \sum_{k=1}^n \frac{n}{k} \binom{n-1}{k-1} k = 2^{-n} n 2^{n-1} = \frac{n}{2}.$$

214 Esse mesmo resultado pode ser obtido com o auxílio de funções indicadoras dadas pelos eventos

215 $A_i = \{x \in \{0, 1\}^n : x_i = 1\}$. Note que $\forall x \in \Omega$

$$f_1(x) = \sum_{i=1}^n \mathcal{I}_{A_i}(x)$$

³Notas produzidas por Rodrigo Enju e André Nakazawa.

216 e conseqüentemente, pela linearidade da esperança,

$$\mathbb{E}(f_1) = \sum_{i=1}^n \mathbb{E}(\mathcal{I}_{A_i}) = \sum_{i=1}^n \mathbb{P}(A_i) = \frac{n}{2},$$

217 pois segue da uniformidade de \mathbb{P} que $\mathbb{P}(A_i) = \frac{1}{2} \forall i \in [n]$.

218 **Observação 23.** *Contagem dupla.* O resultado do exemplo anterior confirma a relação

$$\sum_{k=0}^n \binom{n}{k} k = n2^{n-1}.$$

219 **Exemplo 24.** *Coelhos sobreviventes.* Considere a seguinte situação, temos n coelhos e n
220 caçadores. Cada caçador escolhe independentemente um coelho com probabilidade uniforme e
221 atira. Os coelhos que não foram escolhidos por nenhum caçador são ditos sobreviventes. Então,
222 podemos definir uma variável aleatória f_2 como o número de coelhos sobreviventes.

223 O espaço de probabilidade desta situação é

$$[n]^{[n]} = \{t : [n] \rightarrow [n]\}$$

224 com distribuição uniforme.

225 Seja A_i o evento em que o coelho i sobrevive. Temos que

$$f_2 = \sum_{i=1}^n \mathcal{I}_{A_i}.$$

226 Como a probabilidade do coelho i sobreviver é

$$\mathbb{P}(A_i) = \left(1 - \frac{1}{n}\right)^n$$

227 e tal probabilidade tende para $1/e$ quando n tende para infinito, segue que

$$\mathbb{E}(f_2) = \sum_{i=1}^n \mathbb{E}(\mathcal{I}_{A_i}) = \sum_{i=1}^n \mathbb{P}(A_i) \rightarrow n \frac{1}{e} = \frac{n}{e}.$$

228 **Exemplo 25.** *Número de máximos sucessivos.* Dada uma seqüência x_1, \dots, x_n de n números
229 inteiros distintos, dizemos que um elemento x_i é *left-to-right maxima* (LtR max) se $x_i \geq x_j$
230 sempre que $i \geq j$. Queremos estimar o número de LtR maxes em seqüências de n números. Para
231 isso, considere $\pi \in_U S_n$ e seja f_3 o número de LtR maxes em $\pi(1), \dots, \pi(n)$. Tomemos o evento
232 $A_i = \{\pi \in S_n : \pi(i) \text{ é um LtR max}\}$, então

$$f_3 = \sum_{i=1}^n \mathcal{I}_{A_i}.$$

233 A probabilidade do evento A_i é igual à probabilidade do i -ésimo elemento ser o maior dentre os
 234 i primeiros elementos de π . Como π é uma permutação uniforme, a probabilidade de i ser o
 235 maior elemento de $(\pi(1), \dots, \pi(i))$ é $1/i$. Assim,

$$\mathbb{E}(f_3) = \sum_{i=1}^n \mathbb{P}(A_i) = 1 + \frac{1}{2} + \dots + \frac{1}{n} = H_n.$$

236 Então segue de $\log(n+1) \leq H_n \leq \log(n) + 1$ que $H_n = \Theta(\log n)$.

237 **Exemplo 26.** *Número de comparações no algoritmo Quicksort.* Considere o algoritmo Quicksort
 238 determinístico que ao receber uma entrada $x_{\pi(1)}, \dots, x_{\pi(n)}$ de n elementos distintos devolve
 239 $x_1 < \dots < x_n$ como saída, sendo que $\pi \in_U S_n$. Queremos estimar f_4 o número de comparações
 240 efetuadas pelo algoritmo. Tal resultado será desenvolvido em notas posteriores.

241 1.3.2. *Mais aplicações.*

242 **Observação 27.** Dado um grafo G qualquer, denotamos por $V(G)$ o conjunto de seus vértices e
 243 por $E(G)$ o conjunto de suas arestas. Ademais, escrevemos G^N para expressar que $|V(G)| = N$.

244 (1) Subgrafo bipartido grande

245 **Teorema 28.** *Seja $G = G^{2n}$, para $n \geq 1$. Existe uma bipartição balanceada com mais do*
 246 *que $|E(G)|/2$ arestas entre os conjuntos.*

247 *Demonstração.* Escolhemos $A \subseteq V(G)$, com $|A| = n$, uniforme ao acaso. Consideremos a
 248 bipartição A, B , com $V(G) = A \cup B$. Seja X o número de arestas entre A e B . Para cada
 249 $e \in E(G)$, seja $F_e = \{e \text{ é uma aresta entre } A \text{ e } B\}$. Então

$$X = \sum_{e \in E(G)} \mathcal{I}_{F_e}$$

250 Temos que

$$\mathbb{P}(F_e) = \frac{2 \binom{2n-2}{n-1}}{\binom{2n}{n}} = \frac{2 \binom{2n-2}{n-1}}{\frac{2n(2n-1)}{n(n-1)} \binom{2n-2}{n-2}} = \frac{\frac{n-1}{2n-1} \frac{n}{n-1} \binom{2n-2}{n-2}}{\binom{2n-2}{n-2}} = \frac{n}{2n-1} > \frac{n}{2n} = \frac{1}{2}.$$

251 Portanto

$$\mathbb{E}(X) = \sum_{e \in E(G)} \mathbb{P}(F_e) > \frac{|E(G)|}{2}.$$

252 □

253 (2) Conjuntos independentes

254 Seja G um grafo, $S \subseteq V(G)$ é dito *independente* (ou estável) se $\nexists e \in E(G)$ com $e \subseteq S$.

255 Definimos $\alpha(G) = \max\{|S| : S \subseteq V(G)\}$.

256 **Teorema 29** (Turán). *Seja $G = G^n$, com $n \geq 1$, e $m = |E(G)|$. Então*

$$\alpha(G) \geq \frac{n^2}{2m + n}.$$

257 **Lema 30.** *Para todo grafo G vale que*

$$\alpha(G) \geq \sum_{v \in V(G)} \frac{1}{d(v) + 1},$$

258 *onde $d(v)$ é o grau do vértice $v \in V(G)$.*

259 *Demonstração.* (Lema 30). *Seja $V(G) = [n]$, sem perda de generalidade, e $\pi \in_U S_n$.*

260 *Considere que $\pi(i)$ é bom se todos os vizinhos de $\pi(i)$ estão à direita de $\pi(i)$, isto é,*

261 *$\pi(i) < \pi(j) \forall j \in [n]$ tal que $\{\pi(i), \pi(j)\} \in E(G)$. Seja $B = \{i \in [n] : \pi(i) \text{ é bom}\}$. Note que*

262 *B é independente, pois se $\{\pi(i), \pi(j)\} \in E(G)$ com $\pi(i) < \pi(j)$, então $\pi(j) \notin B$, ou seja,*

263 *$\{\pi(i), \pi(j)\} \not\subseteq B$. Fixando $\pi \in S_n$ temos que*

$$|B| = \sum_{1 \leq i \leq n} \mathcal{I}_{\{\pi(i) \text{ é bom}\}}.$$

264 Logo

$$\mathbb{E}(|B|) = \sum_{1 \leq i \leq n} \mathbb{P}\{\pi \in S_n : \pi(i) \text{ é bom}\} = \sum_{1 \leq i \leq n} \frac{1}{d(\pi(i)) + 1} = \sum_{i \in [n]} \frac{1}{d(i) + 1},$$

265 e consequentemente existe $\pi \in S_n$ tal que

$$|B| \geq \sum_{i \in [n]} \frac{1}{d(i) + 1}.$$

266 Então, da independência de B segue que

$$\alpha(G) \geq \sum_{v \in V(G)} \frac{1}{d(v) + 1}.$$

267 □

268 **Teorema 31.** *Desigualdade de Jensen. Seja X uma variável aleatória e f uma função*

269 *convexa. Então $f(\mathbb{E}(X)) \leq \mathbb{E}(f(X))$.*

270 *Demonstração.* (Teorema 29). *Pelo lema 30, temos que*

$$\alpha(G) \geq \sum_{v \in V(G)} \frac{1}{d(v) + 1}$$

271 Seja $X \in_U \{d(v) : v \in V(G)\}$ e

$$f(x) = \frac{1}{x+1}.$$

272 Como f é convexa,

$$\mathbb{E}(f(X)) = \frac{1}{n} \sum_{v \in V(G)} \frac{1}{d(v)+1} \geq \frac{1}{\bar{d}+1} = f(\bar{d}) = f(\mathbb{E}(X)),$$

273 sendo

$$\bar{d} = \text{Avg}(d) = \frac{1}{n} \sum_{v \in V(G)} d(v) = \frac{2m}{n}.$$

274 Logo

$$\alpha(G) \geq n \frac{1}{\bar{d}+1} = \frac{n^2}{2m+n}.$$

275

□

276 1.4. Aula 14 de março de 2018. ⁴

277 1.4.1. Uma aplicação geométrica.

278 **Definição 32.** *Seja L um conjunto de retas do plano. Denotamos por $V(L)$ (ou simplesmente*
279 *por V , quando L está subentendido pelo contexto) o conjunto de interseções de retas em L .*
280 *Dizemos que L é uma configuração de retas em posição geral se ele satisfaz as seguintes condições:*

- 281 (1) *Para cada ponto $v \in V(L)$, há exatamente duas retas que passam por v em L ;*
282 (2) *Não há duas retas paralelas distintas em L ;*
283 (3) *Não há retas verticais em L .*

284 **Definição 33.** *Seja L uma configuração de retas em posição geral. Dado $v \in V$, definimos*
285 *o nível de v em L , denotado por $\ell(v)$, como o número de interseções da semi-reta vertical de*
286 *origem v com retas de L que não passam por v .*

287 Dada uma configuração de retas em posição geral L , considere as convenções:

- 288 • $V_k = \{v \in V : \ell(v) = k\}$.
289 • $V_{\leq k} = \bigcup_{0 \leq i \leq k} V_i$.
290 • $t_k(L) = |V_k|$; $t_{\leq k}(L) = |V_{\leq k}|$.
291 • $t_k(n) = \max\{t_k(L) : |L| = n\}$; $t_{\leq k}(n) = \max\{t_{\leq k}(L) : |L| = n\}$.

292 **Observação 34.** Note que $t_k(n) \leq n - k - 1$. Daí, $t_{\leq k}(n) \geq (n-1) + \dots + (n-k-1) =$
293 $(k+1)(2n-k-2)/2 = \Omega(nk)$.

⁴Notas produzidas por Thiago Estrela e Ângelo Lovatto.

Teorema 35 (Clarkson - Shor). *Temos:*

$$t_{\leq k} \leq 3(k+1)n.$$

Demonstração. Seja $R = L_p$ um subconjunto aleatório de L obtido incluindo-se cada $\ell \in L$ de modo independente com probabilidade p . Seja $X = t_0(R)$. Note que, para qualquer $M \subseteq L$, tem-se $t_0(M) \leq |M|-1 \leq |M|$ (Observação 34). Assim:

$$\mathbb{E}(X) = \mathbb{E}(T_0(R)) \leq \mathbb{E}(|R|) = np.$$

Para cada $v \in V(L)$, considere o evento $A_v = \{v \in V_0(R)\}$. A_v ocorre se e somente se ambas as retas que determinam a interseção v estão em R e nenhuma das retas que interceptam a semi-reta vertical de origem v em L estão em R . Portanto, temos

$$t_0(R) = \sum_{v \in V(L)} \mathbb{1}_{A_v},$$

$$\mathbb{P}(A_v) = p^2(1-p)^{\ell_L(v)},$$

294 onde $\ell_L(v)$ é o nível de v em L . Assim,

$$\begin{aligned} np = \mathbb{E}(|R|) &\geq \mathbb{E}(t_0(R)) \\ &= \sum_{v \in V(L)} \mathbb{E}(\mathbb{1}_{A_v}) && \text{(linearidade da esperança)} \\ &= \sum_{v \in V(L)} \mathbb{P}(A_v) \\ &= \sum_{v \in V(L)} p^2(1-p)^{\ell_L(v)} \\ &\geq \sum_{v \in V_{\leq k}(L)} p^2(1-p)^{\ell_L(v)} \\ &\geq \sum_{v \in V_{\leq k}(L)} p^2(1-p)^k && (\ell_L(v) \leq k) \\ &= t_{\leq k}(L)p^2(1-p)^k. \end{aligned}$$

Logo,

$$t_{\leq k}(L) \leq \frac{n}{p(1-p)^k}.$$

295 Tomando $p = 1/(k+1)$, segue que

$$\frac{n}{p(1-p)^k} = \frac{n}{\frac{1}{k+1}\left(1 - \frac{1}{k+1}\right)^k} \leq en(k+1),$$

$$\therefore t_{\leq k}(L) \leq 3n(k+1).$$

296

□

297 1.4.2. *Número de comparações do Quicksort.* O algoritmo Quicksort recebe uma sequência
 298 (x_1, \dots, x_n) de números como entrada e separa seus elementos, exceto x_1 , em duas sequências:
 299 uma contendo os elementos menores que x_1 e outra com os elementos maiores ou iguais a x_1 .
 300 Em ambas, a ordem dos elementos permanece a mesma da sequência de entrada. Cada uma é
 301 então ordenada por uma aplicação recursiva do mesmo método. A recursão termina quando as
 302 sequências são trivialmente pequenas (1 ou nenhum elemento).

303 Embora o algoritmo possa precisar de $O(n^2)$ passos para completar a ordenação, na prática
 304 Quicksort é bem eficiente, como mostra o seguinte teorema.

305 **Teorema 36.** *Suponha $x_1 < x_2 < \dots < x_n$. Seja π uma permutação aleatória escolhida*
 306 *uniformemente ao acaso entre todas as permutações da sequência $(1, \dots, n)$. Em outras palavras,*
 307 *$\pi \in_{\cup} S_n$. Seja $T(\pi) = \#$ comparações no Quicksort com entrada*

$$x_{\pi(1)}, x_{\pi(2)}, \dots, x_{\pi(n)}.$$

308 Então $\mathbb{E}(T) \leq 2n \ln n$.

309 *Demonstração.* Seja $T_i = T_i(\pi) = \#$ comparações quando $x_{\pi(i)}$ é o pivô. Por exemplo, temos
 310 sempre que $T_1 = n - 1$. Em geral, podemos interpretar T_i de acordo com a seguinte sequência:

$$x_1, \dots, \mathbf{x_j}, x_{j+1}, x_{j+2}, x_{j+3}, \mathbf{x_{j+4}} = x_{\pi(i)}, x_{j+5}, \mathbf{x_{j+6}}, \dots, x_n.$$

311 A sequência mostra os elementos ordenados, onde os que estão em negrito marcam os pivôs
 312 escolhidos antes de $x_{\pi(i)}$, ou seja, os elementos com índices $\pi(1), \dots, \pi(i-1)$. Note que T_i é
 313 igual ao número de elementos não marcados entre $x_{\pi(i)}$ e o elemento em negrito mais próximo,
 314 em ambas as direções. Informalmente, T_i é exatamente a quantidade de elementos que $x_{\pi(i)}$
 315 "enxerga", se os em negrito forem considerados opacos.

316 Claramente, $T(\pi) = \sum_{i=1}^n T_i$, pois cada elemento é pivô exatamente uma vez. Por linearidade
 317 da esperança, temos que $\mathbb{E}(T(\pi)) = \sum_{i=1}^n \mathbb{E}(T_i)$.

318 Para calcular $\mathbb{E}(T_i)$, consideraremos o algoritmo executando de volta no tempo, ou seja,
 319 começamos com todos os elementos já marcados como pivôs. Geramos então a sequência
 320 aleatória π da seguinte maneira: em cada passo de tempo i , começando com $i = n$ até 1,
 321 escolhemos um dos elementos em negrito uniformemente ao acaso e atribuímos seu índice a

322 $\pi(i)$, simultaneamente desmarcando tal elemento como pivô. A quantidade T_i é o número de
 323 elementos que $x_{\pi(i)}$ enxerga nesse momento.

324 Note que no passo de tempo i , antes de sortear $\pi(i)$, restam exatamente i pivôs na sequência.
 325 Cada um dos $n - i$ elementos não marcados enxerga no máximo 2 em negrito. Portanto o número
 326 de pares (não marcado, marcado) cujos membros enxergam um ao outro é no máximo $2(n - i)$.
 327 Em média, um dos i elementos em negrito enxerga no máximo $\frac{2(n-i)}{i}$ elementos, e portanto
 328 $\mathbb{E}(T_i) \leq \frac{2(n-i)}{i}$. Logo, temos

$$\begin{aligned} \mathbb{E}(T(\pi)) &= \sum_{i=1}^n \mathbb{E}(T_i) \leq \sum_{i=1}^n \frac{2(n-i)}{i} \\ &= 2n \sum_{i=1}^n \frac{1}{i} - 2n = 2nH_n - 2n \\ &\leq 2n \ln n. \end{aligned}$$

329

□

330 1.5. Aula 19 de março de 2018 - Incidência de Pontos e Retas. ⁵

331 1.5.1. Plano Projetivo Finito.

332 **Definição 37.** *Seja $|X| < \infty$, $\mathcal{L} \subseteq \wp(X)$. A dupla (X, \mathcal{L}) é plano projetivo se:*

- 333 (1) $\exists F \subseteq X : |F| = 4$ e $|F \cap L| \leq 2, \forall L \in \mathcal{L}$;
- 334 (2) $\forall L, L' \in \mathcal{L}, L \neq L'$ temos $|L \cap L'| = 1$;
- 335 (3) $\forall x, x' \in X, x \neq x', \exists! L \in \mathcal{L}$ com $\{x, x'\} \subseteq L$;

336 *Podemos chamar o conjunto X de Pontos e o conjunto \mathcal{L} de Retas, para uma ideia intuitiva*

337 **Fato 38.** *Da definição de plano projetivo finito pode ser deduzido:*

- 338 (1) $\forall L, L' \in \mathcal{L}$ temos $|L| = |L'|$;
- 339 (2) **def:** A **ordem** de um plano projetivo finito é $|L| - 1, L \in \mathcal{L}$;
- 340 (3) *Se um plano projetivo finito tem ordem n :*
- 341 • $\forall x \in X$ existem exatamente $n + 1$ retas $L \in \mathcal{L}$ com $x \in L$;
 - 342 • $\forall L \in \mathcal{L}, |L| = n + 1$;
 - 343 • $|X| = n^2 + n + 1$ e $|\mathcal{L}| = n^2 + n + 1$;

⁵Notas produzidas por Rafael Zuolo e Gabriel Lasso

344 1.5.2. *Existência e Exemplo.* Seja q uma potência de primo, então um plano projetivo finito de
 345 ordem n pode ou não existir:

n	2	3	4	5	6	7	8	9	10	11	12	\dots	q
$\exists!$	sim	sim	sim	sim	não	sim	sim	sim	não	sim	em aberto	\dots	sim

Note que

347 mesmo se tratando de conjuntos finitos, não se sabe se existe ou não um PPF de ordem $n = 12$.
 348 Para $n = 2$, chamamos o PPF de **fano**:

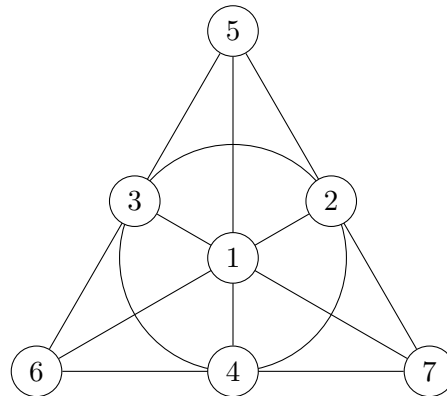


FIGURA 2. Fano.

349 Para meditar em casa: é possível desenhar o fano no \mathbb{R}^2 com retas?

350 **Definição 39. Incidência:** É um par (x, L) com $x \in L$;

351 Podemos representar a incidência como um grafo bipartido, onde uma partição representa o
 352 conjunto de pontos, a outra o conjunto de retas, e uma aresta liga um ponto x a uma reta L se
 existe a incidência (x, L) :

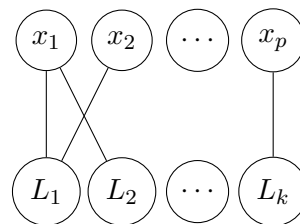


FIGURA 3. Grafo bipartido das incidências

353

354 Note que esse grafo de incidência não pode ter C^4 , pois dois pontos não podem determinar
 355 duas retas distintas.

O número de incidência no plano projetivo finito de ordem n é:

$$|\mathcal{L}|(n+1) = (n^2 + n + 1)(n+1) = O(n^3)$$

356 1.5.3. *Agora em \mathbb{R}^2 .* Seja $X \subseteq \mathbb{R}^2$, $|X| < \infty$, e \mathcal{L} uma coleção de retas em \mathbb{R}^2 . O quão grande
 357 pode ser o número de incidências (x, L) ? Utilizando o fato do grafo de incidências ser livre de
 358 C^4 , podemos obter um limite superior:

Teorema 40. *Seja $B = B(n, m; t)$ um grafo bipartido $m \times n$ com t arestas. Se $C^4 \not\subseteq B$, então:*

$$t \leq \min\{n\sqrt{m} + m; m\sqrt{n} + n\}$$

Demonstração.

$$\frac{m^2}{2} \geq \binom{m}{2} \geq \sum_i \binom{d_i}{2} \geq n \binom{\bar{d}_i}{2}$$

359 pela desigualdade de Jensen, onde \bar{d}_i é o grau médio de B :

$$\begin{aligned} n \binom{\bar{d}_i}{2} &= n \binom{t/n}{2} \geq \frac{n}{2} \left(\frac{t}{n} - 1\right)^2 \implies \\ \implies \frac{t}{n} - 1 &\leq \sqrt{\frac{m^2}{n}} \implies t \leq m\sqrt{n} + n \end{aligned}$$

360 Analogamente para n , portanto t é o mínimo das duas expressões deduzidas. □

361 Tando no plano projetivo finito como em \mathbb{R}^2 , se temos N pontos e N retas, então o número
 362 de incidências $\#inc = O(N^{\frac{3}{2}})$.

363 No plano projetivo finito essa aproximação é justa, mas e em \mathbb{R}^2 ?

364 Pergunta para refletir: Existe $X \subseteq \mathbb{R}^2$, $|X| = n$, tal que seja válido ao mesmo tempo:

- 365 • \forall reta determinada por X contém $o(n)$ pontos?;
- 366 • O número de retas determinadas por X é $o(n^2)$?

367 1.5.4. *O Teorema de Szemerédi e Trotter.* Seja $P \subseteq \mathbb{R}^2$, \mathcal{L} retas em \mathbb{R}^2 .

368 **Definição 41.** $I(P, \mathcal{L}) := \#\{(x, L) : x \in P, L \in \mathcal{L}, x \in L\}$ $I(m, n) = \max\{I(P, \mathcal{L}) : |P| =$
 369 $m, |\mathcal{L}| = n\}$

Considerando o grafo bipartido $P \times \mathcal{L}$ e usando o fato que ele não contém C^4 , deduzimos que:

$$I(m, n) \leq \min\{m\sqrt{n} + m; n\sqrt{m} + m\}$$

370 Caso $m=n$, então $I(n, n) = O(n^{\frac{3}{2}})$.

371 O teorema de Sz-Tr mostra que $I(n, n) = O(n^{\frac{4}{3}})$ e é justo.

372 **Proposição 42.** $I(n, n) = \Omega(n^{\frac{4}{3}})$

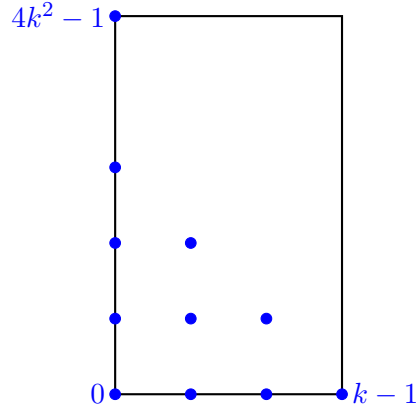


FIGURA 4. Construção de pontos para $I(n, n) = \Omega(n)^{\frac{4}{3}}$

373 *Demonstração.* Considere $X = \{0, \dots, k - 1\} \times \{0, \dots, 4k^2 - 1\}$, ou seja, $n = |X| = 4k^3$.

374 Faça $\mathcal{L} = \{y = ax + b : a = 0, 1, \dots, 2k - 1; b = 0, \dots, 2k^2 - 1\}$.

375 Note que $0 \leq ax + b \leq (2k - 1)(k - 1) + 2k^2 - 1 = 4k^2 - O(k) < 4k^2$.

376 $\therefore I(P, \mathcal{L}) \geq |\mathcal{L}|k = (4k^3)k = 4k^4$, mas $n^{\frac{4}{3}} = (4k^3)^{\frac{4}{3}} \leq 4k^4 \leq I(P, \mathcal{L})$ □

Teorema 43.

$$I(m, n) \leq 4(mn)^{\frac{2}{3}} + 4m + n$$

377 Prova será apresentada mais a frente, aguarde.

378 1.5.5. *Número de Cruzamentos.*

379 **Definição 44.** Seja $G = (V, E)$ um grafo, $e(G) = |E(G)|$, $v(G) = |V(G)|$.

380 Denomina-se $cr(G) = \min\{ \text{cruzamentos necessários para desenhar } G \text{ no plano} \}$.

381 Se G pode ser desenhado no plano sem cruzamentos então $e(G) \leq 3v(G) - 6$. Segue que, dado

382 $G = G^n$, $cr(G) \geq e(G) - (3n - 6)$.

383 Obs: Se $e(G) = \alpha n$, $\alpha > 3$ então $cr(G) \geq e(G) - 3n = (\alpha - 3)n$. Por exemplo, se $\alpha = \ln n$,

384 então $cr(G) \geq (\ln n - 3)n \sim n \ln n$.

385 **Teorema 45** (Ajtai, Chvátal, Newborn & Szemerédi '82, Leighton '84). Seja $G = G^n$, $e(G) \geq 4n$,

386 então $cr(G) \geq \frac{e(G)^3}{64n^2}$.

387 Observe que se $e(G) = n(\ln n)$, pelo teorema acima temos $cr(G) \geq \frac{n(\ln^3 n)}{64} = \Omega(n(\ln^3 n))$

388 *Demonstração.* Seja $H = G[V_p]$, subgrafo aleatório induzido dos vértices de G , onde $0 < p \leq 1$ é

389 um parâmetro a ser determinado depois. Seja $t = cr(G)$.

390 Temos $cr(H) \geq e(H) - 3v(H)$, assim, $\mathbb{E}(cr(H)) \geq \mathbb{E}(e(H)) - 3\mathbb{E}(v(H)) = e(G)p^2 - 3np$, mas
 391 $\mathbb{E}(cr(H)) \leq tp^4$, pois dado um desenho de G com t cruzamentos, para o mesmo cruzamento
 392 estar em H cada um dos 4 vértices devem estar em H .

393 Desses dois limitantes de $\mathbb{E}(cr(H))$, deduzimos que $t \geq e(G)p^{-2} - 3np^{-3}$. Tomando $p = \frac{4n}{e(G)}$,
 394 ficamos com $t \geq \left(\frac{e(G)}{4n}\right)^2 - 3n\left(\frac{e(G)}{4n}\right)^2 = \frac{e(G)^3}{64n^2}$. \square

395 **Corolário 46.** $\forall G = G^n, cr(G) \geq \frac{e(G)^3}{64n^2} - n$

396 *Demonstração.* Se $e(G) \geq 4n$, vale, claramente.

397 Se $e(G) < 4n$, então $\frac{e(G)^3}{64n^2} < n$, que vale por vacuidade. \square

398 1.5.6. *Demonstração do Szemerédi e Trotter.*

399 *Demonstração.* Seja $P = P^m, \mathcal{L} = \mathcal{L}^n$. Monte um grafo G tal que: $V(G) = P$ e $E(G) =$
 400 $\{\{x, y\} \text{ in } \binom{V(G)}{2}\}$ tal que x e y são pontos consecutivos de uma reta L , para toda $L \in \mathcal{L}$. Por
 401 exemplo, se uma reta L contém k_L pontos, então L definirá $k_L - 1$ arestas em G .

402 Note que $\binom{n}{2} \geq cr(G) \geq \frac{e(G)^3}{64m^2} - m$ pelo teorema 45 e seu corolário. Assim, como o número
 403 de incidência $t = I(P, \mathcal{L}) = e(G) + n$, pois incidência na reta $L = k_L$, deduzimos: $n^2 \geq \binom{n}{2} \geq$
 404 $\frac{(t-n)^3}{64m^2} - m \implies (t-n) \leq (64n^2m^2 + 64m^3)^{\frac{1}{3}}$, assim:

$$t \leq 4(nm)^{\frac{2}{3}} + 4m + n$$

405 \square

406 1.6. **Aula 21 de março de 2018.** ⁶

1.6.1. *O corolário de Szemerédi e Trotter.* Seja $P = P^m \subseteq \mathbb{R}^2, k \geq 2$. Defina $\mathcal{L} = \mathcal{L}_{\geq k} = \{L : L$
 reta em \mathbb{R}^2 com $|L \cap P| \geq k\}$. Seja $n = |\mathcal{L}|$. As incidências entre pontos e retas podem
 ser representadas pelo grafo bipartido onde uma das bipartições contém as retas de \mathcal{L} e a
 outra, os pares não ordenados dos pontos de P ($\binom{m}{2}$ no total). Existe uma aresta de $\{x, y\}$
 para um $L \in \mathcal{L}$ se e somente se $\{x, y\}$ está contido em L . Com essa construção, vemos que
 $n \binom{k}{2} \leq \sum_L (|L \cap P|) \leq \binom{m}{2}$. Logo,

$$n \leq \frac{\binom{m}{2}}{\binom{k}{2}} = \frac{m(m-1)}{k(k-1)} \leq \frac{2m^2}{k^2}$$

⁶Notas produzidas por Ângelo Lovatto e Thiago Estrela

Corolário 47 (Szemerédi e Trotter). *Para todo $P = P^m \subseteq \mathbb{R}^2$, o número n de retas em \mathbb{R}^2 que contém pelo menos k pontos de P é limitado por*

$$n = O\left(\frac{m^2}{k^3} + \frac{m}{k}\right)$$

407 *Demonstração.* (Corolário 47)

Consideramos as incidências entre P e \mathcal{L} , limitadas pelo Teorema de Szemerédi e Trotter, logo

$$kn \leq I(P, \mathcal{L}) \leq 4(mn)^{2/3} + 4m + n$$

Assim,

$$n(k-1) \leq 4(mn)^{2/3} + 4m$$

408 Caso 1: $m \leq (mn)^{2/3}$

409 Neste caso, $n(k-1) \leq 8(mn)^{2/3}$.

$$\begin{aligned} n &\leq \frac{8(mn)^{2/3}}{k-1} \\ &\leq \frac{16(mn)^{2/3}}{k} \\ n^{1/3} &\leq \frac{2^4 m^{2/3}}{k} \\ n &\leq \frac{2^{12} m^2}{k^3} \end{aligned}$$

410 Caso 2: $m > (mn)^{1/3}$

411 Temos

$$\begin{aligned} n(k-1) &\leq 8m \\ n &\leq \frac{8m}{k-1} \\ &\leq \frac{16m}{k} \end{aligned}$$

412

□

413 **Teorema 48** (Beck '83). *Existe constante absoluta $c > 0$ para a qual o seguinte vale: $\forall P =$*

414 $P^n \in \mathbb{R}^2$

415 *ou (i) \exists reta L tal que $|L \cap P| \geq cn$*

416 *ou (ii) P determina $\geq cn^2$ retas distintas*

417 *Demonstração.* (Teorema 48)

Fixe $P = P^n$. Seja \mathcal{L} o conjunto de retas determinadas por P (i.e. $\mathcal{L} = \mathcal{L}_{\geq 2}$). Dizemos que $L \in \mathcal{L}$ é uma t -reta ($t \geq 1$) se

$$2^t \leq |L \cap P| < 2^{t+1}$$

418 Se $\{x, y\} \subseteq P$, $x \neq y$, então x e y são t -conexos se a reta determinada por x e y é uma t -reta.

Pelo Corolário 47, o número de t -retas é

$$O\left(\frac{n^2}{2^{3t}} + \frac{n}{2^t}\right)$$

419 Uma t -reta contém $< \binom{2^{t+1}}{2} = O(2^{2t})$ pares de pontos de P . Logo,

$$\begin{aligned} \# \text{ pares } \{x, y\} \text{ } t\text{-conexos} &= O\left(\left(\frac{n^2}{2^{3t}} + \frac{n}{2^t}\right) 2^{2t}\right) \\ &= O\left(\frac{n^2}{2^t} + 2^t n\right) \end{aligned}$$

Seja C uma constante grande e $T = \{t : C \leq 2^t \leq n/C\} = \{t_0, t_0 + 1, \dots, t_1\}$. Temos

$$2^{t_0-1} < C \therefore 2^{t_0} = O(C)$$

$$2^{t_1+1} > n/C \therefore 2^{t_1} = \Omega(n/C)$$

Vamos dizer que o par $\{x, y\} \subseteq P$, $x \neq y$, é T -conexo se $\{x, y\}$ é t -conexo para algum $t \in T$.

Temos

$$\# \text{ pares } T\text{-conexos} = O\left(\sum_{t \in T} \left(\frac{n^2}{2^t} + 2^t n\right)\right)$$

420

$$\begin{aligned} \sum_{t \in T} \left(\frac{n^2}{2^t} + 2^t n\right) &\leq 2 \frac{n^2}{2^{t_0}} + 2(2^{t_1} n) \\ &\leq \left(\frac{2}{C}\right) n^2 + 2 \frac{n}{C} n \\ &= \frac{4}{C} n^2 \end{aligned}$$

Escolhendo C grande o suficiente, deduzimos que há $\geq \frac{n^2}{4}$ pares que não são T -conexos. Suponha que $\{x, y\} \subseteq P$, $x \neq y$, determina L que não é T -reta e

$$|L \cap P| > 2^{t_1} = \Omega\left(\frac{n}{C}\right)$$

Mas tal reta satisfaz (i) acima e o resultado segue.

Suponha portanto que as retas L determinadas pelos pares $\{x, y\}$ que não são T -conexos são

todas tais que

$$|L \cap P| < 2^{t_0} = O(C)$$

Concluimos que esses $\geq n^2/4$ pares determinam

$$\geq \frac{n^2/4}{\binom{C}{2}} \geq \frac{n^2}{2C^2}$$

421 retas distintas. Isso satisfaz (ii) acima e o resultado segue.

422

□

1.6.2. *Quicksort(Continuação)*. Sejam $x_1 < \dots < x_n$ números reais e $\pi \in_{\cup} S_n$. A entrada do algoritmo será

$$x_{\pi(1)}, \dots, x_{\pi(n)}$$

O quicksort que consideraremos recebe uma sequência e define o primeiro elemento como o pivô, separando os outros em dois grupos: $\sigma = \{x_{\pi(i)} : x_{\pi(i)} < x_{\pi(1)}\}$ e $\tau = \{x_{\pi(i)} : x_{\pi(i)} > x_{\pi(1)}\}$, dentro dos quais a ordem relativa entre os elementos é mantida. Ou seja, a sequência passa a ser

$$\sigma, x_{\pi(1)}, \tau$$

Faremos a análise de caso médio desse algoritmo. Pomos

$$T(\pi) = \# \text{ comparações com a entrada } \pi$$

Podemos caracterizar as distribuições de σ e τ da seguinte maneira: escolha $m \in_{\cup} \{0, 1, \dots, n-1\}$, escolha $\sigma \in_{\cup} S_m$ e $\tau \in_{\cup} S_{n-1-m}$. Fato: σ e τ são independentes. Temos

$$T(\pi) = T(\sigma) + T(\tau) + n - 1$$

$$\therefore \mathbb{E}(T(\pi)) = \mathbb{E}(T(\sigma)) + \mathbb{E}(T(\tau)) + n - 1$$

423 Mostraremos então que $\mathbb{E}(T(\pi)) = \Theta(n \ln n)$.

424 *Demonstração*. Denote $\mathbb{E}(T(\pi))$ por μ_n ($n = |\pi|$). Reescrevemos a igualdade como

$$\begin{aligned} \mu_n &= \frac{1}{n} \sum_{m=0}^{n-1} (\mu_m + \mu_{n-m-1}) + n - 1 \\ &= \frac{2}{n} \sum_{0 \leq m < n} \mu_m + n - 1 \end{aligned} \quad \forall n \geq 1$$

425 e definimos $\mu_0 = 0$.

Temos então a seguinte fórmula para $n \geq 1$:

$$n\mu_n = 2 \sum_{0 \leq m < n} \mu_m + n(n-1)$$

Quando $n \geq 2$, temos que:

$$(n-1)\mu_{n-1} = 2 \sum_{0 \leq m < n-1} \mu_m + (n-1)(n-2)$$

$$n\mu_n - (n-1)\mu_{n-1} = 2\mu_{n-1} + 2(n-1)$$

$$\therefore n\mu_n = (n+1)\mu_{n-1} + 2(n-1)$$

426 Dividindo os dois lados por $n(n+1)$,

$$\begin{aligned} \frac{\mu_n}{n+1} &= \frac{\mu_{n-1}}{n} + \frac{2(n-1)}{n(n+1)} \\ &= \frac{\mu_{n-1}}{n} + 2 \left(\frac{2}{n+1} - \frac{1}{n} \right) \end{aligned}$$

427 Denote $\mu_i/(i+1)$ por a_i ($a_1 = \mu_1/2 = 0$). Reescrevemos a igualdade como

$$\begin{aligned} a_n &= a_{n-1} + \frac{4}{n+1} - \frac{2}{n} \\ &= \left(\frac{4}{n+1} - \frac{2}{n} \right) + \left(\frac{4}{n} - \frac{2}{n-1} \right) + \cdots + \left(\frac{4}{3} - \frac{2}{2} \right) + a_1 \\ &= 4 \left(H_{n+1} - \frac{1}{2} - 1 \right) - 2(H_n - 1) \\ &= \frac{2}{n+1} + 2H_{n+1} - 4 \end{aligned}$$

428

$$\begin{aligned} \therefore \mu_n &= (n+1)a_n = 2(n+1)H_{n+1} + 2 - 4(n+1) \\ &= 2(n+1)(H_{n+1} - 1) - 2n \\ &= \Theta(n \ln n) \end{aligned}$$

429

□

430

§2. O MÉTODO DO SEGUNDO MOMENTO

431 2.1. Aula 05 de maio de 2018. ⁷

⁷Notas produzidas por Gabriel Lasso e Rafael Zuolo

2.1.1. *Segundo momento.* Se X é uma variável aleatória e $\mu = \mathbb{E}(X)$, definimos

$$\text{Var}(X) = \mathbb{E}((X - \mu)^2)$$

$$\sigma = \sqrt{\text{Var}(X)}$$

432 **Fato 49.** $\text{Var}(X) = \mathbb{E}(X^2) - \mu^2$

Demonstração.

$$\text{Var}(X) = \mathbb{E}((X - \mu)^2)$$

$$= \mathbb{E}(X^2 - 2\mu X + \mu^2)$$

$$= \mathbb{E}(X^2) - 2\mu^2 + \mu^2$$

$$= \mathbb{E}(X^2) - \mu^2$$

433

□

Lema 50. (*Desigualdade de Markov*) Se X é uma v.a. não negativa, então para todo $A \geq 1$, vale

$$\mathbb{P}(X \geq A\mu) \leq \frac{1}{A}$$

Demonstração. Para todo $t \geq 0$, temos:

$$t\mathbb{P}(X \geq t) \leq \mathbb{E}(X)$$

$$\mathbb{P}(X \geq t) \leq \frac{\mathbb{E}(X)}{t}$$

434 Fazendo $t = A\mu$ temos o resultado

□

Lema 51. (*Desigualdade de Chebychev*) Se X é uma v.a., então para todo $A \geq 1$, vale

$$\mathbb{P}(|X - \mu| \geq A\sigma) \leq \frac{1}{A^2}$$

435 *Demonstração.* Considere $Y = (X - \mu)^2 \geq 0$.

$$\mathbb{P}(|X - \mu| \geq t) = \mathbb{P}((X - \mu)^2 \geq t^2) = \mathbb{P}(Y \geq t^2)$$

Por Markov:

$$\mathbb{P}(Y \geq t^2) \leq \frac{\mathbb{E}(Y)}{t^2} = \frac{\text{Var}(x)}{t^2}$$

436 Fazendo $t = A\sigma$ chegamos ao resultado.

□

2.1.2. *Um caso importante.* Se temos uma v.a. que é soma de outras v.a.:

$$X = \sum_{i=0}^n X_i$$

$$\mu = \mathbb{E}(X) = \sum_{i=0}^n \mathbb{E}(X_i)$$

Temos

$$\text{Var}(X) = \mathbb{E}(X^2) - \mathbb{E}(X)^2$$

$$\text{Var}(X) = \sum_{i,j} (\mathbb{E}(X_i X_j) - \mathbb{E}(X_i) \mathbb{E}(X_j))$$

437 **Definição 52.** Chamamos $\mathbb{E}(X_i X_j) - \mathbb{E}(X_i) \mathbb{E}(X_j)$ de covariância de X_i e X_j e denotamos por
438 $\text{cov}(X_i, X_j)$.

$$\text{Var}(X) = \sum_{i=1}^n \text{Var}(X_i) + \sum_{i \neq j} \text{cov}(X_i, X_j)$$

439 **Definição 53.** X_i e X_j são independentes se $\text{cov}(X_i, X_j) = 0$.

440 Se os X_i s são 2 a 2 independentes, então $\text{Var}(X) = \sum \text{Var}(X_i)$

441 Muitas vezes os X_i são variáveis indicadoras com $X_i \equiv \text{Ber}(p_i)$.

Nesse caso,

$$\begin{aligned} \text{Var}(X_i) &= \mathbb{E}(X_i)^2 - \mathbb{E}(X_i)^2 \\ &= \mathbb{E}(X_i) - \mathbb{E}(X_i)^2 \\ &= p_i - p_i^2 \leq p_i = \mathbb{E}(X_i) \end{aligned}$$

Assim,

$$\text{Var}(X) \leq \mathbb{E}(X) + \sum_{i \neq j} \text{cov}(X_i, X_j)$$

442 2.1.3. *Um teorema de Hardy e Ramanujan.*

443 **Definição 54.** Se $n = p_1^{a_1} p_2^{a_2} \dots p_r^{a_r}$ com p_i primo e a_i inteiro positivo, então:

- 444 • $\omega(n) = r = \# \text{divisores primos distintos de } n$.
- 445 • $\Omega(n) = a_1 + a_2 + \dots + a_r = \# \text{divisores primos de } n, \text{ contando sua multiplicidade}$.
- 446 • $d(n) = (1 + a_1)(1 + a_2) \dots (1 + a_r) = \# \text{divisores de } n$.
- 447 • $\pi(n) = \# \text{primos menores ou iguais a } n$.

448 Estamos interessados no espaço $[N]$ com a distribuição uniforme. A função $\omega : [N] \rightarrow \mathbb{R}$ é
449 uma variável aleatória para um n escolhido uniformemente ao acaso em $[N]$.

Temos:

$$\omega(n) = \sum_{p \leq N, p \text{ primo}} X_p(n)$$

onde

$$X_p(n) = \begin{cases} 1 & \text{se } p|n \\ 0 & \text{caso contrário} \end{cases}$$

450 **Fato 55.** $\mathbb{E}(\omega) = \log \log N + O(1)$

Demonstração.

$$\begin{aligned} \mathbb{E}(\omega) &= \sum_{p \leq N, p \text{ primo}} \mathbb{E}(X_p) \\ \mathbb{E}(\omega) &= \sum_{p \leq N, p \text{ primo}} \mathbb{P}(p|n) \\ \mathbb{E}(\omega) &= \sum_{p \leq N, p \text{ primo}} \frac{\#\text{múltiplos de } p \text{ menores ou iguais a } N}{N} \\ \mathbb{E}(\omega) &= \sum_{p \leq N, p \text{ primo}} \frac{\lfloor \frac{N}{p} \rfloor}{N} \\ \mathbb{E}(\omega) &= \sum_{p \leq N, p \text{ primo}} \frac{\frac{N}{p} - (\frac{N}{p} - \lfloor \frac{N}{p} \rfloor)}{N} \\ \mathbb{E}(\omega) &= \sum_{p \leq N, p \text{ primo}} \frac{1}{p} + o\left(\frac{1}{N}\right) \\ \mathbb{E}(\omega) &= \log \log N + o(1) \end{aligned}$$

(Usando o fato que $\sum_{p \leq N, p \text{ primo}} \frac{1}{p} = \log \log N + o(1)$)

451

□

452 **Teorema 56.** (*Hardy, Ramanujan*)

$\forall A > 0 \exists N_0$ tal que $\forall N > N_0$

$$\mathbb{P}(|\omega(n) - \log \log N| \geq A\sqrt{\log \log N}) \leq \frac{2}{A^2}$$

Ademais, de $b = b(N) \rightarrow \infty$,

$$\lim_{N \rightarrow \infty} \mathbb{P}(|\omega(n) - \log \log N| \geq B\sqrt{\log \log N}) = 0$$

Demonstração. Vamos calcular a variância de ω :

$$\text{Var}(\omega) \leq \mathbb{E}(\omega) + \sum_{p \neq q \text{ primos}} \text{cov}(X_p, X_q)$$

Fixe $p \neq q$. Temos:

$$\begin{aligned}
cov(X_p, X_q) &= \mathbb{E}(X_p X_q) - \mathbb{E}(X_p)\mathbb{E}(X_q) \\
&= \mathbb{P}(X_p X_q) - \mathbb{P}(X_p)\mathbb{P}(X_q) \\
&= \frac{\lfloor \frac{N}{pq} \rfloor}{N} - \frac{\lfloor \frac{N}{p} \rfloor}{N} \frac{\lfloor \frac{N}{q} \rfloor}{N} \\
&\leq \frac{\lfloor \frac{N}{pq} \rfloor}{N} - \left(\frac{1}{p} - \frac{1}{N}\right) \left(\frac{1}{q} - \frac{1}{N}\right) \\
&\leq \frac{1}{pq} - \left(\frac{1}{pq} - \frac{1}{pN} - \frac{1}{qN} + \frac{1}{N^2}\right) \\
&\leq \frac{1}{N} \left(\frac{1}{p} + \frac{1}{N}\right)
\end{aligned}$$

Assim, temos que

$$\begin{aligned}
\sum_{p \neq q \text{ primos}} cov(X_p, X_q) &\leq \sum_{p \leq N \text{ primo}} \sum_{q \leq N, q \neq p \text{ primo}} \frac{1}{N} \left(\frac{1}{p} + \frac{1}{q}\right) \\
&\leq \frac{1}{N} \sum_{p \leq N \text{ primo}} \left(\frac{1}{p} \sum_{q \leq N \text{ primo}} 1 + \sum_{q \leq N \text{ primo}} \frac{1}{q}\right) \\
&= \frac{1}{N} \left(\sum_{p \leq N \text{ primo}} \frac{1}{p} \sum_{q \leq N \text{ primo}} 1 + \sum_{q \leq N \text{ primo}} \frac{1}{q} \sum_{p \leq N \text{ primo}} 1\right) \\
&= \frac{2\pi(N)}{N} \left(\sum_{p \leq N \text{ primo}} \frac{1}{p}\right) \\
&= \frac{2(1+o(1)) \frac{N}{\log N}}{N} (\log \log N + O(1)) \\
&= O\left(\frac{\log \log N}{\log N}\right) = o(1)
\end{aligned}$$

453 Assim, $Var(\omega) = \log \log N + o(1)$ e $\sigma = \sqrt{(\log \log N) + o(1)}$.

454 Agora basta aplicar Chebyshev e chegamos no resultado desejado. □

Erdős e Kac provaram também que

$$\lim_{N \rightarrow \infty} \mathbb{P}(\omega(n) \geq \log \log N + t\sqrt{\log \log N}) = \frac{1}{\sqrt{2\pi}} \int_t^\infty e^{-x^2/2} dx \forall t \in \mathbb{R}$$

455 Isto é, ω tende a ter uma distribuição normal.

456 **Fato 57.** $\mathbb{E}(|\omega(n) - \Omega(n)|) = O(1)$

457 Disso segue que o teorema de H.R. também vale com ω substituído por Ω .

458 2.2. Aula 04 de abril de 2018: Subgrafos pequenos em $G(n, p)$.⁸

459 Formalmente, definimos $G(n, p)$ como sendo o espaço de probabilidade $(\mathcal{G}, \mathbb{P})$, em que \mathcal{G} é o
460 conjunto de todos os grafos sobre $[n]$, e se $G \in \mathcal{G}$ então $\mathbb{P}(G)$ é definido como

$$\mathbb{P}(G) = p^{e(G)}(1 - p)^{\binom{n}{2} - e(G)}.$$

461 Informalmente, os grafos de $G(n, p)$ são gerados tomando $[n]$ como o conjunto de vértices e
462 o conjunto das arestas é um subconjunto aleatório de $\binom{[n]}{2}$, em que cada aresta é incluída no
463 conjunto com probabilidade p , de maneira independente.

464 Observe que, embora $G(n, p)$ seja um espaço de probabilidade, nos referiremos a $G(n, p)$ como
465 sendo o grafo aleatório em si; isto é, escreveremos “seja $G = G(n, p)$ ” para significar que G é um
466 grafo de \mathcal{G} escolhido aleatoriamente de acordo com a distribuição \mathbb{P} . Embora tecnicamente isto
467 seja um abuso de notação, cometeremos este abuso sistematicamente doravante.

468 O grafo aleatório $G(n, p)$ é também chamado de *grafo aleatório de Erdős–Rényi* ou de *grafo*
469 *aleatório binomial*.

470 Mais geralmente, dado um grafo $\Gamma = (V, E)$, podemos definir o *subgrafo aleatório binomial* Γ_p
471 de Γ como sendo um grafo aleatório em que V é o conjunto de vértices e E_p é o conjunto de
472 arestas; isto é, cada aresta de E aparece no grafo com probabilidade p . Teremos, então, que
473 $G(n, p) = (K^n)_p$.

474 Sejam H e G dois grafos. Definiremos $\#\{H \hookrightarrow G\}$ como sendo o número de funções injetivas
475 $f : V(H) \rightarrow V(G)$ que preservam arestas; isto é, se $\{u, v\}$ é uma aresta de H , então $\{f(u), f(v)\}$
476 é uma aresta de G . (Tais injeções são também chamadas de *homomorfismos* de H em G .)
477 Em outras palavras, estamos contando as cópias rotuladas de H em G , não necessariamente
478 induzidas.

479 Estamos interessados na v.a. $X_H(G(n, p)) = \#\{H \hookrightarrow G(n, p)\}$.

480 Temos

$$X_H = \sum_f X_f,$$

481 onde X_f é a função indicadora do evento

$$\{f : V(H) \rightarrow V(G(n, p)) \mid f \text{ é homomorfismo}\}$$

482 e a soma é sobre todas as injeções $f : V(H) \hookrightarrow V(G(n, p))$. X_f será 1 se $\{f(u), f(v)\}$ for uma
483 aresta de $G(n, p)$ para cada uma das $e(H)$ arestas $\{u, v\}$ de H ; assim, $\mathbb{E}(X_f) = p^{e(H)}$. Existem

⁸Notas produzidas por Felix Liu e Tiago Royer.

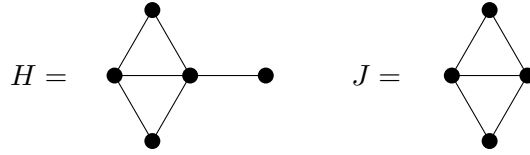


FIGURA 5. Grafos H e J dos exemplos 58 e 59.

484 $n(n-1)(n-2)\dots(n-v(H)+1) = (n)_{v(H)}$ possíveis homomorfismos de H em $G(n,p)$, e,
 485 portanto,

$$\mathbb{E}(X_H) = (n)_{v(H)}p^{e(H)}.$$

486 **Exemplo 58.** Considere o grafo H da figura 5. Suponha que $p \ll n^{-5/6}$. Neste caso,

$$\mathbb{E}(X_H) = (n)_5p^6 \sim n^5p^6 \ll 1;$$

487 portanto, pela desigualdade de Markov, a probabilidade de um grafo $G(n,p)$ conter H é
 488 assintoticamente zero. Neste caso, dizemos que quase todo $G(n,p)$ não contém H como subgrafo.

489 **Exemplo 59.** Suponha agora que $n^{-5/6} \ll p \ll n^{-4/5}$. Observe que neste caso, $\mathbb{E}(X_H) \gg 1$; e
 490 $\mathbb{E}(X_H)$ tende a infinito conforme n cresce.

491 Se considerarmos agora o grafo J da figura 5, pelo mesmo raciocínio temos $\mathbb{E}(X_J) \ll 1$, e
 492 então quase todo $G(n,p)$ não contém J como subgrafo. Como J é, por sua vez, um subgrafo de
 493 H , isso nos permite concluir que quase todo $G(n,p)$ também não contém H , muito embora o
 494 número esperado de cópias de H em $G(n,p)$ tenda a infinito.

495 Podemos generalizar o exemplo acima da seguinte maneira: defina $m(H)$ por

$$m(H) = \max \left\{ \frac{e(J)}{v(J)} : J \subseteq H, v(J) > 0 \right\}.$$

496 Temos então a seguinte afirmação.

497 **Proposição 60.** Seja H um grafo com pelo menos uma aresta. Se $p \ll n^{-1/m(H)}$, então

$$\lim_{n \rightarrow \infty} \mathbb{P}(G(n,p) \supset H) = 0.$$

498 *Demonstração.* Seja J um subgrafo de G que maximiza $\frac{e(J)}{v(J)}$. Repetindo o argumento acima,
 499 temos

$$\begin{aligned} \mathbb{P}(G(n,p) \supset H) &\leq \mathbb{P}(G(n,p) \supset J) \\ &= \mathbb{P}(X_J \geq 1) \end{aligned}$$

$$\begin{aligned}
&\leq \mathbb{E}(X_J) \\
&\sim n^{v(J)} p^{e(J)} \\
&\ll n^{v(J)} n^{-e(J)/m(H)} = 1. \quad \square
\end{aligned}$$

500 Queremos obter resultados na outra direção, isto é, que garantam que o grafo H apareça em
501 quase todo grafo $G(n, p)$. Conforme o exemplo 59 mostra, simplesmente calcular a esperança
502 não é suficiente para extrair esse tipo de informação; portanto, iremos calcular a variância de
503 X_H também.

504 Defina $\Phi_H = \Phi_H(n, p)$ por

$$\Phi_H(n, p) = \min\{\mathbb{E}(X_J) \mid J \subseteq H, e(J) > 0\}.$$

505 **Proposição 61.** *Suponha que $e(H) > 0$. São equivalentes:*

- 506 • $np^{m(H)} \rightarrow \infty$.
- 507 • $n^{v(J)} p^{e(J)} \rightarrow \infty$ para todo grafo $J \subseteq H$ com pelo menos um vértice.
- 508 • $\mathbb{E}(X_J) \rightarrow \infty$ para todo grafo $J \subseteq H$ com pelo menos um vértice.
- 509 • $\Phi_H \rightarrow \infty$.

510 Como $X_H = \sum_f X_f$, temos

$$\text{Var}(X_H) \leq \mathbb{E}(X_H) + \sum_{f \neq g} \text{Cov}(X_f, X_g).$$

511 Defina $\Delta_H = \sum_{f \neq g} \mathbb{E}(X_f X_g)$; observe que Δ_H é maior ou igual à soma das covariâncias na
512 expressão para $\text{Var}(X_H)$. Temos o seguinte limitante para Δ_H .

513 **Lema 62.** *Sejam Δ_H e Φ_H como definidos acima. Então*

$$\Delta_H \leq \frac{\mathbb{E}(X_H)^2}{\Phi_H} 2^{2v(H)} v(H)! v(H).$$

514 *Demonstração.* Seja V o conjunto de vértices de $G(n, p)$ e sejam U e F , respectivamente, o
515 conjunto de vértices e arestas de H . Se $f : U \hookrightarrow V$ é uma injeção, denotaremos por H_f a cópia
516 rotulada de H em K^n correspondente a f . Temos, por exemplo, que $H_f \subseteq G(n, p)$ se e só se
517 $X_f = 1$.

518 Para que tenhamos $X_f X_g = 1$, precisamos ter tanto $H_f \subseteq G(n, p)$ quanto $H_g \subseteq G(n, p)$; ou
 519 seja, todas as arestas de $E(H_f) \cup E(H_g)$ precisam aparecer no grafo. Portanto,

$$\begin{aligned}\Delta_H &= \sum_{f \neq g} p^{|E(H_f) \cup E(H_g)|} \\ &= \sum_{f \neq g} p^{2e(H) - |E(H_f) \cap E(H_g)|} \\ &= p^{2e(H)} \sum_{f \neq g} p^{-|E(H_f) \cap E(H_g)|}.\end{aligned}$$

520 Defina $J_{f,g} = f^{-1}(H_f \cap H_g)$. Temos, por exemplo, $e(J_{f,g}) = |E(H_f) \cap E(H_g)|$. Assim,

$$\Delta_H = p^{2e(H)} \sum_{f \neq g} p^{-e(J_{f,g})}.$$

521 O subgrafo $J_{f,g}$ de H pode assumir o mesmo valor para diferentes valores de f e g . No
 522 somatório que define Δ_H , agruparemos os pares de funções (f, g) que resultam no mesmo grafo
 523 $J_{f,g}$. Defina

$$W_J = \{(f, g) \mid J_{f,g} = J\};$$

524 temos

$$\begin{aligned}\Delta_H &= p^{2e(H)} \sum_{J \subseteq H} \sum_{(f,g) \in W_J} p^{-e(J)} \\ &= p^{2e(H)} \sum_{J \subseteq H} p^{-e(J)} |W_J|.\end{aligned}$$

525 Agrupando os subgrafos J pelo número de vértices e introduzindo o fator $(n)_k (n)_k^{-1}$ temos

$$\begin{aligned}\Delta_H &= p^{2e(H)} \sum_{k=1}^{v(H)} \sum_{\substack{J \subseteq H \\ v(J)=k}} p^{-e(J)} |W_J| \\ &= p^{2e(H)} \sum_{k=1}^{v(H)} \sum_{\substack{J \subseteq H \\ v(J)=k}} p^{-e(J)} (n)_k^{-1} (n)_k |W_J| \\ &= p^{2e(H)} \sum_{k=1}^{v(H)} \sum_{\substack{J \subseteq H \\ v(J)=k}} \mathbb{E}(X_J)^{-1} |W_J| (n)_k \\ &\leq \frac{p^{2e(H)}}{\Phi_H} \sum_{k=1}^{v(H)} \sum_{\substack{J \subseteq H \\ v(J)=k}} |W_J| (n)_k.\end{aligned}$$

526 Podemos limitar o valor de $|W_J|$ da seguinte maneira. Suponha que $v(J) = k$. Existem $\binom{n}{v(H)}$
527 possíveis escolhas para f . Sabemos que $g(V(H))$ precisa intersectar $f(V(H))$ em exatamente k
528 vértices. Existem $\binom{v(H)}{k}$ formas de escolher os k vértices de $V(H)$ que g mapeará para $f(V(H))$.
529 Há $(v(H))_k$ formas de associar esses k vértices aos de $f(V(H))$; e $(n - v(H))_{v(H)-k}$ formas de
530 associar os demais vértices para fora de $f(V(H))$. Dessa maneira, cobrimos todos os possíveis
531 pares (f, g) tais que $J_{f,g} = J$, mas, potencialmente, também incluímos pares tais que $J_{f,g} \neq J$.
532 Isso nos dá apenas um limitante superior para $|W_J|$:

$$|W_J| \leq \binom{n}{v(H)} \binom{v(H)}{k} (v(H))_k (n - v(H))_{v(H)-k}.$$

533 Usando este limitante, temos

$$\begin{aligned} \Delta_H &\leq \frac{p^{2e(H)}}{\Phi_H} \sum_{k=1}^{v(H)} \sum_{\substack{J \subseteq H \\ v(J)=k}} \binom{n}{v(H)} \binom{v(H)}{k} (v(H))_k (n - v(H))_{v(H)-k} (n)_k \\ &\leq \frac{p^{2e(H)}}{\Phi_H} \sum_{k=1}^{v(H)} \sum_{\substack{J \subseteq H \\ v(J)=k}} \binom{n}{v(H)} 2^{v(H)} (v(H))_k (n - v(H))_{v(H)-k} (n)_k \\ &\leq \frac{p^{2e(H)}}{\Phi_H} \sum_{k=1}^{v(H)} \sum_{\substack{J \subseteq H \\ v(J)=k}} \binom{n}{v(H)} 2^{v(H)} v(H)! (n - v(H))_{v(H)-k} (n)_k \\ &\leq \frac{p^{2e(H)}}{\Phi_H} \sum_{k=1}^{v(H)} \sum_{\substack{J \subseteq H \\ v(J)=k}} \binom{n}{v(H)} 2^{v(H)} v(H)! (n)_{v(H)} \\ &\leq \frac{p^{2e(H)}}{\Phi_H} \sum_{k=1}^{v(H)} \binom{n}{v(H)} 2^{2v(H)} v(H)! (n)_{v(H)} \\ &= \frac{(p^{e(H)} (n)_{v(H)})^2}{\Phi_H} 2^{2v(H)} v(H)! v(H) \\ &= \frac{\mathbb{E}(X_H)^2}{\Phi_H} 2^{2v(H)} v(H)! v(H). \quad \square \end{aligned}$$

534 **Proposição 63.** *Seja H um grafo com pelo menos uma aresta. Se $p \gg n^{-1/m(H)}$, então*
535 $\lim_{n \rightarrow \infty} \mathbb{P}(G(n, p) \supset H) = 1$.

536 *Demonstração.* Sabemos que

$$\lim_{n \rightarrow \infty} \mathbb{E}(X_H) = \infty.$$

537 Então, para todo n grande o bastante,

$$\mathbb{P}(X_H = 0) \leq \mathbb{P}(|X_H - \mathbb{E}(X_H)| \geq \mathbb{E}(X_H)).$$

538 Usando Chebyshev (e os lemas anteriores), temos

$$\begin{aligned}\mathbb{P}(X_H = 0) &\leq \frac{\text{Var}(X_H)}{\mathbb{E}(X_H)^2} \\ &\leq \frac{\mathbb{E}(X_H) + \Delta_H}{\mathbb{E}(X_H)^2} \\ &\leq \frac{1}{\mathbb{E}(X_H)} + O\left(\frac{1}{\Phi_H(n, p)}\right).\end{aligned}$$

539 Como $\lim_{n \rightarrow \infty} \Phi_H(n, p) = \infty$, o resultado segue. \square

540 As proposições 60 e 63 podem ser resumidas da seguinte maneira:

$$\lim_{n \rightarrow \infty} \mathbb{P}(G(n, p) \supset H) = \begin{cases} 0, & \text{se } p \ll n^{-1/m(H)}; \\ 1, & \text{se } p \gg n^{-1/m(H)}. \end{cases}$$

541 Dizemos, neste caso, que $n^{-1/m(H)}$ é a *função limiar* para $H \subseteq G(n, p)$.

542 2.3. Aula 09 de Abril de 2018: O Teorema de Rödl. ⁹

543 Sejam $n > k \geq \ell \geq 1$ naturais e considere um conjunto $\mathcal{A} \subseteq \binom{[n]}{k}$. Dizemos que o conjunto \mathcal{A} é
544 uma (n, k, ℓ) -cobertura de $[n]$ se para todo $B \in \binom{[n]}{\ell}$ existe $A \in \mathcal{A}$ tal que $B \subseteq A$. Em particular,
545 uma $(n, k, 1)$ -cobertura é uma coleção de k -uplas em que todo elemento de $[n]$ está contido em
546 pelo menos uma k -upla.

547 De modo similar, dizemos que \mathcal{A} é um (n, k, ℓ) -empacotamento se para todo $A, B \in \mathcal{A}$ temos
548 que $|A \cap B| < \ell$. Uma definição análoga é a de que para qualquer $B \in \binom{[n]}{\ell}$ existe no máximo
549 um elemento $A \in \mathcal{A}$ tal que $B \subseteq A$. Desta definição temos que um $(n, k, 1)$ -empacotamento é
550 apenas uma família disjunta de conjuntos de \mathcal{A} .

551 Aqui estaremos interessados no problema extremal relacionado com essas famílias. Defina

$$M(n, k, \ell) = \min\{|\mathcal{A}|: \mathcal{A} \text{ é uma } (n, k, \ell)\text{-cobertura}\}$$

552 como o tamanho da menor (n, k, ℓ) -cobertura de $[n]$. Analogamente, defina

$$m(n, k, \ell) = \max\{|\mathcal{A}|: \mathcal{A} \text{ é um } (n, k, \ell)\text{-empacotamento}\}$$

553 como o tamanho do maior (n, k, ℓ) -empacotamento de $[n]$. Queremos estimar esses dois valores.

554 Uma maneira simples de obter uma estimativa é usando contagem dupla. Seja \mathcal{A} uma
555 cobertura e S o número de pares (A, B) com $A \in \mathcal{A}$ e $B \in \binom{[n]}{\ell}$ e $B \subseteq A$. Podemos contar S de
556 duas formas. A primeira é fixando um conjunto A e contando o número de $B \subseteq A$. Esse número

⁹Nota de aula por Bruno Pasqualotto Cavalari e Marcelo Tadeu Sales. Aula de 09/04/2018

557 é exatamente o número de subconjuntos de tamanho ℓ de A , de onde obtemos

$$S = |\mathcal{A}| \cdot \binom{k}{\ell}.$$

558 A segunda forma é fixando um conjunto B e contando o número de $A \in \mathcal{A}$ tais que $B \subseteq A$.

559 Como \mathcal{A} é uma (n, k, ℓ) -cobertura, temos que para todo B existe pelo menos um $A \in \mathcal{A}$ tal que

560 $B \subseteq A$. Assim obtemos que

$$S \geq \binom{n}{\ell}.$$

561 Onde concluímos que

$$|\mathcal{A}| \geq \frac{\binom{n}{\ell}}{\binom{k}{\ell}},$$

562 para toda cobertura A . Consequentemente, temos que

$$M(n, k, \ell) \geq \frac{\binom{n}{\ell}}{\binom{k}{\ell}}.$$

563 Fazendo exatamente o mesmo para empacotamentos, obtemos que

$$m(n, k, \ell) \leq \frac{\binom{n}{\ell}}{\binom{k}{\ell}}.$$

564 Em 1963, Erdős e Hanani conjecturaram que essas estimativas estão assintoticamente corretas.

565 **Conjectura 64** (Erdős e Hanani, '63). *Sejam $k \geq \ell \geq 1$ naturais. Então*

$$\lim_{n \rightarrow \infty} M(n, k, \ell) \binom{k}{\ell} \binom{n}{\ell}^{-1} = \lim_{n \rightarrow \infty} m(n, k, \ell) \binom{k}{\ell} \binom{n}{\ell}^{-1} = 1.$$

566 Essa conjectura foi provada em 1985 por Rödl, que provou o seguinte teorema.

567 **Teorema 65** (Rödl, '85). *Dados $k \geq \ell \geq 1$ naturais e $\varepsilon > 0$, existe n_0 tal que para todo $n \geq n_0$*

568 *temos*

$$(1 - \varepsilon) \frac{\binom{n}{\ell}}{\binom{k}{\ell}} \leq m(n, k, \ell) \leq \frac{\binom{n}{\ell}}{\binom{k}{\ell}} \leq M(n, k, \ell) \leq (1 + \varepsilon) \frac{\binom{n}{\ell}}{\binom{k}{\ell}}.$$

569 Nessa e nas próximas aulas veremos uma demonstração desse Teorema baseada na demonstra-

570 ção original. Como veremos, essa demonstração usará do primeiro e do segundo momento de

571 uma maneira bem engenhosa.

572 Começaremos introduzindo um problema um pouco mais geral que o Teorema 65. Dados n, r ,

573 seja $\mathcal{H} \subseteq \binom{[n]}{r}$ um hipergrafo r -uniforme. Um hipergrafo nada mais é do que um par $\mathcal{H} = (V, E)$

574 onde $E \subseteq \mathcal{P}(V)$. Em nosso contexto $V = [n]$ e E são subconjuntos de $[n]$ de tamanho r . Por
 575 essa justificativa, denotamos \mathcal{H} pelo conjunto de arestas. Um hipergrafo r -uniforme também é
 576 chamado de r -grafo. É fácil ver que 2-grafos são simplesmente grafos.

577 Dizemos que um conjunto $\mathcal{C} \subseteq \mathcal{H}$ de arestas é uma *cobertura* se para todo vértice $x \in V(\mathcal{H})$
 578 existe aresta $C \in \mathcal{C}$ tal que $x \in C$. Da mesma forma, dizemos que um conjunto \mathcal{C} é um
 579 *empacotamento* de \mathcal{H} se para todo vértice x existe no máximo uma aresta em \mathcal{C} contendo x , isto
 580 é, se todas as arestas de \mathcal{C} são disjuntas. Note aqui que neste caso o conceito de empacotamento
 581 coincide com o de emparelhamento.

582 Defina o número de cobertura de um r -grafo \mathcal{H} por

$$\beta(\mathcal{H}) := \min\{|\mathcal{C}|: \mathcal{C} \text{ é uma cobertura de } \mathcal{H}\}.$$

583 Também defina o número de empacotamento de um r -grafo \mathcal{H} por

$$\nu(\mathcal{H}) := \max\{|\mathcal{C}|: \mathcal{C} \text{ é um empacotamento de } \mathcal{H}\}.$$

584 Por uma contagem dupla análoga a feita na situação anterior obtemos que

$$\nu(\mathcal{H}) \leq \frac{n}{r} \leq \beta(\mathcal{H}).$$

585 Assim seria interessante provar que essas estimativas são fortes, isto é, que vale

$$\begin{aligned} \beta(\mathcal{H}) &= (1 + o(1)) \frac{n}{r} \\ \nu(\mathcal{H}) &= (1 + o(1)) \frac{n}{r}. \end{aligned}$$

586 Se isso fosse verdade para todo r -grafo, então Teorema 65 seria um corolário desse resultado.
 587 De fato, sejam $N > k \geq \ell \geq 1$ inteiros e suponha que queremos estimar $M(N, k, \ell)$ e $m(N, k, \ell)$.
 588 Então construa um hipergrafo \mathcal{H}_{EH} onde os vértices são os subconjuntos de tamanho ℓ de $[N]$ e
 589 as arestas são dadas por

$$E(\mathcal{H}_{EH}) = \left\{ \binom{K}{\ell} : K \subseteq [N], |K| = k \right\},$$

590 isto é, um conjunto de vértices é uma aresta se este conjunto consiste de todos os subconjuntos
 591 de tamanho ℓ de um conjunto de tamanho k . Isso nos permite traçar uma bijeção entre as
 592 arestas de \mathcal{H}_{EH} e os conjuntos de $\binom{[N]}{k}$.

593 Uma cobertura de \mathcal{H}_{EH} consiste em um conjunto de arestas \mathcal{C} que contém, em sua união,
 594 todos os vértices de \mathcal{H}_{EH} . Podemos associar cada aresta de \mathcal{C} com um subconjunto de tamanho

595 k de $[N]$. Essa bijeção nos dá um conjunto $\mathcal{A} \subseteq \binom{[N]}{k}$. Como cada vértice de \mathcal{H}_{EH} está contido
 596 em uma aresta, segue que todo subconjunto de tamanho ℓ está contido em um subconjunto de
 597 tamanho k em \mathcal{A} . Logo \mathcal{A} é uma (N, k, ℓ) -cobertura. Assim

$$M(N, k, \ell) = \beta(\mathcal{H}_{EH}).$$

598 Da mesma forma, podemos associar um empacotamento \mathcal{C} de \mathcal{H}_{EH} com um (N, k, ℓ) -empacotamento
 599 \mathcal{A} de $[N]$ e portanto

$$m(N, k, \ell) = \nu(\mathcal{H}_{EH}).$$

600 Assim teríamos que $M(N, k, \ell)$ e $m(N, k, \ell)$ são assintoticamente iguais a

$$\frac{n}{r} = \frac{\binom{N}{\ell}}{\binom{k}{\ell}},$$

601 como queríamos.

602 Infelizmente, não existem esperanças de que este fato seja verdadeiro. Vários contra-exemplos
 603 podem ser dados. Por exemplo, considere \mathcal{H} como o r -grafo em que as arestas são todos os
 604 subconjuntos de tamanho r que contém 1. É fácil ver que

$$\beta(\mathcal{H}) \approx \frac{n}{r-1}$$

$$\nu(\mathcal{H}) = 1.$$

605 É necessário colocar alguma hipótese sobre \mathcal{H} . Felizmente, a conjectura de Erdős e Hanani nos
 606 dá uma dica sobre o tipo de hipótese necessária: \mathcal{H}_{EH} é regular!

607 Fixado um vértice $x \in V(\mathcal{H}_{EH})$ queremos calcular $d(x)$. Note que x na verdade é um
 608 subconjunto de $[n]$ de tamanho ℓ e uma aresta que contém x corresponde a um subconjunto de
 609 tamanho k que contém x . Portanto $d(x)$ é igual ao número de subconjuntos de $[n]$ de tamanho k
 610 que contém o subconjunto ℓ . É fácil ver que esse número é igual a $\binom{n-\ell}{k-\ell}$ e logo \mathcal{H}_{EH} é regular.

611 Vamos então tentar esse cenário. Suponha que \mathcal{H} é um grafo D -regular. Primeiro vamos
 612 mostrar que é apenas necessário resolver o problema para coberturas.

613 **Exercício 66.** Seja \mathcal{H} um r -grafo conexo e $\varepsilon > 0$ tal que $\beta(\mathcal{H}) \leq (1+\varepsilon)\frac{n}{r}$, então $\nu(\mathcal{H}) \geq (1-\varepsilonr)\frac{n}{r}$.
 614 Da mesma forma, se $\nu(\mathcal{H}) \geq (1-\varepsilon)\frac{n}{r}$, então $\beta(\mathcal{H}) \leq (1+\varepsilonr)\frac{n}{r}$.

615 *Solução.* Seja \mathcal{C} uma cobertura de \mathcal{H} de tamanho $\beta(\mathcal{H})$. Para um vértice $i \in [n]$, seja x_i o
 616 número de arestas $C \in \mathcal{C}$ tal que $i \in C$. Vamos contar o número de pares (i, C) , onde $i \in [n]$,

617 $C \in \mathcal{C}$ são tais que $i \in C$. Uma contagem dupla fixando os vértices primeiro e depois as arestas
 618 nos dá que

$$\sum_{i=1}^n x_i = |\mathcal{C}| \cdot r \leq (1 + \varepsilon)n$$

619 Note que por \mathcal{C} ser uma cobertura, temos que $x_i \geq 1$ para todo i . Seja $I \subseteq [n]$ os índices em que
 620 $x_i > 1$. Para todo $i \in I$, seja $\{C_{i1}, \dots, C_{ix_i}\}$ todas as arestas de \mathcal{C} contendo i . Construa uma
 621 coleção \mathcal{C}' dada por

$$\mathcal{C}' = \mathcal{C} \setminus \left(\bigcup_{i=1}^n \{C_{i2}, \dots, C_{ix_i}\} \right).$$

622 Essa nova coleção satisfaz duas condições: A primeira é que todo vértice aparece em no máximo
 623 uma aresta de \mathcal{C}' , tornando \mathcal{C}' um empacotamento. A segunda é que

$$|\mathcal{C}'| \geq \beta(\mathcal{H}) - \varepsilon n \geq (1 - \varepsilon r) \frac{n}{r}.$$

624 Portanto $\nu(\mathcal{H}) \geq (1 - \varepsilon r) \frac{n}{r}$. A outra afirmação segue de maneira similar. □

625 Vamos achar agora probabilisticamente uma cobertura para um r -grafo D -regular. Seja \mathcal{H}_p o
 626 r -grafo obtido por selecionar cada aresta de \mathcal{H} independentemente com probabilidade p . Esse
 627 conjunto de arestas de \mathcal{H}_p cobrem um conjunto de vértices $S \subseteq [n]$. Para cada vértice em
 628 $[n] \setminus S$ considere uma aresta em que está contido e chame de \mathcal{A} esse conjunto de arestas. Então
 629 $\mathcal{C} = \mathcal{H}_p \cup \mathcal{A}$ é uma cobertura de \mathcal{H} . É fácil ver que

$$|\mathcal{C}| \leq |\mathcal{H}_p| + (n - |S|).$$

630 Assim precisamos apenas estimar o tamanho de $[n] \setminus S$ e de \mathcal{H}_p .

631 Seja X a variável aleatória que conta o número de arestas de \mathcal{H}_p e Y a variável aleatória que
 632 conta o número de vértices não cobertos em \mathcal{H}_p . Estamos interessados em $\mathbb{E}(X + Y)$. Uma
 633 conta simples mostra que

$$\mathbb{E}(X) = pe(\mathcal{H}),$$

634 e por uma contagem temos que

$$e(\mathcal{H}) = \frac{Dn}{r}.$$

635 Assim concluímos que

$$\mathbb{E}(X) = \frac{pDn}{r}.$$

636 Para estimarmos Y note que um vértice não é coberto por \mathcal{H}_p se todas as arestas incidente nele
637 nao foram escolhidas. Logo

$$\mathbb{E}(Y) = \sum_{i=1}^n \mathbb{P}(i \text{ não ser coberto}) = \sum_{i=1}^n (1-p)^D \leq ne^{-pD}.$$

638 Linearidade da esperança nos dá

$$\mathbb{E}(X + Y) = \mathbb{E}(X) + \mathbb{E}(Y) \leq \frac{pDn}{r} + ne^{-pD}.$$

639 Para otimizarmos o valor, queremos escolher p em que essa função seja mínima. Cálculo nos
640 mostra que isso é atingido quando $p = \frac{\ln r}{D}$. Portanto

$$\mathbb{E}(X + Y) \leq (\ln r + 1) \frac{n}{r}.$$

641 Isso significa que existe uma cobertura de um r -grafo D -regular com $(n \ln r)/r$ arestas, o que é
642 um pouco mais do que o desejado. Infelizmente, o próximo exemplo mostra que ser D -regular
643 não é suficiente.

644 **Exemplo 67.** Considere a seguinte construção feita por Frankl. Seja \mathcal{H} um 3-grafo de $n = 9k$
645 vértices. Particionemos os vértices em $2k + 1$ conjuntos A_0, A_1, \dots, A_{2k} . Faça $|A_0| = 3k$ e
646 $|A_1| = \dots = |A_{2k}| = 3$. Considere como arestas todas as triplas contendo exatamente um elemento
647 de A_0 em dois elementos de algum A_i .

648 Vamos primeiro checar que \mathcal{H} é regular. Fixe um vértice $x \in A_0$. Para $1 \leq i \leq 2k$ existem
649 exatamente $\binom{3}{2} = 3$ arestas contendo x e elementos de A_i . Logo o número de arestas contendo x
650 é $3 \cdot 2k = 6k$. Agora fixe um vértice $x \in A_i$ para $i \neq 0$. Toda aresta contendo x tem q conter um
651 outro elemento de A_i . Existem duas possibilidades. Seleccionada uma possibilidade o terceiro
652 elemento é arbitrario em A_0 . Isso nos dá $2 \cdot 3k = 6k$ arestas contendo x e logo \mathcal{H} é regular.

653 Seja agora \mathcal{C} uma cobertura de \mathcal{H} . Como \mathcal{C} tem de cobrir todos os A_i 's para $i \neq 0$, precisaremos
654 de pelo menos duas arestas para cada A_i (Uma aresta só usa dois elementos de A_i). Portanto
655 será necessário pelo menos $2 \cdot 2k = 4k$ arestas e $|\mathcal{C}| \geq 4k$. Isso implica que

$$\beta(\mathcal{H}) \geq 4k = \frac{4}{3} \binom{9k}{3} = \frac{4n}{3r}.$$

656 Então é necessário algo a mais do que apenas ser D -regular. O próximo exercício mostra que
 657 se o grafo \mathcal{H} for gerado aleatoriamente, então com alta probabilidade ele admite uma cobertura
 658 assintoticamente perfeita.

659 **Exercício 68.** Seja r um inteiro e $D := D(n)$ uma função tal que $D \geq 2 \ln n$. Seja $\mathcal{H}(n, p)$ o
 660 r -grafo aleatório cujo conjunto de arestas é escolhido independentemente e com probabilidade p
 661 em $\binom{[n]}{r}$. Então

$$\lim_{n \rightarrow \infty} \mathbb{P} \left(\beta(\mathcal{H}(n, p)) = (1 + o(1)) \frac{n}{r} \right) = 1,$$

662 para $p \geq D / \binom{n-1}{r-1}$.

663 *Solução.* Vamos mostrar o seguinte fato,

$$\lim_{n \rightarrow \infty} \mathbb{P} \left(\alpha(\mathcal{H}(n, p)) < \frac{n}{D^{1/r}} \right) = 1,$$

664 isto é, $\mathcal{H}(n, p)$ quase certamente não possui um conjunto independente de tamanho $n/D^{1/r}$.

665 Seja X a variável aleatória que conta o número de conjuntos de tamanho m de $[n]$ que são
 666 independentes. Uma conta nos mostra que

$$\mathbb{E}(X) = \binom{n}{m} (1-p)^{\binom{m}{r}} \leq \binom{n}{m} e^{-p \binom{m}{r}} \leq \left(\frac{en}{m} \right)^m e^{-p \binom{m}{r}}.$$

667 Assim se $m = n/D^{1/r}$ temos

$$\begin{aligned} \mathbb{E}(X) &\leq (eD)^{n/(rD^{1/r})} e^{-p \binom{n/D^{1/r}}{r}} \\ &\leq \exp \left(\frac{2n \ln D}{rD^{1/r}} - \frac{D \binom{n/D^{1/r}}{r}}{\binom{n-1}{r-1}} \right) \\ &\leq \exp \left(\frac{2n \ln D}{rD^{1/r}} - \frac{n}{2r} \right) \\ &\leq \exp \left(-\frac{n}{4r} \right), \end{aligned}$$

668 pois $D \rightarrow \infty$ quando $n \rightarrow \infty$. Logo por Markov

$$\lim_{n \rightarrow \infty} \mathbb{P} \left(\alpha(\mathcal{H}(n, p)) > \frac{n}{D^{1/r}} \right) \leq \mathbb{P}(X > 1) \leq \mathbb{E}(X) \leq \exp \left(-\frac{n}{4r} \right) \rightarrow 0,$$

669 quando $n \rightarrow \infty$.

670 Note também que com probabilidade 1, o r -grafo $\mathcal{H}(n, p)$ é conexo. Seja Y a variável aleatória
 671 que conta o número de vértices isolados de $\mathcal{H}(n, p)$. Então

$$\mathbb{E}(Y) = n(1 - p)^{\binom{n-1}{r-1}} \leq ne^{-p\binom{n-1}{r-1}} \leq ne^{-D} \leq ne^{-2\ln n} = \frac{1}{n}.$$

672 Assim, por Markov,

$$\mathbb{P}(Y > 1) \leq E(X) \leq \frac{1}{n} \rightarrow 0,$$

673 quando $n \rightarrow \infty$.

674 Assim, com alta probabilidade temos que $\mathcal{H}(n, p)$ é conexo e possui $\alpha(\mathcal{H}(n, p)) \leq n/D^{1/r}$.
 675 Agora construa uma cobertura recursivamente. Inicialmente temos $\mathcal{H}_0 = \mathcal{H}(n, p)$ e $\mathcal{C}_0 = \emptyset$. No i -
 676 ésimo passo escolhemos uma aresta f de \mathcal{H}_{i-1} e fazemos $\mathcal{C}_i = \mathcal{C}_{i-1} \cup \{f\}$ e $\mathcal{H}_i = \mathcal{H}_{i-1}[V(\mathcal{H}_{i-1}) \setminus f]$.
 677 Caso não seja possível escolher essa aresta f interrompemos o processo e para cada vértice de
 678 \mathcal{H}_{i-1} adicionamos uma aresta que contém este vértice à \mathcal{C}_{i-1} . Essa aresta, apesar de não existir
 679 em \mathcal{H}_{i-1} , existe em $\mathcal{H}(n, p)$ ($\mathcal{H}(n, p)$ é conexo). Assim no final obteremos uma cobertura \mathcal{C} .

680 Suponha que o processo descrito acima pare no k -ésimo passo. Em cada rodada o processo
 681 retira uma aresta do conjunto de vértices do hipergrafo. Assim o processo dura no máximo $\frac{n}{r}$
 682 rodadas e logo $k \leq n/r$. Ainda mais, porque o processo para no k -ésimo passo temos que \mathcal{H}_{k-1}
 683 é um conjunto independente. Portanto $|\mathcal{H}_{k-1}| \leq n/D^{1/r}$. Logo

$$|\mathcal{C}| \leq k + |\mathcal{H}_{k-1}| \leq \frac{n}{r} + \frac{n}{D^{1/r}} = (1 + o(1))\frac{n}{r},$$

684 com alta probabilidade. □

685 Algo interessante pode ser retirado do último exemplo. Note que o grau em típico de um
 686 vértice nesse $\mathcal{H}(n, p)$ é em torno de

$$p \binom{n-1}{r-1} = D.$$

687 Além disso note o número típico de arestas comum a dois vértices nesse grafo é em torno de

$$p \binom{n-2}{r-2} = O(D/n) = o(D).$$

688 E esse último elemento é suficiente para resolver o problema.

689 Dados um r -grafo \mathcal{H} , definimos o *cograu* $d(x, y)$ como o número de arestas em \mathcal{H} que contém
 690 $\{x, y\}$. Defina

$$\Delta_1(\mathcal{H}) = \max\{d(x) : x \in V\}$$

691 como o maior grau de \mathcal{H} e

$$\Delta_2(\mathcal{H}) = \max\{d(x, y) : x, y \in V\}$$

692 como o maior cograu de \mathcal{H} .

693 Dizemos que um r -grafo \mathcal{H} satisfaz a propriedade $R(K, D, \delta)$ se

694 (1) $\Delta_1(\mathcal{H}) \leq KD$.

695 (2) Para pelo menos $(1 - \delta)n$ vértices em \mathcal{H} vale que $d(x) = (1 \pm \delta)D$.

696 (3) $\Delta_2(\mathcal{H}) \leq \delta D$.

697 O seguinte resultado é devido a Frank, Rödl e Pippenger.

698 **Teorema 69** (Frankl, Rödl, Pippenger). *Para todo inteiro $r \geq 2$ e reais $\varepsilon > 0$, $K \geq 1$, existem*

699 $\delta := \delta(r, K, \varepsilon)$ e $D_0 := D_0(r, K, \varepsilon)$ tal que para todo $n \geq D \geq D_0$ o seguinte vale.

700 *Todo r -grafo \mathcal{H} convexo com a propriedade $R(K, D, \delta)$ é tal que*

$$\beta(\mathcal{H}) \leq (1 + \varepsilon) \frac{n}{r}.$$

701 Um comentário: no exemplo dado por Frankl, a condição do cograu falha. De fato, se
 702 considerarmos dois vértices no mesmo A_i com $i \neq 0$, temos que o seu cograu é $3k$ enquanto o
 703 grafo é $6k$ regular. Nas próximas aulas focaremos em demonstrar o Teorema 69.

704 **2.4. Aula 11 de abril de 2018.** ¹⁰

705 **Definição 70.** *Sejam V um conjunto (finito) de vértices e $\mathcal{H} \subseteq \binom{V}{r}$, $r \geq 2$, um r -grafo.*

706 *O grau máximo de \mathcal{H} , denotado por $\Delta(\mathcal{H})$, é dado por $\Delta(\mathcal{H}) = \max\{d(x) : x \in V\}$, onde*

707 $d(x) = d_{\mathcal{H}}(x)$ é o grau de x em \mathcal{H} . *O cograu máximo de \mathcal{H} , por sua vez, é $\Delta^{(2)}(\mathcal{H})$ definido como*

708 $\Delta^{(2)}(\mathcal{H}) = \max\{d(x, y) : x, y \in V, x \neq y\}$, *sendo que, dados x, y distintos, $d(x, y) = d_{\mathcal{H}}(x, y)$ é o*

709 *cograu de x e y em \mathcal{H} .*

710 **Observação 71.** Ao dizer que $\mathcal{H} \subseteq \binom{V}{r}$ é r -grafo, recorremos a um abuso de notação. Formal-

711 mente, temos que (V, \mathcal{H}) é r -grafo, mas confundimos \mathcal{H} e $E(\mathcal{H})$ por motivos de facilidade.

¹⁰Notas produzidas por André Nakazawa e Gabriel Barros.

712 **Definição 72.** *Sejam $|V| = n$, $r \geq 2$, $\mathcal{H} \subseteq \binom{V}{r}$, $\delta > 0$, $k \geq 1$, $D \geq 1$. Dizemos que \mathcal{H} é*
713 *(δ, k, D) -pseudoaleatório se:*

714 (i) $\Delta(\mathcal{H}) \leq kD$,

715 (ii) *existem $\geq (1 - \delta)n$ vértices $x \in V$ tais que $d(x) = (1 \pm \delta)D$,*

716 (iii) $\Delta^{(2)}(\mathcal{H}) \leq \delta D$.

Teorema 73 (Frankl, Rödl & Pippenger). *Para todo $r \geq 2$, $k \geq 1$ e $\alpha > 0$, existem $\gamma > 0$, $n_0 \geq 1$ e $D_0 \geq 1$ tais que, para todo $\mathcal{H} \subseteq \binom{V}{r}$ (γ, k, D) -pseudoaleatório com $|V| = n \geq n_0$ e $D \geq D_0$, tem-se*

$$\text{cov}(\mathcal{H}) \leq (1 + \alpha) \frac{n}{r}.$$

717 **Definição 74.** *Sejam V um conjunto (finito) de vértices, $\mathcal{H} \subseteq \binom{V}{r}$, com $r \geq 2$, um r -grafo e*
718 *$U \subseteq V$. Denotamos por $\mathcal{H} - U$ o r -grafo induzido por $V \setminus U$, isto é, $\mathcal{H} - U = \mathcal{H}[V \setminus U] =$*
719 *$\{E \in \mathcal{H} : E \subseteq V \setminus U\}$.*

720 **Lema 75** (Nibbling Lemma). *Para todo $r \geq 2$, $K \geq 1$, $\varepsilon > 0$ e $\delta' > 0$, existem $\delta_{NL} > 0$, $n_{NL}^{(0)}$*
721 *e $D_{NL}^{(0)}$ tais que, para todo $\mathcal{H} \subseteq \binom{V}{r}$ (δ_{NL}, K, D) -pseudoaleatório com $|V| = n \geq n_{NL}^{(0)}$ e $D \geq D_{NL}^{(0)}$,*
722 *existe $\mathcal{C} \subseteq \mathcal{H}$ com as seguintes propriedades:*

723 (i) $|\mathcal{C}| = (1 \pm \delta')(\varepsilon n/r)$,

724 (ii) $|V(\mathcal{H}')| = (1 \pm \delta')ne^{-\varepsilon}$, onde $\mathcal{H}' = \mathcal{H} - V(\mathcal{C})$, e

725 (iii) \mathcal{H}' é (δ', K', D') -pseudoaleatório, onde $K' = Ke^{\varepsilon(r-1)}$ e $D' = De^{-\varepsilon(r-1)}$.

726 Adiemos a prova do Lema 75 para o final da seção e consideremos agora a prova do Teorema 73.

727 *Demonstração do Teorema 73.* Dados $r \geq 2$, $k \geq 1$ e $\alpha > 0$, escolhemos δ , t e ε de modo
728 que $0 < \delta, t^{-1} \ll \varepsilon \ll \alpha$. Mais precisamente, seja $\varepsilon > 0$ tal que

$$\frac{\varepsilon}{1 - e^{-\varepsilon}(1 + \varepsilon^2)} + \varepsilon < 1 + \alpha;$$

729 seja $t \geq 1$ um inteiro tal que

$$(e^{-\varepsilon}(1 + \varepsilon^2))^t < \frac{\varepsilon}{r};$$

730 e seja $0 < \delta \leq \varepsilon^2$ tal que

$$(1 + \delta) \frac{\varepsilon}{1 - e^{-\varepsilon}(1 + \varepsilon^2)} + \varepsilon < 1 + \alpha.$$

Seja $\mathcal{H} \subseteq \binom{V}{r}$ um hipergrafo (γ, k, D) -pseudoaleatório qualquer com $|V| = n \geq n_0$ e $D \geq D_0$, onde γ , n_0 e D_0 serão determinados adiante. O teorema é provado aplicando t vezes o Lema 75,

a partir de $\mathcal{H}_0 := \mathcal{H}$, obtendo sucessivamente

$$\mathcal{C}_0 \subseteq \mathcal{H}_0, \mathcal{H}_1 := \mathcal{H}_0 - V(\mathcal{C}_0), \dots, \mathcal{C}_{t-1} \subseteq \mathcal{H}_{t-1}, \mathcal{H}_t := \mathcal{H}_{t-1} - V(\mathcal{C}_{t-1}).$$

731 A fim de que cada tal aplicação seja possível, é necessário que cada \mathcal{H}_i ($0 \leq i \leq t -$
732 1) seja (δ_i, K_i, D_i) -pseudoaleatório, com δ_i , K_i , D_i e $|V(\mathcal{H}_i)|$ assumindo valores adequados.
733 Definimos $\delta_t := \delta$. Dados r , $K = K_{t-1} := ke^{\varepsilon(t-1)(r-1)}$, ε e $\delta' = \delta_t$, o lema nos dá δ_{NL} , $D_{NL}^{(0)}$
734 e $n_{NL}^{(0)}$, e a conclusão do lema vale para todo hipergrafo $(\delta'_{NL}, K_{t-1}, \geq D_{NL}^{(0)})$ -pseudoaleatório com
735 pelo menos $n_{NL}^{(0)}$ vértices, onde δ'_{NL} é qualquer real tal que $0 < \delta'_{NL} \leq \delta_{NL}$. Definimos

$$\delta_{t-1} := \min\{\delta_{NL}, \delta_t e^{-\varepsilon(r-1)}\},$$

$$D_{t-1}^{(0)} := \max\{D_{NL}^{(0)}, e^{\varepsilon(r-1)}\},$$

$$n_{t-1}^{(0)} := \max\{n_{NL}^{(0)}, 2e^{\varepsilon}(1 - \delta_t)^{-1}\}.$$

736 De maneira análoga, para $i = t - 2, t - 3, \dots, 0$, definimos

$$K_i := ke^{\varepsilon i(r-1)},$$

$$\delta_i := \min\{\delta_{NL}(r, K_i, \varepsilon, \delta_{i+1}), \delta_{i+1} e^{-\varepsilon(r-1)}\},$$

$$D_i^{(0)} := \max\{D_{NL}^{(0)}(r, K_i, \varepsilon, \delta_{i+1}), D_{i+1}^{(0)} e^{\varepsilon(r-1)}\},$$

$$n_i^{(0)} := \max\{n_{NL}^{(0)}(r, K_i, \varepsilon, \delta_{i+1}), n_{i+1}^{(0)} e^{\varepsilon}(1 - \delta_t)^{-1}\}.$$

737 Assim, pomos $\gamma = \delta_0$, $n_0 = n_0^{(0)}$, e $D_0 = D_0^{(0)}$.

Agora mostremos que

$$\mathcal{C} := \bigcup_{i=0}^{t-1} \mathcal{C}_i \cup \mathcal{C}_t$$

738 satisfaz $|\mathcal{C}| \leq (1 + \alpha)n/r$, onde $\mathcal{C}_t \subseteq \mathcal{H}_t$ é uma cobertura qualquer de \mathcal{H}_t . Notemos que \mathcal{C} é uma
739 cobertura de \mathcal{H} . Como $\max\{\delta_i : 0 \leq i \leq t\} = \delta \leq \varepsilon^2$, temos que

$$|V(\mathcal{H}_t)| = n \prod_{i=1}^t [e^{-\varepsilon}(1 \pm \delta_i)] \leq n(e^{-\varepsilon}(1 + \delta))^t \leq n(e^{-\varepsilon}(1 + \varepsilon^2))^t \leq n \frac{\varepsilon}{r}.$$

740 Então,

$$|\mathcal{C}| \leq \sum_{i=0}^{t-1} |\mathcal{C}_i| + |V(\mathcal{H}_t)| \leq \sum_{i=0}^{t-1} \left[\frac{\varepsilon |V(\mathcal{H}_i)|}{r} (1 + \delta_{i+1}) \right] + \frac{\varepsilon}{r} n \leq \frac{\varepsilon}{r} (1 + \delta) \sum_{i=0}^{t-1} |V(\mathcal{H}_i)| + \frac{\varepsilon}{r} n,$$

741 onde

$$\sum_{i=0}^{t-1} |V(\mathcal{H}_i)| \leq n \sum_{i=0}^{t-1} (e^{-\varepsilon}(1 + \varepsilon^2))^i \leq \frac{n}{1 - e^{-\varepsilon}(1 + \varepsilon^2)}.$$

742 Logo,

$$|\mathcal{C}| \leq \frac{\varepsilon}{r}(1 + \delta) \frac{n}{1 - e^{-\varepsilon}(1 + \varepsilon^2)} + \frac{\varepsilon}{r}n \leq \frac{n}{r} \left((1 + \delta) \frac{\varepsilon}{1 - e^{-\varepsilon}(1 + \varepsilon^2)} + \varepsilon \right) < \frac{n}{r}(1 + \alpha),$$

743 e portanto $\text{cov}(\mathcal{H}) \leq (1 + \alpha)n/r$. □

744 **2.5. Aula 23 de abril de 2018.** ¹¹

745 Nesta aula, provamos o Lema 75, da Aula de 11 de abril de 2018 (*Nibbling Lemma*).

746 *Demonstração do Lema 75.* Ao longo da prova, sempre que necessário, vamos supor que n e D
 747 são suficientemente grandes. Vamos denotar por $\delta_1, \delta_2, \dots$ números reais que tendem a 0
 748 quando $\delta_{NL} \rightarrow 0, n \rightarrow \infty$ e $D \rightarrow \infty$. Assim, com escolhas apropriadas de $\delta_{NL}, n_{NL}^{(0)}$ e $D_{NL}^{(0)}$,
 749 garantimos que, para cada δ_i , valha $\delta_i < \delta'$.

Seja $\mathcal{C} = \mathcal{H}_p$ um subconjunto aleatório de arestas de \mathcal{H} , com $p = \varepsilon/D$. Vamos provar que, com probabilidade positiva, valem as três propriedades (i), (ii) e (iii). Temos que

$$r|\mathcal{H}| = \sum_{v \in V} d(v) = (1 - \delta_{NL})n(1 \pm \delta_{NL})D \pm \delta_{NL}nKD = (1 \pm \delta_1)nD.$$

Logo,

$$\mathbb{E}(|\mathcal{C}|) = p|\mathcal{H}| = (1 \pm \delta_1) \frac{\varepsilon n}{r}.$$

Como $\text{Var}(|\mathcal{C}|) = (1 - p)p|\mathcal{H}| \leq \mathbb{E}(|\mathcal{C}|)$ ($|\mathcal{C}|$ tem distribuição binomial), temos, pela Desigualdade de Chebyshev, para $\lambda > 0$ arbitrário, que

$$\mathbb{P}(|\mathcal{C}| - \mathbb{E}(|\mathcal{C}|)| > \lambda \mathbb{E}(|\mathcal{C}|)) < \frac{\text{Var}(|\mathcal{C}|)}{\lambda^2 (\mathbb{E}(|\mathcal{C}|))^2} \leq \frac{1}{\lambda^2 (1 \pm \delta_1) \varepsilon n / r} \rightarrow 0$$

750 quando $n \rightarrow \infty$. Portanto, para $\delta_2 > 0$ adequado,

$$\mathbb{P} \left(|\mathcal{C}| \neq (1 \pm \delta_2) \frac{\varepsilon n}{r} \right) < \frac{1}{3}. \tag{1}$$

Consideremos agora a propriedade (ii). Para cada $v \in V$, seja X_v a v.a. indicadora do evento “ $v \in V(\mathcal{H}')$ ”. Notemos que $|V(\mathcal{H}')| = \sum_{v \in V} X_v$. No caso em que $d(v) = (1 \pm \delta_{NL})D$, temos que

$$\mathbb{E}(X_v) = \mathbb{P}(X_v = 1) = (1 - p)^{d(v)} = (1 - p)^{(1 \pm \delta_{NL})D},$$

e, como

$$e^{-\varepsilon(1 + \delta_{NL})(1 - \varepsilon/D)^{-1}} \leq (1 - p)^{(1 + \delta_{NL})D} \leq (1 - p)^{(1 \pm \delta_{NL})D} \leq (1 - p)^{(1 - \delta_{NL})D} \leq e^{-\varepsilon(1 - \delta_{NL})},$$

¹¹Notas produzidas por Gabriel Barros e REVISOR?.

concluimos que $\mathbb{E}(X_v) = e^{-\varepsilon}(1 \pm \delta_3)$. Há no máximo δ_{NL} vértices v tais que $d(v) \neq (1 \pm \delta_{NL})D$. Assim, observando que $0 \leq \mathbb{E}(X_v) \leq 1$ para todo $v \in V$, obtemos

$$\mathbb{E}(|V(\mathcal{H}')|) = ne^{-\varepsilon}(1 \pm \delta_4).$$

751 Temos que $\text{Var}(|V(\mathcal{H}')|) \leq \mathbb{E}(|V(\mathcal{H}')|) + \sum_{v \neq w} \text{Cov}(X_v, X_w)$. Ademais,

$$\begin{aligned} \text{Cov}(X_v, X_w) &= \mathbb{E}(X_v X_w) - \mathbb{E}(X_v)\mathbb{E}(X_w) \\ &= (1-p)^{d(v)+d(w)-d(v,w)} - (1-p)^{d(v)+d(w)} \\ &\leq (1-p)^{-d(v,w)} - 1 \leq \left(1 - \frac{\varepsilon}{D}\right)^{-\delta_{NL}D} - 1 \leq \delta_5. \end{aligned}$$

752 Assim, $\text{Var}(|V(\mathcal{H}')|) \leq \mathbb{E}(|V(\mathcal{H}')|) + \delta_5 n^2 \leq \delta_6 (\mathbb{E}(|V(\mathcal{H}')|))^2$, e, por Chebyshev,

$$\mathbb{P}(|V(\mathcal{H}')| \neq (1 \pm \delta_7)\mathbb{E}(|V(\mathcal{H}')|)) = (1 \pm \delta_8)ne^{-\varepsilon} < \frac{1}{3}. \quad (2)$$

753 Finalmente, consideremos a propriedade (iii). Há pelo menos $(1 - \delta_9)n$ vértices v tais que

754 (A) $d(v) = (1 \pm \delta_{NL})D$, e

755 (B) todas as $d(v)$ arestas E com $v \in E$, a menos de no máximo $\delta_{10}D$ delas, satisfazem

$$|\{F \in \mathcal{H} : v \notin F, F \cap E \neq \emptyset\}| = (1 \pm \delta_{11})(r-1)D \quad (3)$$

De fato, temos, por hipótese, que no máximo $\delta_{NL}n \leq \delta_9 n/2$ vértices w tem $d(w) \neq (1 \pm \delta_{NL})D$. Observemos que, se uma aresta E com $v \in E$ é tal que todo $w \in E$ tem $d(w) = (1 \pm \delta_{NL})D$, então E satisfaz (3), pois, neste caso, temos

$$(1 \pm \delta_{NL})(r-1)D - \binom{r-1}{2} \delta_{NL}D \leq |\{F \in \mathcal{H} : v \notin F, F \cap E \neq \emptyset\}| \leq (1 \pm \delta_{NL})(r-1)D$$

756 (na desigualdade da esquerda, usamos o fato de que $d(w, w') < \delta_{NL}D$ para todo par $w \neq w'$).

757 Portanto, as arestas E com $v \in E$ em que não vale (3) contêm algum w com $d(w) \neq (1 \pm \delta_{NL})D$.

758 O número de arestas de \mathcal{H} contendo algum w com $d(w) \neq (1 \pm \delta_{NL})D$ é no máximo $\delta_{NL}nKD$.

759 E, por contagem dupla, o número de vértices contidos em mais do que $\delta_{10}D$ tais arestas é no

760 máximo $\delta_{NL}nKDr/(\delta_{10}D) \leq \delta_9 n/2$, para escolhas adequadas de δ_9 e δ_{10} .

Basta que mostremos que, para a maioria dos vértices v que satisfazem (A) e (B), se v está em $V(\mathcal{H}')$, então vale que $d_{\mathcal{H}'}(v)$ é conforme a propriedade (iii). Fixemos um tal vértice v . Uma aresta E com $v \in E$ sobrevive se toda aresta F tal que $v \notin F$ e $F \cap E \neq \emptyset$ não está em \mathcal{C} . Dizemos que E é boa se satisfaz 3. Para cada aresta E com $v \in E$, seja Y_E a v.a. indicadora de

“ E sobrevive”. Seja $Z_v = \sum_{v \in E} Y_E$. Notemos que, se $v \in V(\mathcal{H}')$, então $d_{\mathcal{H}'}(v) = Z_v$. Temos que

$$\mathbb{E}(Z_v) = (1 \pm \delta_{NL} \pm \delta_{10})D(1-p)^{(1 \pm \delta_{11})(r-1)D} \pm \delta_{10}D = e^{-\varepsilon(r-1)D}(1 \pm \delta_{12}).$$

761 E

$$\begin{aligned} \text{Var}(Z_v) &\leq \mathbb{E}(Z_v) + \sum_{E \neq E'} \text{Cov}(Y_E, Y_{E'}) \\ &\leq \mathbb{E}(Z_v) + 2\delta_{10}D^2(1 \pm \delta_{NL}) + \sum_{\substack{E \neq E' \\ E, E' \text{ boas}}} \text{Cov}(Y_E, Y_{E'}). \end{aligned}$$

Fixemos uma aresta boa E . A condição sobre os cograus nos dá que, em $\sum_{E' \text{ boa}} \text{Cov}(Y_E, Y_{E'})$, o número de parcelas tais que $|E \cap E'| > 1$ é no máximo $(r-1)\delta_{NL}D$. Para cada E' , seja $t(E, E')$ o número de arestas de \mathcal{H} que intersectam E e E' e não contêm v . A condição sobre os cograus nos dá também que $t(E, E') \leq (r-1)^2\delta_{NL}D$. Assim, para as arestas E' tais que $E \cap E' = \{v\}$,

$$\text{Cov}(Y_E, Y_{E'}) \leq (1-p)^{-t(E, E')} - 1 \leq (1-p)^{-(r-1)^2\delta_{NL}D} - 1 \leq \delta_{13},$$

e portanto, para cada aresta boa E fixa,

$$\sum_{E' \text{ boa}} \text{Cov}(Y_E, Y_{E'}) \leq (r-1)\delta_{NL}D + D(1 + \delta_{NL})\delta_{13} \leq \delta_{14}D.$$

762 Segue que

$$\begin{aligned} \text{Var}(Z_v) &\leq \mathbb{E}(Z_v) + 2\delta_{10}D^2(1 \pm \delta_{NL}) + (1 + \delta_{NL})\delta_{14}D^2 \\ &\leq \mathbb{E}(Z_v) + \delta_{15}D^2 \leq \delta_{16}(\mathbb{E}(Z_v))^2. \end{aligned}$$

Portanto, por Chebyshev,

$$\mathbb{P}\left(Z_v \neq (1 \pm \delta_{18})e^{-\varepsilon(r-1)D}\right) < \delta_{17},$$

763 e, por Markov,

$$\mathbb{P}\left(|\{v : v \text{ satisfaz (A) e (B) e } Z_v \neq (1 \pm \delta_{18})e^{-\varepsilon(r-1)D}\}| > 3\delta_{17}n\right) < \frac{1}{3}. \quad (4)$$

764 Concluimos por (1), (2) e (4), usando a cota da união, que as propriedades (i), (ii) e (iii)
765 valem com probabilidade positiva.

766

□

768 3.1. Aula 25 de abril de 2018: Probabilidades exponencialmente pequenas. ¹²

769 Dados três pontos $x, y, z \in \mathbb{R}^n$, denotamos por $\angle(x, y, z)$ o ângulo centrado em x determinado
770 pelos pontos y e z .

771 **Definição 76.** Dizemos que $X \subseteq \mathbb{R}^n$ é obtuso se existem pontos $x, y, z \in X$ tais que $\angle(x, y, z) >$
772 $\pi/2$.

773 Seja $g(n) := \max\{|X| : X \subseteq \mathbb{R}^n \text{ e } X \text{ não é obtuso}\}$.

774 **Proposição 77.** Vale que $g(n) \geq 2^n$.

775 *Demonstração.* Considere $\Omega_n = \{0, 1\}^n \subseteq \mathbb{R}^n$. Temos que não existem $x, y, z \in \Omega_n$ tais que
776 $\angle(x, y, z) > \pi/2$. De fato, se $x, y, z \in \Omega_n$, temos que

$$\langle z - x, y - x \rangle = \|z - x\| \|y - x\| \cos \theta,$$

777 e $\langle z - x, y - x \rangle \geq 0$, pois

$$\langle z - x, y - x \rangle = |A \setminus (B \cup C)| + |(B \cap C) \setminus A|,$$

778 onde $A = \text{supp } x$, $B = \text{supp } y$ e $C = \text{supp } z$. Portanto, $\cos \theta \geq 0$, implicando que $\theta \leq \pi/2$. \square

779 Erdős provou em (aproximadamente) 1950 que $g(n) \leq 2^n$.

780 Vamos agora considerar uma noção análoga.

781 **Definição 78.** Dizemos que $X \subseteq \mathbb{R}^n$ é agudo se toda tripla de pontos $x, y, z \in X$ é tal que
782 $\angle(x, y, z) < \pi/2$.

783 Seja $f(n) := \max\{|X| : X \subseteq \mathbb{R}^n \text{ e } X \text{ é agudo}\}$. Em 1962, Danzer e Grünbaum provaram o
784 seguinte resultado sobre $f(n)$.

785 **Proposição 79** (Danzer e Grünbaum (1962)). Para todo $n \geq 1$, temos que $f(n) \geq 2n - 1$.

786 Além disso, fizeram a seguinte conjectura.

787 **Conjectura 80** (Danzer e Grünbaum (1962)). Para todo $n \geq 1$, vale que $f(n) \leq 2n - 1$.

788 Em 1983, Erdős e Füredi provaram que a conjectura é falsa, usando probabilidades exponenci-
789 almente pequenas.

¹²Notas produzidas por Bruno Pasqualotto Cavalari e REVISOR?.

790 **Teorema 81** (Erdős e Füredi (1962)). *Para todo $n \geq 1$ existe $X \subseteq \mathbb{R}^n$ agudo que satisfaz*
791 $|X| \geq \lfloor (1/2)(2/\sqrt{3})^n \rfloor$.

792 *Demonstração.* Escolhemos $a_1, a_2, \dots, a_{2m} \in_U \Omega_n$ independentemente, onde $m = \lfloor (1/2)(2/\sqrt{3})^n \rfloor$.
793 Fixe $\alpha, \beta, \gamma \in [2m]$. Sejam $A = \text{supp } a_\alpha$, $B = \text{supp } a_\beta$ e $C = \text{supp } a_\gamma$. Observe que
794 $\angle(a_\alpha, a_\beta, a_\gamma) \leq \pi/2$. Ademais, quando $a_\alpha \neq a_\beta \neq a_\gamma \neq a_\alpha$, vale que $\angle(a_\alpha, a_\beta, a_\gamma) = \pi/2$
795 se, e somente se,

$$\langle a_\beta - a_\alpha, a_\gamma - a_\alpha \rangle = |A \setminus (B \cup C)| + |(B \cap C) \setminus A| = 0.$$

796 Isto é, se e só se $B \cap C \subseteq A \subseteq B \cup C$. Segue que

$$\mathbb{P}[\angle(a_\alpha, a_\beta, a_\gamma) = \pi/2] \leq \mathbb{P}[B \cap C \subseteq A \subseteq B \cup C] = (3/4)^n.$$

797 Seja R o número de pares $(\alpha, \{\beta, \gamma\})$ tais que $\alpha, \beta, \gamma \in [2m]$, $\alpha \neq \beta \neq \gamma \neq \alpha$ e $\angle(a_\alpha, a_\beta, a_\gamma) = \pi/2$.
798 Temos

$$\mathbb{E}[R] \leq \binom{2m}{3} 3 \left(\frac{3}{4}\right)^n \leq 4m^3 \left(\frac{3}{4}\right)^n \leq 4m \left(\frac{1}{2} \left(\frac{2}{\sqrt{3}}\right)^n\right)^2 \left(\frac{3}{4}\right)^n = m.$$

799 Portanto, existe escolha dos a_i ($1 \leq i \leq 2m$) com $R \leq m$. Fixe tais a_i e remova dessa lista os
800 vértices dos ângulos retos. Sobram $\geq m$ elementos formando um conjunto agudo.¹³ \square

801 Observe que acima usamos o método da alteração. Para obter uma prova sem o método da
802 alteração, podemos fazer do seguinte modo. Seja $a_1, \dots, a_M \in_U \Omega_n$. Se $3 \binom{M}{3} \left(\frac{3}{4}\right)^n < 1$, então
803 existe uma escolha de a_1, \dots, a_M como queremos. Isto pode ser satisfeito com $M = (4/3)^{n/3}$, o
804 que é mais fraco do que o resultado obtido acima.

805 Recentemente, Gerencsér e Harangi (2017) fortaleceram esse resultado, provando que $f(n) \geq$
806 $2^{n-1} - 1$. Isto é assintoticamente ótimo, visto que $f(n) \leq 2^n - 1$.

807 Em 1983, Erdős e Füredi consideraram a seguinte generalização do problema anterior.

808 **Definição 82.** *Dizemos que $X \subseteq \mathbb{R}^n$ é θ -conjunto se toda tripla de pontos $x, y, z \in X$ é tal que*
809 $\angle(x, y, z) < \theta$.

810 **Teorema 83.** *Para todo $\varepsilon > 0$ existe $\delta > 0$ tal que para todo $n \geq 1$ existe $X \subseteq \mathbb{R}^n$ que é*
811 $(\pi/3 + \varepsilon)$ -conjunto com $|X| \geq (1 + \delta)^n$.

812 3.1.1. *Algumas desigualdades exponenciais.* Seja $X_i \widetilde{\text{Be}}(p_i)$, com $i \in [n]$, e suponha que os X_i são
813 independentes. Seja $X = \sum_i X_i$. Temos que $\mu := \mathbb{E}[X] = \sum_i p_i$. Nesse caso, valem as seguintes
814 desigualdades.

¹³ Observe que os a_i sobreviventes são distintos!

Teorema 84 (Desigualdades de Chernoff).

$$\mathbb{P}[X \geq \mu + t] \leq \exp \left\{ -\frac{t^2}{2(\mu + t/3)} \right\}, \quad t \geq 0; \quad (5)$$

$$\mathbb{P}[X \leq \mu - t] \leq \exp \left\{ -\frac{t^2}{2\mu} \right\}, \quad t \geq 0; \quad (6)$$

$$\mathbb{P}[X \geq (1 + \varepsilon)\mu] \leq \exp \left\{ -\frac{\varepsilon^2 \mu}{3} \right\}, \quad 0 < \varepsilon < 3/2; \quad (7)$$

$$\mathbb{P}[x \leq (1 - \varepsilon)\mu] \leq \exp \left\{ -\frac{\varepsilon^2 \mu}{2} \right\}, \quad \varepsilon > 0; \quad (8)$$

$$\mathbb{P}[x \geq t] \leq \exp \{-t\}, \quad t \geq 7\mu; \quad (9)$$

$$\mathbb{P}[x \geq \mu + t] \leq \exp \left\{ -\frac{2t^2}{n} \right\}, \quad t \geq 0; \quad (10)$$

$$\mathbb{P}[x \leq \mu - t] \leq \exp \left\{ -\frac{2t^2}{n} \right\}, \quad t \geq 0. \quad (11)$$

815 **3.2. Aula 07 de maio de 2018.** ¹⁴

816 Consideremos uma VA X não-negativa. Temos que,

$$\forall u > 0, \mathbb{P}(X \geq \mu + t) = \mathbb{P}(e^{uX} \geq e^{u(\mu+t)}),$$

817 pois e^{uX} é crescente, e por Markov,

$$\mathbb{P}(e^{uX} \geq e^{u(\mu+t)}) \leq e^{-u(\mu+t)} \mathbb{E}(e^{uX}).$$

818 Portanto,

$$\forall u > 0, \mathbb{P}(X \geq \mu + t) \leq e^{-u(\mu+t)} \mathbb{E}(e^{uX}).$$

819 Analogamente,

$$\forall u < 0, \mathbb{P}(X \leq \mu - t) = \mathbb{P}(e^{uX} \geq e^{u(\mu-t)}),$$

820 e, por Markov,

$$\mathbb{P}(e^{uX} \geq e^{u(\mu-t)}) \leq e^{-u(\mu-t)} \mathbb{E}(e^{uX}).$$

821 Portanto

$$\forall u < 0, \mathbb{P}(X \leq \mu - t) \leq e^{-u(\mu-t)} \mathbb{E}(e^{uX}).$$

822 Onde

$$\mathbb{E}(e^{uX}) = \mathbb{E}(1 + uX + \frac{1}{2!}(uX)^2 + \dots) =$$

¹⁴Notas produzidas por Ângelo Lovatto e Rodrigo Enju

823

$$= \mathbb{E} \left(\sum_{k \geq 0} \frac{u^k}{k!} X^k \right) = \sum_{k \geq 0} \frac{u^k}{k!} \mathbb{E}(X^k).$$

824 **Observação 85.** $\mathbb{E}(X^k)$ é o k -ésimo momento de X , e $\mathbb{E}(e^{uX})$ é a função geradora de momentos
825 de X (ou transformada de Laplace).

826 3.2.1. *Soma de VAs independentes.* Seja X uma VA, tal que

$$X = \sum_{i=1}^n X_i,$$

827 com $X_i \sim Be(p_i)$, onde $\mathbb{P}(X_i = 1) = p_i$ e $\mathbb{P}(X_i = 0) = 1 - p_i$, e X_i independentes.

828 Então, para esta VA, a função geradora de momentos é da forma

$$\begin{aligned} \mathbb{E}(e^{uX}) &= \mathbb{E} \left(e^{u \sum_{i=1}^n X_i} \right) = \\ 829 &= \mathbb{E} \left(\prod_{i=1}^n e^{uX_i} \right) = \prod_{i=1}^n \mathbb{E}(e^{uX_i}) = \\ 830 &= \prod_{i=1}^n (1 - p_i + p_i e^u). \end{aligned}$$

831 Supondo que $p_i = p$ para todo i , então $X \sim Bi(n, p)$.

832 Neste caso, $\mathbb{E}(e^{uX}) = (1 - p + pe^u)^n$.

833 Assim,

$$\forall u > 0, \mathbb{P}(X \geq \mu + t) \leq e^{-u(\mu+t)} (q - p + pe^u)^n$$

834 Como X é binomial, então se $\mu + t = n$, então a probabilidade é exatamente p^n , e se $\mu + t > n$,
835 a probabilidade é zero. Supomos então que $\mu < \mu + t < n$. Tome

$$e^u = \frac{(\mu + t)(1 - p)}{(n - \mu - t)p} > 1.$$

836 Substituindo este e^u no limitante de $\mathbb{P}(X \geq \mu + t)$, obtemos

$$\mathbb{P}(X \geq \mu + t) \leq \left(\frac{\mu}{\mu + t} \right)^{\mu+t} \left(\frac{n - \mu}{n - \mu - t} \right)^{n-\mu-t},$$

837 para todo $0 \leq t \leq n - \mu$ (Chernoff 1952, e independentemente Okamoto, 1958).

838 Procuremos uma simplificação para a expressão. Tome

$$\varphi(x) = \begin{cases} (1+x) \ln(1+x) - x & \text{se } x \geq -1 \\ \infty & \text{se } x < -1. \end{cases}$$

839 Seja

$$f(x) = \frac{x^2}{2}$$

840

$$h(x) = \frac{x^2}{2\left(1 + \frac{x}{3}\right)}$$

$$(*) \begin{cases} \varphi(x) \geq f(x) & \forall -1 \leq x \leq 0 \\ \varphi(x) \geq h(x) & \forall x \geq 0 \end{cases}$$

841 Ademais,

$$\ln \left(\left(\frac{\mu}{\mu+t} \right)^{\mu+t} \left(\frac{n-\mu}{n-\mu-t} \right)^{n-\mu-t} \right) = -\mu\varphi\left(\frac{t}{\mu}\right) - (n-\mu)\varphi\left(\frac{-t}{n-\mu}\right).$$

842 Assim,

$$\mathbb{P}(X \geq \mu + t) \leq \exp \left\{ -\mu\varphi\left(\frac{t}{\mu}\right) - (n-\mu)\varphi\left(\frac{-t}{n-\mu}\right) \right\}.$$

843 Se considerarmos uma VA $Y = n - X$, então é fácil ver que vale

$$\mathbb{P}(X \leq \mu - t) \leq \exp \left\{ -\mu\varphi\left(\frac{-t}{\mu}\right) - (n-\mu)\varphi\left(\frac{t}{n-\mu}\right) \right\}, \forall 0 \leq t \leq \mu.$$

844 Como $\varphi(x) \geq 0 \forall x \geq 0$, então temos

$$\mathbb{P}(X \geq \mu + t) \leq \exp \left\{ -\mu\varphi\left(\frac{t}{\mu}\right) \right\},$$

$$\mathbb{P}(X \leq \mu - t) \leq \exp \left\{ -\mu\varphi\left(\frac{-t}{\mu}\right) \right\},$$

845 Usando (*), obtemos

$$\begin{aligned} \mathbb{P}(X \geq \mu + t) &\leq \exp \{-\mu h(t/\mu)\} \\ &= \exp \left\{ -\mu \frac{t^2/\mu^2}{2(1+t/3\mu)} \right\} \\ &= \exp \left\{ -\frac{t^2}{2(\mu+t/3)} \right\}. \end{aligned}$$

846 Ademais,

$$\mathbb{P}(X \leq \mu - t) \leq \exp \{-\mu f(-t/\mu)\}$$

$$\begin{aligned}
&= \exp \left\{ -\mu t^2 / 2\mu^2 \right\} \\
&= \exp \left\{ -t^2 / 2\mu \right\}
\end{aligned}$$

847 Em geral, é comum usar $t = \varepsilon\mu$. Neste caso, temos

$$\mathbb{P}(X \leq \mu(1 - \varepsilon)) \leq e^{-\varepsilon^2\mu/2}, \forall 0 \leq \varepsilon \leq 1.$$

$$\begin{aligned}
\mathbb{P}(X \geq \mu + t) &\leq \exp \left\{ -\frac{\varepsilon^2\mu^2}{2\mu(1 + \varepsilon/3)} \right\} \\
&= \exp \left\{ -\frac{\varepsilon^2\mu}{2(1 + \varepsilon/3)} \right\} \\
&\leq \exp \left\{ -\frac{\varepsilon^2\mu}{3} \right\}, \text{ se } 0 \leq \varepsilon \leq \frac{3}{2}.
\end{aligned}$$

848 Agora, vamos considerar o caso geral, em que $X_i \sim Be(p_i)$. Tome

$$p = \frac{1}{n} \sum_{i=1}^n p_i.$$

849 E seja $Y \sim Bi(n, p)$. Temos

$$\begin{aligned}
\mathbb{E}(e^{uX}) &= \prod_{i=1}^n (1 - p_i + p_i e^u) \\
&= \prod_{i=1}^n (1 + p_i(e^u - 1))
\end{aligned}$$

850 Então, por Jensen (considerando uma função $f(x) = \log(1 + xt)$), temos que

$$\begin{aligned}
\prod_{i=1}^n (1 + p_i(e^u - 1)) &\leq (1 + p(e^u - 1))^n \\
&= \mathbb{E}(e^{uY}).
\end{aligned}$$

851 **3.3. Aula 09 de maio de 2018.** ¹⁵

852 **3.3.1. Desigualdade de Janson.** Seja $\Gamma = \{\gamma_1, \dots, \gamma_n\}$ um conjunto finito e $0 \leq p_1, \dots, p_n \leq 1$.

¹⁵Notas produzidas por Felix Liu e Gabriel Lasso.

853 Nesta seção, definimos Γ_{p_1, \dots, p_n} como sendo o espaço de probabilidade $(\mathcal{P}(\Gamma), \mathbb{P})$, onde para
 854 $F \subseteq \Gamma$ definimos

$$\mathbb{P}(F) = \left(\prod_{\gamma_i \in F} p_i \right) \left(\prod_{\gamma_i \notin F} (1 - p_i) \right).$$

855 Informalmente, podemos considerar que F é obtido de Γ_{p_1, \dots, p_n} tomando cada elemento γ_i
 856 com probabilidade independente p_i . Por conveniência, também chamaremos de Γ_{p_1, \dots, p_n} um
 857 conjunto obtido dessa distribuição.

858 **Definição 86.** *Dada uma função $f : \mathcal{P}(\Gamma) \rightarrow \mathbb{R}$, dizemos que f é*

- 859 • *crescente, se $f(A) \leq f(B)$ para todo $A \subseteq B \subseteq \Gamma$; e*
- 860 • *decrecente, se $f(A) \geq f(B)$ para todo $A \subseteq B \subseteq \Gamma$.*

861 **Definição 87.** *Seja $\mathcal{F} \subseteq \mathcal{P}(\Gamma)$. Dizemos que \mathcal{F} é*

- 862 • *crescente, se $A \in \mathcal{F}$ e $A \subseteq B$ implica que $B \in \mathcal{F}$ para todo $A, B \subseteq \Gamma$; e*
- 863 • *decrecente, se $A \in \mathcal{F}$ e $A \supset B$ implica que $B \in \mathcal{F}$ para todo $A, B \subseteq \Gamma$; e*

864 **Teorema 88** (Fortuin, Kasteleyn, Ginibre/Harris). *Sejam X_1 e X_2 VAs, ambas crescentes ou*
 865 *ambas decrescentes. Então X_1 e X_2 são positivamente correlacionadas, ou seja*

$$\mathbb{E}(X_1 X_2) \geq \mathbb{E}(X_1) \mathbb{E}(X_2).$$

866 Note que se $\mathcal{F} \subseteq \mathcal{P}(\Gamma)$ é uma família crescente, então $\mathbb{1}_{\{A \in \mathcal{F}\}}$ é uma função crescente.
 867 Analogamente, se \mathcal{F} é decrescente, então $\mathbb{1}_{\{A \in \mathcal{F}\}}$ também é decrescente. Dessas observações,
 868 segue o seguinte corolário.

869 **Corolário 89.** *Se $\mathcal{F}, \mathcal{G} \subseteq \mathcal{P}(\Gamma)$ são ambos crescentes ou ambos decrescentes, então*

$$\mathbb{P}(\Gamma_{p_1, \dots, p_n} \in \mathcal{F} \cap \mathcal{G}) \geq \mathbb{P}(\Gamma_{p_1, \dots, p_n} \in \mathcal{F}) \mathbb{P}(\Gamma_{p_1, \dots, p_n} \in \mathcal{G}).$$

870 **Exemplo 90.** Podemos considerar $G(n, p)$ como sendo o grafo cujo conjunto de vértices é $[n]$ e cu-
 871 jas arestas são obtidas de $\binom{[n]}{2}_{p, \dots, p}$. Sejam $\mathcal{F} = \{\chi(G(n, p) \geq 3)\}$ e $\mathcal{G} = \{G(n, p) \text{ é hamiltoniano}\}$.
 872 Então vale que $\mathbb{P}(\mathcal{F} \cap \mathcal{G}) \geq \mathbb{P}(\mathcal{F}) \mathbb{P}(\mathcal{G})$.

873 Dados dois conjuntos A, F , definimos a variável aleatória $I_A = \mathbb{1}_{\{A \subseteq F\}}$. Sejam $\mathcal{S} \subseteq \mathcal{P}(\Gamma)$ e
 874 $X = \sum_{A \in \mathcal{S}} I_A$. Segue o seguinte corolário.

875 **Corolário 91.** *É verdade que*

$$\mathbb{P}(X = 0) \geq \exp \left\{ - \frac{\mathbb{E}(X)}{1 - \max_i p_i} \right\}$$

876 *Demonstração.* Observe que, dado $F = \Gamma_{p_1, \dots, p_n}$, $X(F) = 0$ se e somente se $\forall A \in \mathcal{S}, A \not\subseteq F$.

877 Assim, também podemos afirmar que

$$\{X = 0\} = \bigcap_{A \in \mathcal{S}} \{A \not\subseteq \Gamma_{p_1, \dots, p_n}\}.$$

878 Então

$$\mathbb{P}(X = 0) = \mathbb{P}\left(\bigcap_{A \in \mathcal{S}} \{A \not\subseteq \Gamma_{p_1, \dots, p_n}\}\right).$$

879 Por 88, segue que

$$\mathbb{P}(X = 0) \geq \prod_{A \in \mathcal{S}} \mathbb{P}(A \not\subseteq \Gamma_{p_1, \dots, p_n}) = \prod_{A \in \mathcal{S}} (1 - \mathbb{P}(A \subseteq \Gamma_{p_1, \dots, p_n})) = \prod_{A \in \mathcal{S}} (1 - \prod_{i \in A} p_i).$$

880 E então

$$\begin{aligned} \mathbb{P}(X = 0) &\geq \prod_{A \in \mathcal{S}} \exp\left\{-\frac{\prod_{i \in A} p_i}{1 - \prod_{i \in A} p_i}\right\} \\ &\geq \prod_{A \in \mathcal{S}} \exp\left\{-\frac{\mathbb{E}(I_A)}{1 - \max_{i \in A} p_i}\right\} = \exp\left\{-\frac{\sum_{A \in \mathcal{S}} \mathbb{E}(I_A)}{1 - \max_{i \in A} p_i}\right\} = \exp\left\{-\frac{\mathbb{E}(X)}{1 - \max_{i \in A} p_i}\right\}. \end{aligned}$$

881

□

882 Seja

$$\bar{\Delta} = \sum_{\substack{A, B \in \mathcal{S} \\ A \cap B \neq \emptyset}} \mathbb{E}(I_A I_B) = \sum_{A \in \mathcal{S}} \mathbb{E}(I_A) + \sum_{\substack{A, B \in \mathcal{S} \\ A \cap B \neq \emptyset, A \neq B}} \mathbb{E}(I_A I_B) = \mathbb{E}(X) + 2\Delta,$$

883 onde $\Delta = \frac{1}{2} \sum_{\substack{A, B \in \mathcal{S}, \\ A \cap B \neq \emptyset, A \neq B}} \mathbb{E}(I_A I_B)$.

884 **Teorema 92** (Janson '90). *Para todo $0 \leq t \leq \mu$, é verdade que*

$$\mathbb{P}(X < \mu - t) \leq \exp\left\{-\varphi\left(\frac{-t}{\mu}\right) \frac{\mu^2}{\Delta}\right\} \leq \exp\left\{-\frac{t^2}{2\Delta}\right\}.$$

885 **Teorema 93** (Janson, Łuczak e Rucinski '90). *As seguintes desigualdades são verdadeiras.*

886 (1) $\mathbb{P}(X = 0) \leq \exp\{-\mu + \Delta\}$; e

887 (2) $\mathbb{P}(X = 0) \leq \exp\left\{-\frac{\mu^2}{\mu + 2\Delta}\right\} = \exp\left\{-\frac{\mu^2}{\Delta}\right\}$.

888 **Exemplo 94.** Revisitemos a questão dos subgrafos de $G(n, p)$ (2.2).

889 Anteriormente, concluímos que, dado um grafo H ,

$$\lim_{n \rightarrow \infty} \mathbb{P}(H \subseteq G(n, p)) = \begin{cases} 0, & \text{se } p \ll n^{-\frac{1}{m(H)}}; \\ 1, & \text{se } p \gg n^{-\frac{1}{m(H)}}; \end{cases}$$

890 onde $m(H) = \max\left\{\frac{e(J)}{v(J)} : J \subseteq H, v(J) > 0\right\}$.

891 Pelas desigualdades que vimos nesta seção, podemos encontrar cotas para $\mathbb{P}(H \not\subseteq G(n, p))$.

892 Sejam G e H dois grafos, onde $|V(G)| = n$. A cada função injetora $f : V(H) \rightarrow V(G)$ podemos
 893 associar um conjunto $S_f = \{f(u)f(v) : uv \in E(H)\} \subseteq \binom{V(G)}{2}$. Para que f seja um homomorfismo
 894 de H em G , basta que $S_f \subseteq E(G)$. Tomando $\mathcal{S}_H = \{S_f : f : V(H) \rightarrow V(G), f \text{ é injetora}\}$ e
 895 $I_S = \mathbb{1}_{\{S \subseteq E(G)\}}$, temos que $X_H = \sum_{S \in \mathcal{S}_H} I_S$ é o número de homomorfismos de H presentes em
 896 G . Assim, temos que $\mathbb{P}(H \not\subseteq G(n, p)) = \mathbb{P}(X_H = 0)$.

897 Definimos $\Phi_H = \Phi(n, p) = \min\{\mathbb{E}(X_J) : J \subseteq H\}$. Seja então $J \subseteq H$ tal que $\mathbb{E}(X_J) = \Phi_H$.
 898 Claramente, $\mathbb{P}(H \not\subseteq G(n, p)) \geq \mathbb{P}(J \not\subseteq G(n, p))$. Considerando $\Gamma = \binom{[n]}{2}$, $m = \binom{n}{2}$ e $p_1 = \dots =$
 899 $p_m = p$, podemos aplicar a desigualdade em 91, de onde obtemos que

$$\mathbb{P}(H \not\subseteq G(n, p)) \geq \mathbb{P}(J \not\subseteq G(n, p)) \geq \exp\left\{-\frac{\mathbb{E}(X_J)}{1-p}\right\} = \exp\left\{-\frac{1}{1-p}\Phi_H\right\}.$$

900 Obtendo assim uma cota inferior. Para uma cota superior, podemos aplicar uma desigualdade
 901 de 93, obtendo

$$\mathbb{P}(H \not\subseteq G(n, p)) \leq \exp\left\{-\frac{(\mathbb{E}(X_H))^2}{\bar{\Delta}}\right\}.$$

902 Como neste caso

$$\bar{\Delta} = \sum_{\substack{S_{f'}, S_{f''} \in \mathcal{S}_H \\ S_{f'} \cap S_{f''} \neq \emptyset}} \mathbb{E}(I_{S_{f'}} I_{S_{f''}}) \leq c_H \frac{(\mathbb{E}(X_H))^2}{\Phi_H};$$

903 temos que

$$\mathbb{P}(H \not\subseteq G(n, p)) \leq \exp\{-c_H \Phi_H\}.$$

904 **3.3.2. Desigualdade de McDiarmid.** Dados conjuntos A_1, \dots, A_n , dizemos que uma função
 905 $f : \prod_{k=1}^n A_k \rightarrow \mathbb{R}$ é $(c_k)_{k=1}^n$ -lipschitz se $|f(X) - f(X')| \leq c_k$ sempre que X e X' diferem apenas
 906 na k -ésima coordenada.

907 **Teorema 95** (Desigualdade de McDiarmid). *Sejam X_1, \dots, X_n v.a.s independentes, seja f uma*
 908 *função $(c_k)_{k=1}^n$ -lipschitz; e seja Y a v.a. dada por $Y = f(X_1, \dots, X_n)$. Então para todo $t > 0$,*

$$\begin{aligned} 909 \quad (1) \quad & \mathbb{P}(Y - \mathbb{E}(Y) \geq t) \leq \exp\left\{-\frac{2t^2}{\sum c_k^2}\right\}; \text{ e} \\ 910 \quad (2) \quad & \mathbb{P}(Y - \mathbb{E}(Y) \leq -t) \leq \exp\left\{-\frac{2t^2}{\sum c_k^2}\right\}. \end{aligned}$$

911 A desigualdade de McDiarmid é também conhecida como *bounded differences inequality*.

912 **Exemplo 96.** Seja $f(x) = \sum x_k$ e considere $X_i \sim \text{Be}(p)$ v.a.s independentes. Então $Y \sim \text{Bi}(n, p)$;
 913 e obtemos $\mathbb{P}(Y \geq \mathbb{E}(Y) + t) \leq \exp\left\{-\frac{2t^2}{n}\right\}$.

914 **Exemplo 97** (Número cromático de grafos aleatórios). Seja $V = [n]$ e $\Gamma = \binom{V}{2}$. Cada $x \in \{0, 1\}^\Gamma$
 915 está associado a um grafo G_x , a saber, aquele tal que $x_e = 1 \Leftrightarrow e \in E(G_x)$.

916 Com essa representação, podemos analisar parâmetros de grafos na forma de funções $f : \{0, 1\}^\Gamma \rightarrow \mathbb{R}$. Por exemplo, tome $f(x) = \chi(G_x)$. Neste caso, f é 1-lipschitz, uma vez que
 917 adicionar ou remover uma única aresta num dado grafo altera seu número cromático em no
 918 máximo 1.

920 Seja g um parâmetro de grafos. Dizemos que g é concentrado em um intervalo de largura s se
 921 existe u tal que $\lim_{n \rightarrow \infty} \mathbb{P}(u \leq g(G(n, p)) \leq u + s) = 1$, onde $u = u(n, p)$ e $s = s(n, p)$.

922 **Teorema 98** (Shamir e Spencer '87). *Para todo $p = p(n)$, $\chi(G(n, p))$ é concentrado em um*
 923 *intervalo de largura $\omega\sqrt{n}$, para todo $\omega \rightarrow \infty$ com $n \rightarrow \infty$.*

924 Com a codificação que temos para grafos, obtemos de McDiarmid que

$$\mathbb{P}(|Y - \mathbb{E}(Y)| \geq t) \leq 2 \exp \left\{ -\frac{2t^2}{\binom{n}{2}} \right\}.$$

925 Isso não nos fala muito: para que a exponencial tenda a zero, precisamos que $t^2 \gg n^2$.

926 Considere a seguinte codificação alternativa. Associe a cada vértice k o conjunto $A_k =$
 927 $\mathcal{P}(\{\{i, k\} : i < k\})$, de todos os conjuntos possíveis de arestas entre k e algum vértice anterior.
 928 Existe uma relação biunívoca entre $x \in \prod A_k$ e $G_x = G([n], E)$: basta tomar $E = \bigcup x_k$. Observe
 929 que $f(x) = \chi(G_x)$ continua sendo uma função 1-lipschitz, uma vez que diferir em uma única
 930 coordenada equivale a adicionar ou remover arestas todas vizinhas a um mesmo vértice. Por
 931 McDiarmid, obtemos

$$\mathbb{P}(|\chi(G(n, p)) - \mu| \geq t) \leq 2 \exp \left\{ -\frac{2t^2}{n-1} \right\},$$

932 cujo lado direito tende a zero com $\frac{t}{\sqrt{n}} \rightarrow \infty$.

933 3.4. Aula 14 de maio de 2018. ¹⁶

934 *Problema básico:* $\chi(G(n, \frac{1}{2})) = ?$

935 **Fato 99.** *Sabemos (pelo método do 1º momento) que $\chi(G(n, \frac{1}{2})) \geq (\frac{1}{2} + o(1)) \frac{n}{\log_2(n)}$, pois*
 936 $\alpha(G(n, \frac{1}{2})) \leq (2 + o(1)) \log_2(n)$.

937 **Teorema 100** (Grimmett & McDiarmid '75). $\chi(G(n, \frac{1}{2})) \leq (1 + o(1)) \frac{n}{\log_2(n)}$.

¹⁶Notas produzidas por Rafael Zuolo e André Nakazawa

Teorema 101 (Bollobás '88).

$$\chi(G(n, 1/2)) = (1/2 + o(1)) \frac{n}{\log_2(n)}$$

938 Ademais, se $0 < p < 1$ é constante, então

$$\chi(G(n, p)) = (1/2 + o(1)) \frac{n}{\log_b(n)},$$

939 onde $b = \frac{1}{1-p}$.

940 *Demonstração.* (Teorema 101): aplicação de martingais.

$$\text{Objetivo: } \chi(G(n, 1/2)) \leq (1/2 + o(1)) \frac{n}{\log_2(n)}.$$

941 Basicamente, queremos provar que, para todo $\varepsilon > 0$,

$$\mathbb{P}(\alpha(G(n, 1/2)) < (2 - \varepsilon) \log_2(n)) \ll 2^{-n^{2+o(1)}}.$$

942 Seja X_k o número de conjuntos independentes de cardinalidade k em $G(n, 1/2)$. Temos $\mu_k =$

943 $\mathbb{E}(X_k) = \binom{n}{k} 2^{-\binom{k}{2}}$. Se $k \ll \sqrt{n}$, então, pela fórmula de Stirling temos que

$$\mu_k = n^k \frac{\prod_{j=0}^{k-1} (1 - j/n)}{(1 + o(1)) (k/e)^k \sqrt{2\pi k}} 2^{-k(k-1)/2} \sim \left(\frac{1}{(2\pi k)^{\frac{1}{2k}}} \frac{en}{k} 2^{-(k-1)/2} \right)^k = \bar{\mu}(k),$$

944 pois $\prod_{j=0}^{k-1} (1 - j/n) \sim 1$. Suponha $x \in \mathbb{R}$ tal que $\bar{\mu}(x)^{1/x} = 1$. Então, como $(2\pi x)^{\frac{1}{2x}} = 1 + o(1)$,

945 segue que

$$n = (1 + o(1)) \frac{x}{e} 2^{(x-1)/2} = (1 + o(1)) 2^{(x-1)/2 + \log_2(x/e)} = (2^{\frac{1}{2}})^{x(1+o(1))}.$$

946 Assim, $x = (2 + o(1)) \log_2(n)$. Ademais, temos

$$\frac{\mu_k}{\mu_{k-1}} = \frac{\binom{n}{k}}{\binom{n}{k-1}} 2^{-\binom{k}{2} + \binom{k-1}{2}} = \frac{n-k+1}{k} \frac{1}{2^{k-1}}$$

947 Se $k \sim (2 + o(1)) \log_2(n)$, então

$$\frac{\mu_k}{\mu_{k-1}} \sim \frac{n}{k} \frac{2}{2^k} \sim \frac{n}{2 \log_2(n)} \frac{2}{n^{2+o(1)}} = n^{-1+o(1)}.$$

948 Seja $k_0 = k_0(n)$ tal que $\mu_{k_0-1} \geq 1 > \mu_{k_0}$. Teríamos $\mu_{k_0} \geq n^{-1+o(1)}$ e, assim, $\mu_{k_0-4} \geq n^{3+o(1)}$.

949 Definimos $k = k(n) = k_0 - 4$. Temos $k \sim 2 \log_2(n)$.

950 **Lema 102.** $\mathbb{P}(X_k = 0) = \mathbb{P}(\alpha(G(n, 1/2)) < k) \leq \exp\left\{-\frac{n^2}{32(\log_2(n))^4}\right\}$.

Demonstração. Usando Janson: $\mathbb{P}(X_k = 0) \leq \exp\{-\mu_k^2/\bar{\Delta}\}$ onde, tomando $V = V(G(n, 1/2))$,

$$\bar{\Delta} = \sum_{\substack{A \subseteq V \\ |A|=k}} \sum_{\substack{B \subseteq V \\ |B|=k \\ \binom{A}{2} \cap \binom{B}{2} \neq \emptyset}} \mathbb{E}(I_A I_B)$$

em que, dado $A \subseteq V$, definimos $I_A = \{A \text{ é independente}\}$. Seja

$$\Delta = \frac{1}{2} \sum_{\substack{A \subseteq V \\ |A|=k}} \sum_{\substack{A \neq B \subseteq V \\ |B|=k \\ \binom{A}{2} \cap \binom{B}{2} \neq \emptyset}} \mathbb{E}(I_A I_B).$$

951 Temos $\bar{\Delta} = \mu_k + 2\Delta$.

Fato 103.

$$\Delta = \left(\frac{1}{2} + o(1)\right) \mu_k^2 \frac{k^4}{n^2}$$

Demonstração.

$$2\Delta = \sum_{\substack{A \subseteq V \\ |A|=k}} \sum_{\substack{A \neq B \subseteq V \\ |B|=k \\ \binom{A}{2} \cap \binom{B}{2} \neq \emptyset}} \mathbb{P}(I_A I_B = 1) = \sum_{\substack{A \subseteq V \\ |A|=k}} \sum_{i=2}^{k-1} \binom{k}{i} \binom{n-k}{k-i} 2^{-(2\binom{k}{2} - \binom{i}{2})} = \binom{n}{k} 2^{-\binom{k}{2}} \Delta^*,$$

952 tomando $\Delta^* = \sum_{2 \leq i < k} \binom{k}{i} \binom{n-k}{k-i} 2^{-\binom{k}{2} + \binom{i}{2}}$.

Assim, temos

$$\frac{\Delta^*}{\mu_k} = \sum_{2 \leq i < k} \frac{\binom{k}{i} \binom{n-k}{k-i}}{\binom{n}{k}} 2^{\binom{i}{2}}$$

. Considere $g(i) = \frac{\binom{k}{i} \binom{n-k}{k-i}}{\binom{n}{k}} 2^{\binom{i}{2}}$, de modo que $\frac{\Delta^*}{\mu_k} = \sum_{2 \leq i < k} g(i)$. Temos

$$g(2) = \frac{\binom{k}{2} \binom{n-k}{k-2}}{\binom{n}{k}} 2^{\binom{2}{2}} = \frac{\binom{k}{2} \binom{n-k}{k-2}}{\frac{n(n-1)}{k(k-1)} \binom{n-2}{k-2}} \sim \frac{k^4}{n^2}$$

e

$$g(k-1) = \frac{\binom{k}{k-1} \binom{n-k}{k-(k-1)}}{\binom{n}{k}} 2^{\binom{k-1}{2}} = \frac{k(n-k)}{\binom{n}{k}} \frac{2^{-(k-1)}}{2^{-\binom{k}{2}}} = (2 + o(i)) \frac{kn2^{-k}}{\mu_k}.$$

953 Observe que $g(i)$ é convexo.

954 **Fato 104.** $\max\{g(i) : 2 \leq i < k\} = \max\{g(2), g(k-1)\}$

Demonstração. Temos que $\frac{g(3)}{g(2)}$, $\frac{g(4)}{g(3)}$, $\frac{g(n-3)}{g(n-2)}$ e $\frac{g(n-2)}{g(n-1)}$ são $O(\frac{k^2}{n})$, sendo que $\frac{k^2}{n} < 1$ para n suficientemente grande. Ademais, se $5 \leq i \leq k-4$, temos

$$\frac{g(i+1)g(i-1)}{g(i)^2} = 2 \left(\frac{k-i}{k-i+1} \right)^2 \frac{i}{i+1} \frac{n-2k+i}{n-2k+i+1} \geq 17/16 > 1.$$

955

□

956 Portanto, $g(2) \sim \frac{(2 \log_2 n)^4}{n^2}$ e $g(k-1) \sim \frac{n 2^{-(2+o(1)) \log_2 n}}{n^3 + o(1)} = n^{-4+o(1)}$.

957 Segue então que $\frac{\Delta^*}{\mu_k} = (1+o(1))g(2)$ tendo $\max\{g(i) : 2 \leq i < k\} = g(2)$ e $(k/n^2)g(2) = o(1)$,

958 donde concluímos $\Delta = \left(\frac{1}{2} + o(1) \right) \mu_k^2 \frac{k^4}{n^2}$. □

Por Janson, $\mathbb{P}(\alpha(G(n, 1/2)) < k) = \mathbb{P}(X_k = 0) \leq \exp\{-\frac{\mu_k^2}{\mu_k + 2\Delta}\}$ Como $\mu_k \ll 2\Delta$,

$$\exp\{-\frac{\mu_k^2}{\mu_k + 2\Delta}\} = \exp\{-\frac{\mu_k^2}{(1+o(1))2\Delta}\} = \exp\{-\frac{(1+o(1))n^2}{k^4}\} \leq \exp\{-\frac{n^2}{17(\log_2 n)^4}\},$$

959 concluindo o Lema. □

Se $m = \left\lfloor \frac{n}{(\ln n)^2} \right\rfloor$, então $k = k(m) = k_0(m) - 4 = (2 + o(1)) \log_2 m = (2 + o(1)) \log_2(n)$. Seja $B_W = \{\alpha(G(n, 1/2)[W]) < k(m)\}$, $W \subseteq V = V(G(n, 1/2))$ com $|W| = m$. Temos que

$$\mathbb{P}(B_W) \leq \exp\{-\frac{m^2}{17(\log_2 m)^4}\} = e^{-n^{2+o(1)}}.$$

Assim,

$$\mathbb{P}(\exists W \in V, |W| = m; \alpha(G(n, 1/2)[W]) < k(m)) \leq \binom{n}{m} e^{-n^{2+o(1)}} \leq 2^n e^{-n^{2+o(1)}} = o(1).$$

Seja $G = G^n$ tal que para todo $W \subseteq V(G)$ com $|W| = m$, $\alpha(G[W]) \geq k(m)$. Vimos que $G(n, 1/2)$ é um tal G com probabilidade $1 - o(1)$. Ademais, temos

$$\chi(G) \leq \frac{n}{k(m)} + m = \frac{n}{(2+o(1)) \log_2 n} + \frac{n}{(\log_2 n)^2} = \frac{n}{(2+o(1)) \log_2(n)}.$$

960

□

961 3.5. Aula 16 de maio de 2018. ¹⁷

962 3.5.1. *Prova do teorema de Bollobás via diferenças limitadas.* A demonstração via diferenças
963 limitadas faz uso do seguinte lema crucial:

¹⁷Notas produzidas por Ângelo Lovatto e Rodrigo Enju

964 **Lema 105.** Para $k = k(n)$, temos

$$\mathbb{P}(\alpha(G(n, 1/2)) < k) \leq e^{-n^{2+o(1)}}$$

965 *Demonstração.* (Lema 105)

966 Seja $\mu_k = \binom{n}{k} 2^{-\binom{k}{2}}$ a esperança do número de conjuntos independentes de $G(n, 1/2)$ com k
 967 elementos. Seja $Y_k = \#$ conjuntos independentes com k elementos. Queremos mostrar que

$$\mathbb{P}(Y_k = 0) \leq e^{-n^{2+o(1)}},$$

968 ou seja, quase certamente $\alpha(G(n, 1/2)) \geq k$. Observe que $\mu_k = \mathbb{E}(Y_k) \geq n^{3+o(1)}$.

969 Se Y_k fosse Lipschitz, a prova estaria concluída, porém, note que cada grafo em $G = G^n$ é um
 970 ponto de $\{0, 1\}^{\binom{n}{2}}$, que não tem diferenças limitadas.

971 Bollobás então considera a variável aleatória

$$Z_k = \max\{|\mathcal{F}|: \mathcal{F} \text{ família de } k\text{-conjuntos independentes } 2\text{-a-}2 \text{ pares disjuntos}\}.$$

972 Esta variável aleatória é 1-Lipschitz.

973 Queremos mostrar que $\lambda = \mathbb{E}(Z_k) \geq n^{2+o(1)}$. Note que se isto vale, então por McDiarmid, o
 974 lema 105 vale.

975 De fato, $\lambda = \mathbb{E}(Z_k) \geq cn^2/(\log_2 n)^4$. □

Fato 106.

$$\lambda = \mathbb{E}(Z_k) \geq c \frac{n^2}{(\log_2 n)^4}$$

976 *Demonstração.* (Fato 106)

977 Pomos

$$\Delta = \frac{1}{2} \sum_{A^k} \sum_{\substack{B^k \neq A \\ |A \cap B| \geq 2}} \mathbb{E}(\mathbb{1}_A \mathbb{1}_B) \sim \frac{1}{2} \mu^2 \frac{k^4}{n^2},$$

978 onde $\mu = \mu_k$.

979 Seja $\mathbb{1} = \mathbb{1}^k$ uma família de k -conjuntos independentes em $G(n, 1/2)$. Seja também

$$\mathcal{P} = \{\{A, B\} : A, B \in \mathbb{1}^k, A \neq B, |A \cap B| \geq 2\}.$$

980 Seja $0 < q < 1$ e considere $\mathbb{1}' = \mathbb{1}_q \subseteq \mathbb{1}$. Seja

$$\mathcal{P}' = \{\{A, B\} : A, B \in \mathbb{1}_q, A \neq B, |A \cap B| \geq 2\}.$$

981 Para cada dois conjuntos de $\mathbb{1}'$ com 2 ou mais elementos em comum, podemos remover um
 982 dos conjuntos, obtendo uma família de conjuntos disjuntos. Portanto, temos

$$Z_k \geq |\mathbb{1}'| - |\mathcal{P}'|.$$

983 Temos que $\mathbb{E}(|\mathbb{1}'|) = \mu_k q$. Ademais, $\mathbb{E}(|\mathcal{P}'|) = \Delta q^2$, pois note que $\Delta = \mathbb{E}(|\mathcal{P}|)$, e cada elemento
 984 sobrevive com probabilidade q , logo cada par sobrevive com probabilidade q^2 . Então

$$\Delta q^2 \sim \frac{1}{2} \mu^2 \frac{k^4}{n^2} q^2.$$

985 Assim, $\mathbb{E}(Z_k) \geq \mathbb{E}(|\mathbb{1}'|) - \mathbb{E}(|\mathcal{P}'|) = \mu_k q - \Delta q^2 = (\mu_k - \Delta q)q$

986 Tomamos $q = \mu_k / 2\Delta \ll 1$. Concluimos que

$$\begin{aligned} \mathbb{E}(Z_k) &= \mathbb{E}(Z_k) \geq q \frac{\mu_k}{2} = \frac{\mu_k^2}{4\Delta} \\ &\sim \frac{\mu_k^2}{(2\mu_k^2 k^2 / n^2)} \\ &= \frac{1}{2} \frac{n^2}{k^2} \sim \frac{1}{32} \frac{n^2}{(\log_2(n))^4}. \end{aligned}$$

987

□

988 3.5.2. *Concentração de χ e ω .*

989 (1) Concentração de ω .

990 Seja $0 < p < 1$ fixo. Existe uma função inteira $r = r_p(n)$ tal que

$$\lim_{n \rightarrow \infty} \mathbb{P}(r - 1 \leq \omega(G(n, p)) \leq r) = 1.$$

991 Ou seja, ω está concentrado em dois valores.

992 **Observação 107.** $r \sim 2 \log_b(n)$, $b = 1/p$.

993 Vamos observar que provamos algo um pouco mais fraco. Seja k_0 tal que $\mu_{k_0} - 1 \geq 1 \geq \mu_{k_0}$ e

994 $k = k_0 - 4$. Temos que

$$\mathbb{P}(\omega < k) \rightarrow 0(n \rightarrow \infty).$$

995 Isto é, $\omega \geq k$ quase sempre. Por outro lado, $\mu_{k_0+1} = n^{-1+o(1)}$, logo $\mu_{k_0} \leq n^{-1+o(1)}$. Assim,

$$\mathbb{P}(\omega \geq k_0 + 1) \rightarrow 0(n \rightarrow \infty).$$

996 Concluimos que $k_0 - 4 \leq \omega \leq k_0$ vale com probabilidade tendendo a 1, conforme $n \rightarrow \infty$.

997 (2) Concentração de χ .

998 Seja a VA X a concentração com largura $\mathbb{1} = \mathbb{1}(n, p)$, se existe $u = u(n, p)$ tal que

$$999 \lim_{n \rightarrow \infty} \mathbb{P}(u \leq X(G(n, p)) \leq u + s) = 1.$$

1000 **Teorema 108.** (*Shamir e Spencer, 1987*)

1001 *Suponha $p = p(n) = n^{-\alpha}$, onde $0 < \alpha < 1$ é uma constante.*

1002 (i) *Se $0 < \alpha < 1/2$, então $\chi(G(n, p))$ está concentrado em largura $s = n^{-\alpha+1/2}\omega(n)$, para*
1003 *uma função ω que tende para ∞ quando $n \rightarrow \infty$.*

1004 (ii) *Se $1/2 < \alpha < 1$, então $\chi(G(n, p))$ está concentrado em um intervalo com*
1005 *$s = \lfloor (2\alpha + 1)/(2\alpha - 1) \rfloor$ inteiros.*

1006 **Observação 109.** Para $\alpha > 1/2$, de fato $\chi(G(n, p))$ é concentrado em dois valores (Tuczale
1007 (91), Alon e Krivelevich (97)).

1008 *Demonstração.* (Teorema 108) - Técnica de Frieze/Tuczale.

1009 Seja $\omega = \omega(n) \rightarrow \infty$ arbitrário. Seja $u = u(n)$ o menor inteiro tal que $\mathbb{P}(\chi(G(n, p)) \leq u) \geq 1/\omega$.

1010 Dado $G = G^n$, seja $f(G)$ o tamanho mínimo de um conjunto de vértices $W \subseteq V(G)$ tal que
1011 $\chi(G - W) \leq u$. Então tomamos $Z = f(G(n, p))$.

1012 Observe que f é 1-Lipschitz em relação à codificação $G \leftrightarrow x \in \prod_{k=2}^n A_k$.

1013 Assim,

$$\mathbb{P}(|Z - \mathbb{E}(Z)| \geq t) \leq 2e^{-2t^2/n}.$$

1014

1015 Temos

$$\frac{1}{\omega} \leq \mathbb{P}(\chi(G(n, p)) \leq u) \leq \mathbb{P}(Z = 0) \leq 2e^{-2\mu^2/2},$$

1016 onde $\mu = \mathbb{E}(Z)$. Assim, reordenando os termos, temos que $\mu < \omega n^{1/2}$ para n grande.

1017 Portanto,

$$\mathbb{P}(Z \geq 2\omega n^{1/2}) \leq e^{-\frac{2(n^{1/2}\omega)^2}{n}} \rightarrow 0,$$

1018 pois $\omega(n) \rightarrow \infty$ ($n \rightarrow \infty$). E assim, $\mathbb{P}(\chi(G(n, p) - W) \leq u$ para algum $|W| < 2n^{1/2}\omega) = 1 - o(1)$.

1019 Segue que $\mathbb{P}(u \leq \chi(G(n, p))) \leq u + 2n^{1/2}\omega) = 1 + o(1)$, pois podemos colorir cada vértice de W
1020 com uma nova cor.

1021 E o lema a seguir mostra W pode ser colorido com até s cores, logo $\mathbb{P}(u \leq \chi(G(n, p))) \leq u + s) =$
1022 $1 + o(1)$. □

1023 **Lema 110.** *Quase certamente, $G(n, p)$ é tal que para todo $W \subseteq V(G(n, p))$, com $|W| \leq 2n^{1/2}\omega$,*
1024 *temos que $\chi(G(n, p)[W]) \leq s$, onde s é tal como no teorema 108.*

1026 3.6.1. *Lema da aula passada.* Na última aula provamos que o número cromático de $G(n, p)$, com
 1027 $p = n^{-\alpha}$, $0 < \alpha < 1$ constante, é concentrado com largura s , onde

- 1028 • $s = n^{1/2-\alpha}\omega$ se $\alpha < \frac{1}{2}$
- 1029 • $s = \lfloor \frac{2\alpha+1}{2\alpha-1} \rfloor$ se $\alpha > \frac{1}{2}$

1030 com $\omega \rightarrow \infty$ e $W \subseteq V(G(n, p))$, $|W| \leq \omega\sqrt{n}$.

1031 Para isso, ficou faltando provar o seguinte lema, que provaremos agora:

1032 **Lema 111.** *Suponha $p = n^{-\alpha}$, $0 < \alpha < 1$ constante e $\omega \rightarrow \infty$.*

1033 *Quase todo $G(n, p)$ tem a seguinte propriedade:*

- 1034 • $\forall W \subseteq V = V(G(n, p))$ com $|W| \leq \omega\sqrt{n}$, $\delta(G[W]) \leq s - 1$, onde:

1035 (1) Se $\alpha < \frac{1}{2}$, $s = 3n^{1/2-\alpha}\omega$

1036 (2) Se $\alpha > \frac{1}{2}$ e $\omega \leq \log n$, $s = \lfloor \frac{2\alpha+1}{2\alpha-1} \rfloor$

1037 *Demonstração.* Vamos estimar a quantidade esperada de $W \subseteq V$ com $|W| \leq \omega\sqrt{n}$ e $\delta(G[W]) \geq s$
 1038 e mostrar que esse número é $o(1)$.

Tal número é:

$$\begin{aligned} &\leq \sum_{s < t \leq \omega\sqrt{n}} \binom{n}{t} \binom{\binom{t}{2}}{st/2} p^{st/2} \\ &\leq \sum_t \left(\frac{en}{t}\right)^t \left(\frac{et^2/2}{st/2} p\right)^{st/2} \\ &= \sum_t \left(\frac{en}{t} \frac{e^{s/2} t^{s/2}}{s^{s/2}} n^{-\alpha s/2}\right)^t \\ &= \sum_t \left(\frac{en}{t} \frac{e^{s/2} t^{s/2}}{s^{s/2}} n^{-\alpha s/2}\right)^t \\ &= \sum_t \left(e \frac{e^{s/2}}{2} n^{1-\alpha s/2} t^{s/2-1}\right)^t \end{aligned}$$

1039 Seja $b(t) = e \frac{e^{s/2}}{2} n^{1-\alpha s/2} t^{s/2-1}$

1040 $b(t)$ cresce com t , pois $s \geq 3$.

Para $t_0 = \omega/\sqrt{n}$, temos:

$$\begin{aligned} b(t_0) &= e \left(\frac{e}{2}\right)^{\frac{s}{2}} \omega^{\frac{s}{2}-1} n^{1-\alpha \frac{s}{2} + \frac{1}{2}(\frac{s}{2}-1)} \\ &= e \left(\frac{e}{2}\right)^{\frac{s}{2}} \omega^{\frac{s}{2}-1} n^{\frac{1}{2} - (\alpha - \frac{1}{2})\frac{s}{2}} \end{aligned}$$

¹⁸Notas produzidas por Gabriel Lasso e Rodrigo Enju

1041 • Suponha que $\alpha > \frac{1}{2}$

Temos

$$\frac{1}{2} - \left(\alpha - \frac{1}{2}\right) \frac{s}{2} < 0 \iff$$

$$\frac{1}{2} < \left(\alpha - \frac{1}{2}\right) \frac{s}{2} \iff$$

$$1 < \left(\alpha - \frac{1}{2}\right) s \iff$$

$$2 < (2\alpha - 1)s \iff$$

$$s > \frac{2}{(2\alpha - 1)}$$

Tomando o menor $s \in \mathbb{N}$ tal que $s > \frac{2}{(2\alpha - 1)}$, temos

$$s = \lfloor \frac{2}{2\alpha - 1} + 1 \rfloor = \lfloor \frac{2\alpha + 1}{2\alpha - 1} \rfloor$$

1042 Como $\omega < \log n$, para algum $\varepsilon > 0$ vale que $b(\omega\sqrt{n}) \leq n^{-\varepsilon} \rightarrow 0$.

Assim, como

$$b(s) \leq b(s+1) \leq \dots \leq b(\omega\sqrt{n}) = n^{-\varepsilon}$$

Vale que

$$\sum_{s < t \leq \omega\sqrt{n}} b(t)^t \leq \sum_{s < t \leq \omega\sqrt{n}} n^{-\varepsilon t} \leq 2b(s)^s \leq 2n^{-\varepsilon s} = o(1)$$

1043 • Suponha agora que $\alpha < \frac{1}{2}$

Temos

$$b(t_0) = \frac{e}{\omega} \left(\frac{e\omega}{2}\right)^{\frac{s}{2}} n^{\frac{1}{2} + (\frac{1}{2} - \alpha)\frac{s}{2}}$$

Se $s = 3n^{1/2 - \alpha}\omega$, então

$$b(t_0) = \frac{e}{\omega} \left(\frac{e}{3}\right)^{\frac{s}{2}} n^{\frac{1}{2}}$$

Tomando o \log dos dois lados:

$$\log b(t_0) = \log \frac{e}{\omega} - \frac{s}{2} \log \left(\frac{3}{e}\right) + \frac{1}{2} \log n \rightarrow -\infty$$

1044 Logo $b(t_0) \rightarrow 0$ e, pelo mesmo motivo do caso anterior, $\sum_t b(t)^t = o(1)$.

1045

□

1046 3.6.2. *Martingais*. Preliminares

1047 Um espaço de probabilidade é uma tripla $(\Omega, \mathcal{F}, \mathbb{P})$ tal que:

1048 • Ω é um conjunto chamado espaço amostral.

1049 • \mathcal{F} é uma σ -álgebra sobre Ω , isto é, \mathcal{F} é uma coleção de subconjuntos de Ω tal que:

- 1050 (1) $\emptyset \in \mathcal{F}$
 1051 (2) $A \in \mathcal{F} \Rightarrow \Omega \setminus A \in \mathcal{F}$ (Fechado por complemento)
 1052 (3) $\{E_i\}_{i \in \mathbb{N}} \subseteq \mathcal{F} \Rightarrow \bigcup_i E_i \in \mathcal{F}$ para toda coleção enumerável de elementos de \mathcal{F} $\{E_i\}_{i \in \mathbb{N}}$
 1053 (Fechado por união enumerável).

1054 Obs: É fácil mostrar que o fecho por interseção é equivalente ao fecho por união.

1055 • \mathbb{P} é uma função $\mathcal{F} \rightarrow \mathbb{R}^+$ respeitando:

- 1056 (1) $\mathbb{P}(\emptyset) = 0$.
 1057 (2) $\mathbb{P}(\bigcup_i E_i) = \sum_i \mathbb{P}(E_i)$ para toda coleção enumerável de elementos de \mathcal{F} $\{E_i\}_{i \in \mathbb{N}}$
 1058 disjuntos dois a dois.
 1059 (3) $\mathbb{P}(\Omega) = 1$.

1060 Para nós, na vasta maioria dos casos, $|\Omega| < \infty$ e $\mathcal{F} = 2^\Omega$.

1061 Vamos supor nessa seção que $|\Omega| < \infty$.

1062 Se \mathcal{F} é uma σ -álgebra, os membros não vazios minimais de \mathcal{F} formam uma partição de Ω .
 1063 Reciprocamente, dada uma partição de Ω , podemos definir uma σ -álgebra \mathcal{F} associada a essa
 1064 partição.

1065 **Portanto podemos identificar σ -álgebras sobre Ω com partições de Ω .**

1066 Seja X uma variável aleatória e \mathcal{F} uma σ -álgebra sobre Ω . Dizemos que X é \mathcal{F} **mensurável**
 1067 se X é constante nos blocos da partição associada à \mathcal{F} .

1068 Seja X uma variável aleatória e \mathcal{F} uma σ -álgebra sobre Ω . Definimos a esperança condicional
 1069 $\mathbb{E}(X|\mathcal{F})$ como a variável aleatória \mathcal{F} mensurável tal que

1070 $\mathbb{E}(X|\mathcal{F})(\omega) =$ esperança de X no espaço condicional B_λ onde $\omega \in B_\lambda$ e $(B_\lambda)_{\lambda \in \Lambda}$
 1071 é a partição associada à Ω .

1072 Note que $\mathbb{E}(X) = \mathbb{E}(\mathbb{E}(X|\mathcal{F}))$.

1073 Se \mathcal{Y} é uma σ -álgebra, definimos $\sigma(\mathcal{Y})$ como sendo a σ -álgebra associada à partição $(Y^{-1}(x))_{x \in \mathbb{R}}$.

1074 Finalmente, $\mathbb{E}(X|\mathcal{Y}) = \mathbb{E}(X|\sigma(\mathcal{Y}))$

1075 Um **filtro** é uma sequência $(\mathcal{F}_0, \mathcal{F}_1, \mathcal{F}_2, \dots)$ tal que $\{\emptyset, \Omega\} = \mathcal{F}_0 \subseteq \mathcal{F}_1 \subseteq \mathcal{F}_2 \subseteq \dots$

1076 Se $(P_i)_{i \in \mathbb{N}}$ são as partições associadas, então dizemos que P_i refina P_{i-1} .

1077 Fixe um filtro $(\mathcal{F}_0, \mathcal{F}_1, \mathcal{F}_2, \dots)$.

1078 Um **martingal** é uma sequência de variáveis aleatórias $(X_i)_{i \in \mathbb{N}}$ tal que $\mathbb{E}(X_i|\mathcal{F}_{i-1}) = X_{i-1}$.

1079 Uma **sequência de diferenças de martingais (sdm)** é uma sequência de variáveis aleatória
 1080 $(Y_i)_{i \in \mathbb{N} \setminus \{0\}}$ tal que Y_i é \mathcal{F}_i mensurável e $\mathbb{E}(Y_i|\mathcal{F}_{i-1}) = 0$.

1081 **Observação 112.** Seja (X_0, X_1, \dots) um martingal. Então $(Y_1 = X_1 - X_0, Y_2 = X_2 - X_1, \dots)$ é
 1082 uma sdm.

1083 *Demonstração.* Fixe i .

1084 Como X_i e X_{i-1} são \mathcal{F} mensuráveis (X_{i-1} é \mathcal{F}_{i-1} mensurável, o que é mais forte), então Y_i
1085 também é \mathcal{F} mensurável.

$$\begin{aligned}\mathbb{E}(Y_i|\mathcal{F}_{i-1}) &= \\ \mathbb{E}(X_i - X_{i-1}|\mathcal{F}_{i-1}) &= \\ \mathbb{E}(X_i|\mathcal{F}_{i-1}) - \mathbb{E}(X_{i-1}|\mathcal{F}_{i-1}) &= \\ X_{i-1} - X_{i-1} &= 0\end{aligned}$$

1086

□

1087 **Observação 113.** Se X_0 é uma constante e (Y_1, Y_2, \dots) é uma sdm, então $(X_0, X_0 + Y_1, X_0 +$
1088 $Y_1 + Y_2, \dots)$ é um martingal.

1089 *Demonstração.* Fixe i .

$$\begin{aligned}\mathbb{E}(X_i|\mathcal{F}_{i-1}) &= \\ \mathbb{E}(X_{i-1} + Y_i|\mathcal{F}_{i-1}) &= \\ \mathbb{E}(X_{i-1}|\mathcal{F}_{i-1}) + \mathbb{E}(Y_i|\mathcal{F}_{i-1}) &= \\ \mathbb{E}(X_{i-1}|\mathcal{F}_{i-1}) &= X_{i-1}\end{aligned}$$

1090

□

1092 **Parte 3. TÓPICOS AVANÇADOS**

1093 **3.7. Aula 6 de junho de 2018.** ¹⁹

1094 **3.7.1. Circuitos 0 (mod k).**

1095 **Definição 114.** *Seja $D = (V, E)$, com $V \neq \emptyset$, grafo dirigido (digrafo) e $E \subseteq V \times V$. Vamos*
1096 *sempre considerar grafos dirigidos sem laços nesta seção, isto é, $\forall v \in V, (v, v) \notin E$. Definimos,*
1097 *para D digrafo e $x \in V$:*

1098 $d^+(x) = \text{grau de saída de } x = |\{(x, y) \in E : y \in V\}|$

1099 $d^-(x) = \text{grau de entrada de } x = |\{(y, x) \in E : y \in V\}|$

1100 $\Delta^+(D) = \max_{x \in V} \{d^+(x)\}$

1101 $\Delta^-(D) = \max_{x \in V} \{d^-(x)\}$

1102 $\delta^+(D) = \min_{x \in V} \{d^+(x)\}$

1103 $\delta^-(D) = \min_{x \in V} \{d^-(x)\}$

1104 *E dizemos que D é d -regular para algum $d \in \mathbb{N}$ se $\Delta^+(D) = \Delta^-(D) = \delta^+(D) = \delta^-(D) = d$.*

1105 **Teorema 115** (Alon & Linial. 1989). *Seja D um digrafo e $k \geq 2$, inteiro. Se*

$$e(\Delta^-(D)\delta^+(D) + 1)(1 - 1/k)^{\delta^+(D)} \leq 1$$

1106 *então D contém um circuito de comprimento $\equiv 0 \pmod k$.*

1107 **Observação 116.** *Fixe $k = 2$, e suponha D digrafo d -regular. Se $d \geq 8$, então, segue do*
1108 *Teorema 115 que D contém um circuito (de comprimento) par. Ademais, sabe-se que podemos*
1109 *impor restrições mais fracas a d . Friedland mostrou que $d \geq 7$ é suficiente e, posteriormente,*
1110 *Thomassen conseguiu provar o mesmo resultado para $d \geq 3$.*

1111 **Observação 117.** *Em 1975, Lovász questionou a existência de um k tal que todo digrafo D*
1112 *com $\delta^+(D) \geq k$ contivesse um circuito par. A inexistência de tal k foi provada por Thomassen*
1113 *em 1985, com a demonstração de que para qualquer escolha de k existe um D com $\delta^+(D) \geq k$*
1114 *tal que D não contém circuito par. Todavia, também foi mostrado por Thomassen que, para*
1115 *$D = D^n$, se $\delta^+(D) \geq \lfloor \log_2 n \rfloor + 1$ então podemos garantir que D contém circuito par.*

1116 **Corolário 118.** *Para todo digrafo D e $k \geq 2$, se*

$$\Delta^-(D) \leq \frac{1}{e\delta^+(D)} \left(\left(\frac{k}{k-1} \right)^{\delta^+(D)} - e \right)$$

¹⁹Notas produzidas por André Nakazawa e REVISOR?

1117 então D contém um circuito de comprimento $\equiv 0 \pmod k$.

1118 **Corolário 119.** *Todo digrafo D d -regular contém circuito de comprimento $\equiv 0 \pmod k$, para*
 1119 *todo k tal que*

$$2 \leq k \leq \frac{d}{1 + \ln(d^2 + 1)}.$$

1120 **Lema 120.** *Seja D um grafo dirigido, e $k \geq 2$, inteiro. Suponha que existe uma função*
 1121 *$f : V(D) \rightarrow \mathbb{Z}/k\mathbb{Z}$ tal que para todo vértice $v \in V = V(D)$ existe um vértice $u \in \Gamma^+(v) = \{u \in$*
 1122 *$V : (v, u) \in E\}$ com $f(u) = f(v) + 1 \pmod k$. Então D contém um circuito de comprimento*
 1123 *$\equiv 0 \pmod k$.*

1124 *Demonstração.* Considere uma sequência de vértices $s = (v_i)_{i \geq 0}$ tal que $v_0 \in V$ é um vértice
 1125 qualquer e para todo $i > 0$ tem-se $v_i \in \Gamma^+(v_{i-1})$ e $f(v_i) = f(v_{i-1}) + 1 \pmod k$. Como V é finito,
 1126 existem $0 \leq i < j$ tais que $v_i = v_j$, logo, tomando j mínimo, temos que $\mathcal{C} = (v_i, v_{i+1}, \dots, v_j)$ é
 1127 circuito em D . Além disso, o comprimento de \mathcal{C} é $\equiv 0 \pmod k$ pois, caso contrário, teríamos
 1128 $f(v_i) \neq f(v_j) \pmod k$ pela construção de s . □

1129 *Demonstração.* (Teorema 115). Sem perda de generalidade, tomamos $\delta^+(D) = \Delta^+(D)$. Escolhe-
 1130 mos $f : V(D) \rightarrow \mathbb{Z}/k\mathbb{Z}$ ao acaso, com $f(v) \in_u \mathbb{Z}/k\mathbb{Z}$ independente entre todos os vértices $v \in V$.
 1131 Para todo $v \in V$ considere o evento $A_v = \{f(u) \neq f(v) + 1 \pmod k, \forall u \in \Gamma^+(v)\}$, que impediria
 1132 a aplicação do Lema anterior. Pela uniformidade da escolha de f temos que

$$\mathbb{P}(A_v) = \mathbb{P}(f(u) \neq f(v) + 1 \pmod k)^{|\Gamma^+(v)|} = (1 - 1/k)^{\delta^+(D)}.$$

1133 Seja G o grafo de dependência para os eventos $A_v, v \in V$. Como para todo $v \in V$ temos que A_v
 1134 é independente de A_u se $u \in U_v$, onde

$$U_v = \{u \in V \setminus \{v\} : (\{u\} \cup \Gamma^+(u)) \cap \Gamma^+(v) = \emptyset\},$$

1135 segue que $\Delta^+(G) \leq \Delta^-(D)\delta^+(D)$, pois para todo $v \in V$

$$|(V \setminus \{v\}) \setminus U_v| \leq |\Gamma^+(v)| + \left| \bigcup_{w \in \Gamma^+(v)} \Gamma^-(w) \setminus \{v\} \right| \leq \Delta^-(D)\delta^+(D),$$

1136 onde $\Gamma^-(v) = \{u \in V : (u, v) \in E\}$. Logo, pelo Corolário 2 do LLL conclui-se o resultado do
 1137 Teorema. □

1138

§4. LEMA LOCAL DE LOVÁSZ

1140 4.1.1. Um fato importante.

1141 **Fato 121** (Princípio da Independência Mútua). *Seja \mathcal{P} um conjunto finito de variáveis aleatórias*
 1142 *mutuamente independentes num mesmo espaço de probabilidade. Suponha que todo evento de \mathcal{A}*
 1143 *é determinado por um subconjunto dessas variáveis. Para cada evento $A \in \mathcal{A}$, denote por $\text{vbl}(A)$*
 1144 *um conjunto minimal das variáveis de \mathcal{P} que determina A . Defina também*

$$\Gamma(A) := \{B \in \mathcal{A} : \text{vbl}(B) \cap \text{vbl}(A) \neq \emptyset\}.$$

1145 *Então A é mutuamente independente de todos os eventos em $\mathcal{A} \setminus (\Gamma(A) \cup \{A\})$. Em outras*
 1146 *palavras, o digrafo $D = (\mathcal{A}, E)$ com conjunto de arestas $E := \{(A, B) : A \in \mathcal{A}, B \in \Gamma(A)\}$ é um*
 1147 *digrafo de dependência para \mathcal{A} . Note que nesse caso o digrafo é simétrico e, portanto, podemos*
 1148 *também falar de um grafo de dependência. \square*

1149 4.1.2. *Cenário geral.* Para conseguir uma versão algoritmica do LLL, Moser e Tardos conside-
 1150 raram um cenário levemente modificado do Lema Local de Lovász, mas que ainda é válido na
 1151 maior parte das aplicações conhecidas.

1152 Seja \mathcal{P} um conjunto finito de variáveis aleatórias mutuamente independentes num mesmo
 1153 espaço de probabilidade. Suporemos que todo evento de \mathcal{A} é determinado por um subconjunto
 1154 dessas variáveis. Diremos que uma atribuição de valores para as variáveis de \mathcal{P} *viola* o evento
 1155 $A \in \mathcal{A}$ se essa atribuição faz com que A aconteça. Para cada evento $A \in \mathcal{A}$, denote por $\text{vbl}(A)$
 1156 um conjunto minimal das variáveis de \mathcal{P} que determina A . Defina também

$$\Gamma(A) := \{B \in \mathcal{A} : \text{vbl}(B) \cap \text{vbl}(A) \neq \emptyset\},$$

1157 e $\Gamma^+(A) := \Gamma(A) \cup A$.

1158 Seja D o digrafo com conjunto de vértices \mathcal{A} e tal que a vizinhança de um evento A é $\Gamma(A)$.
 1159 Pelo Princípio da Independência Mútua (Fato 121), temos que A é mutuamente independente de

²⁰Notas produzidas por Bruno Pasqualotto Cavalari e Gabriel Ferreira Barros.

1160 todos os eventos em $\mathcal{A} \setminus (\Gamma(A) \cup \{A\})$ e D é um digrafo de dependência para \mathcal{A} . O celebrado
 1161 algoritmo de Moser-Tardos é como segue.

Algoritmo 1: Algoritmo de Moser-Tardos

1 **para todo** $P \in \mathcal{P}$ **faça**

2 $v_P \leftarrow$ uma valoração aleatória de P (de acordo com sua distribuição);

3 **enquanto** $\exists A \in \mathcal{A} : A$ é violado quando $(P = v_P : \forall P \in \mathcal{P})$ **faça**

1162

4 escolha um evento violado $A \in \mathcal{A}$ de acordo com alguma regra qualquer fixada;

5 **para todo** $P \in \text{vbl}(A)$ **faça**

6 $v_P \leftarrow$ uma nova valoração aleatória de P (de acordo com sua distribuição);

7 **devolva** $(v_P)_{P \in \mathcal{P}}$

1163 Cada vez que um evento A é escolhido na linha 4 dizemos que ele foi *reamostrado*. Note que
 1164 a eficiência do método depende de que i) o número de reamostragens não é muito grande; ii)
 1165 valores aleatórios para cada variável $P \in \mathcal{P}$ podem ser eficientemente amostrados; iii) verificar (e
 1166 encontrar) a ocorrência de um evento também pode ser feito eficientemente. A versão construtiva
 1167 do LLL de Moser e Tardos trata do primeiro problema.

1168 **Teorema 122** (Moser e Tardos [6]). *Seja \mathcal{P} um conjunto finito de variáveis aleatórias*
 1169 *mutuamente independentes num mesmo espaço de probabilidade e \mathcal{A} uma coleção finita de*
 1170 *eventos determinados por essas variáveis. Se existe uma função $x : \mathcal{A} \rightarrow (0, 1)$ tal que*

$$\mathbb{P}[A] \leq x(A) \prod_{B \in \Gamma(A)} (1 - x(B)) \quad \text{para todo } A \in \mathcal{A},$$

1171 *então existe uma atribuição de valores às variáveis de \mathcal{P} que não viola nenhum dos eventos*
 1172 *de \mathcal{A} . Além disso, o número esperado de reamostragens do evento $A \in \mathcal{A}$ que o algoritmo*
 1173 *aleatório acima faz é no máximo $\frac{x(A)}{1-x(A)}$. Portanto, o número total de amostragens esperado é*
 1174 $\sum_{A \in \mathcal{A}} \frac{x(A)}{1-x(A)}$.

1175 4.1.3. *A prova.* Antes de provarmos o Teorema 122, precisaremos definir alguns conceitos.

1176 **Definição 123.** *Seja $C : \mathbb{N} \rightarrow \mathcal{A}$ uma função que lista os eventos na ordem em que são*
 1177 *reamostrados no algoritmo. Se o algoritmo termina, C é parcialmente definido, apenas até o*
 1178 *número total de reamostragens. Chamamos C de registro do algoritmo.*

1179 **Definição 124.** *Uma árvore-testemunha $\tau = (T, \sigma_\tau)$ é uma árvore finita enraizada T juntamente*
 1180 *com um rotulamento $\sigma_\tau : V(T) \rightarrow \mathcal{A}$ tal que se u é filho de v em T então $\sigma_\tau(u) \in \Gamma^+(\sigma_\tau(v))$.*

1181 *Se filhos distintos de um mesmo vértice sempre recebem rótulos distintos dizemos que a árvore-*
1182 *testemunha é própria. Denotaremos $V(\tau) := V(T)$ e para todo $v \in V(\tau)$ definimos $[v] := \sigma_\tau(v)$.*

1183 Dado um registro C , associaremos com cada passo de reamostragem t uma árvore-testemunha
1184 $\tau_C(t)$ que servirá como “justificativa” para a necessidade desse passo. Definimos $\tau_C^{(t)}(t)$ como
1185 uma árvore com apenas um vértice raiz isolado rotulado com $C(t)$. Então, “voltando no tempo”
1186 pelo registro, para cada $i = t - 1, t - 2, \dots, 1$ distinguimos dois casos:

- 1187 (1) Se existe um vértice $v \in \tau_C^{(i+1)}(t)$ tal que $C(i) \in \Gamma^+([v])$, então escolhemos entre todos
1188 os tais vértices aquele que tem maior distância da raiz, e colocamos um novo filho u para
1189 v que rotulamos $C(i)$, obtendo a árvore $\tau_C^{(i)}(t)$.
1190 (2) Caso contrário, definimos $\tau_C^{(i)} := \tau_C^{(i+1)}(t)$.

1191 Dizemos que uma árvore-testemunha τ ocorre no registro C se existe $t \in \mathbb{N}$ tal que $\tau = \tau_C(t)$.
1192 Para todo vértice $v \in V(\tau)$, denotemos por $d(v)$ a profundidade de v . Definamos também $q(v)$
1193 como o maior $q \in \mathbb{N}$ tal que v está contido em $\tau_C^{(q)}(t)$. Note que, por construção, $C(q(v)) = [v]$.

1194 **Lema 125.** *Sejam C o registro produzido pelo algoritmo e τ uma árvore-testemunha que ocorre*
1195 *em C . Vale que*

- 1196 (1) *Se vértices $u, v \in V(\tau)$ são tais que $d(u) = d(v)$, então $\text{vbl}([u]) \cap \text{vbl}([v]) = \emptyset$.*
1197 (2) *A árvore-testemunha τ é própria.*
1198 (3) *As árvores-testemunha que ocorrem em C são duas-a-duas distintas.*

1199 *Demonstração.* Primeiro, vamos provar os itens i) e ii). Seja τ uma árvore testemunha que
1200 ocorre em C . Para algum $t \in \mathbb{N}$, temos $\tau = \tau_C(t)$.

1201 Sejam $u, v \in V(\tau)$. Note que se $q(u) < q(v)$ e $\text{vbl}([u]) \cap \text{vbl}([v]) \neq \emptyset$, então $d(u) > d(v)$, pois
1202 na construção de $\tau_C(t)$ o vértice u é colocado como filho de v ou de algum outro vértice com
1203 profundidade maior. Desse modo, se $d(u) = d(v)$ então $\text{vbl}([u]) \cap \text{vbl}([v]) = \emptyset$, o que prova
1204 o item i). Disto temos que os rótulos dos filhos de um mesmo vértice formam um conjunto
1205 independente no grafo de dependência. Em particular, segue que τ é própria. Isso prova o
1206 item ii).

1207 Observe agora que, se duas árvores-testemunha tem raízes distintas, então elas são obviamente
1208 diferentes; caso contrário, basta notar que, se t_i é o i -ésimo instante de tempo no qual $C(t_i) = A$,
1209 então $\tau_C(t_i)$ contém i vértices rotulados com o evento A . Isso prova o item iii). \square

1210 Denotemos agora por N_A a variável aleatória que conta o número de vezes que o evento $A \in \mathcal{A}$
1211 foi reamostrado. Defina também \mathcal{T}_A como o conjunto das árvores-testemunha próprias cujas

1212 raízes são rotuladas com o evento A . Pelo Lema 125, temos que

$$N_A = \sum_{\tau \in \mathcal{T}_A} \mathbb{1}[\tau \text{ ocorre em } C],$$

1213 pois a cada aparecimento do evento A no registro C está associada uma única árvore-testemunha
1214 distinta de \mathcal{T}_A que ocorre em C . Logo,

$$\mathbb{E}[N_A] = \sum_{\tau \in \mathcal{T}_A} \mathbb{P}[\tau \text{ ocorre em } C]. \quad (12)$$

1215 Deste modo, para limitar $\mathbb{E}[N_A]$ basta limitar $\mathbb{P}[\tau \text{ ocorre em } C]$ para $\tau \in \mathcal{T}_A$. É disso que trata
1216 o próximo lema.

1217 **Lema 126.** *Seja $\tau \in \mathcal{T}_A$ e C o registro (aleatório) produzido pelo algoritmo. Temos que*

$$\mathbb{P}[\tau \text{ ocorre em } C] \leq \prod_{v \in V(\tau)} \mathbb{P}[[v]].$$

1218 *Demonstração.* Considere o seguinte algoritmo, que chamamos de τ -verificação. Em ordem
1219 de profundidade decrescente (na mesma profundidade a ordem pode ser arbitrária), visitamos
1220 todos os vértices de τ e, para cada $v \in V(\tau)$, atribuímos uma nova valuação aleatória às
1221 variáveis em $\text{vbl}([v])$ (independentemente e de acordo com a distribuição de cada variável) e
1222 verificamos se a valuação resultante viola o evento $[v]$. Se todos os eventos forem violados, dizemos
1223 que a τ -verificação *passou*. Claramente, a τ -verificação passa com probabilidade exatamente
1224 $\prod_{v \in V(\tau)} \mathbb{P}[[v]]$. Aqui argumentaremos que o evento de τ ocorrer em C está contido no evento de
1225 a τ -verificação passar. Claramente, isso é suficiente para provar o lema.

1226 Para conseguirmos fazer essa análise, consideramos uma leve modificação do algoritmo
1227 que em nada altera o seu comportamento. Considere uma tabela cujas colunas são inde-
1228 xadas pelas variáveis de \mathcal{P} . Para cada $P \in \mathcal{P}$, a coluna P contém uma sequência infinita
1229 $\text{eft}(P^{(0)}, P^{(1)}, P^{(2)}, \dots, \text{ight})$ de amostras independentes de P , tomadas de acordo com sua distri-
1230 buição. Toda vez que o algoritmo (o algoritmo de Moser-Tardos ou a τ -verificação) for reamostrar
1231 a variável P , basta pegar o próximo valor da coluna P que ainda não foi utilizado. O que
1232 mostraremos é que, quando a tabela é a mesma para os dois algoritmos, se τ ocorre em C então
1233 a τ -verificação passa.

1234 Suponhamos então que τ ocorre em C , isto é, $\tau = \tau_C(t)$ para algum $t \in \mathbb{N}$. Para todo $P \in \mathcal{P}$
1235 e $v \in V(\tau)$ defina

$$S(P, v) := \{w \in V(\tau) : d(w) > d(v), P \in \text{vbl}([w])\}.$$

1236 Fixemos agora $v \in V(\tau)$. Afirmamos que quando a τ -verificação visita o vértice v e reamostra
1237 as variáveis de $\text{vbl}([v])$, a tabela dá o valor $P^{(|S(P,v)|)}$ para $P \in \text{vbl}([v])$. De fato, como a
1238 τ -verificação visita os vértices em ordem decrescente de profundidade, antes de visitar o vértice v
1239 cada $P \in \text{vbl}([v])$ foi reamostrado exatamente quando os vértices de $S(P, v)$ eram visitados.
1240 Além disso, do item 1 do Lema 125 temos que o vértice v é o único com profundidade $d(v)$ que
1241 depende das variáveis em $\text{vbl}([v])$.

1242 Observemos agora que, quando o algoritmo de Moser-Tardos escolhe o evento $[v]$ no passo
1243 $q(v)$ para reamostrar suas variáveis, o evento $[v]$ está violado. Afirmamos que, logo antes dessa
1244 reamostragem, a cada $P \in \text{vbl}([v])$ também está atribuído o valor $P^{(|S(P,v)|)}$. Note que, na
1245 τ -verificação, depois de as variáveis em $\text{vbl}([v])$ serem reamostradas, a tabela dá exatamente
1246 esse valor para cada $P \in \text{vbl}([v])$. Portanto, se a afirmação é verdadeira, teremos que o evento
1247 $[v]$ estava violado depois da reamostragem da τ -verificação. Como v é arbitrário, isso é suficiente
1248 para concluir que a τ -verificação passou. Basta, portanto, provar a afirmação.

1249 Note agora que, pela própria construção de $\tau_C(t)$, temos que

$$S(P, v) = \{w \in V(\tau) : q(w) < q(v), P \in \text{vbl}([w])\}.$$

1250 Portanto, antes do passo de reamostragem $q(v)$ do algoritmo de Moser-Tardos, as variáveis
1251 em $\text{vbl}([v])$ foram reamostradas nos passos $q(w)$ com $w \in S(P, v)$. Como elas também foram
1252 amostradas uma vez cada no passo inicial (linha 2), a afirmação segue. Isso termina a prova. \square

1253 Falta agora relacionar as árvores-testemunha com as condições do LLL.

1254 4.1.4. *O processo de Galton-Watson e a prova do Teorema 122.* Fixe um evento $A \in \mathcal{A}$ e
1255 considere o seguinte processo para gerar uma árvore-testemunha $\tau \in \mathcal{T}_A$. No primeira iteração,
1256 construímos uma árvore com apenas um vértice raiz isolado rotulado com A . Nas iterações
1257 subsequentes, consideramos cada vértice produzido na iteração anterior independentemente e,
1258 também independentemente, para cada evento $B \in \Gamma^+([v])$ adicionamos a v um vértice filho u tal
1259 que $[u] = B$ com probabilidade $x(B)$, e não adicionamos com probabilidade $1 - x(B)$. O processo
1260 continua até que uma iteração não produza nenhum vértice (existe, é claro, a possibilidade de
1261 que isso nunca aconteça e o processo continue indefinidamente).

1262 Para melhorar a apresentação, defina

$$x'(B) := x(B) \prod_{C \in \Gamma(B)} (1 - x(C)).$$

1263 Note que as hipóteses do LLL são equivalentes a

$$\mathbb{P}[B] \leq x'(B) \quad \text{para todo } B \in \mathcal{A}.$$

1264 Apresentamos agora a probabilidade que o processo acima produza uma árvore $\tau \in \mathcal{T}_A$ fixa.

1265 **Lema 127.** *Seja $\tau \in \mathcal{T}_A$. A probabilidade p_τ de que o processo acima produza a árvore-*
 1266 *testemunha τ é*

$$p_\tau = \frac{1 - x(A)}{x(A)} \prod_{v \in V(\tau)} x'([v]).$$

1267 *Demonstração.* Para cada $v \in V(\tau)$, defina

$$W_v := \{B \in \Gamma^+([v]) : \nexists u \in V(\tau) \text{ filho de } v \text{ tal que } [u] = B\}.$$

1268 Seja $s \in V(\tau)$ a raiz da árvore enraizada de τ . Note que $[s] = A$. Temos que

$$p_\tau = \prod_{C \in W_s} (1 - x(C)) \prod_{v \in V(\tau) \setminus \{s\}} \left(x([v]) \prod_{B \in W_v} (1 - x(B)) \right).$$

1269 Podemos reescrever essa expressão da seguinte forma:

$$p_\tau = \prod_{C \in \Gamma^+(A)} (1 - x(C)) \prod_{v \in V(\tau) \setminus \{s\}} \left(\frac{x([v])}{1 - x([v])} \prod_{B \in \Gamma^+([v])} (1 - x(B)) \right).$$

1270 Podemos colocar o produtório de fora para dentro com um fator de correção, obtendo:

$$\begin{aligned} p_\tau &= \frac{1 - x(A)}{x(A)} \prod_{v \in V(\tau)} \left(\frac{x([v])}{1 - x([v])} \prod_{B \in \Gamma^+([v])} (1 - x(B)) \right) \\ &= \frac{1 - x(A)}{x(A)} \prod_{v \in V(\tau)} \left(x([v]) \prod_{B \in \Gamma([v])} (1 - x(B)) \right) \\ &= \frac{1 - x(A)}{x(A)} \prod_{v \in V(\tau)} x'([v]). \quad \square \end{aligned}$$

1271 Temos agora todos os elementos necessários para completar a prova do Teorema 122.

1272 *Prova do Teorema 122.* Fixemos $A \in \mathcal{A}$. Usando a equação (12), as hipóteses do Teorema 122

1273 e os lemas 126 e 127, obtemos que

$$\begin{aligned} \mathbb{E}[N_A] &= \sum_{\tau \in \mathcal{T}_A} \mathbb{P}[\tau \text{ ocorre em } C] \leq \sum_{\tau \in \mathcal{T}_A} \prod_{v \in V(\tau)} \mathbb{P}[[v]] \leq \sum_{\tau \in \mathcal{T}_A} \prod_{v \in V(\tau)} x'([v]) \\ &= \frac{x(A)}{1 - x(A)} \sum_{\tau \in \mathcal{T}_A} p_\tau \leq \frac{x(A)}{1 - x(A)}, \end{aligned}$$

1274 como queríamos demonstrar. □

1275

§5. COMPLEXIDADE DE CIRCUITOS

1276 5.1. **Aula 13 de junho de 2018: Cotas inferiores para complexidade monótona.** ²¹

1277 *Circuitos Booleanos* são um modelo *não-uniforme* de computação muito estudado em comple-
1278 xidade computacional. Diferentemente do modelo *uniforme* da máquina de Turing, um circuito
1279 permite que um algoritmo diferente seja usado para cada tamanho de entrada. Além disso,
1280 todo algoritmo polinomial pode ser implementado por uma sequência de circuitos Booleanos de
1281 tamanho polinomial. Deste modo, provar uma cota inferior superpolinomial para o tamanho de
1282 um menor circuito que computa um problema de decisão em **NP** é suficiente para provar que
1283 $\mathbf{P} \neq \mathbf{NP}$.

1284 **Definição 128.** Para todo $n \in \mathbb{N}$, um circuito Booleano com n entradas e uma saída é um
1285 grafo dirigido acíclico com n fontes e um sorvedouro. Todos os vértices que não são fonte são
1286 chamados portas e são rotulados com um dentre $\{\wedge, \vee, \neg\}$. Os vértices rotulados com \vee ou \wedge
1287 tem fan-in (isto é, grau de entrada) igual a 2 e os vértices rotulados com \neg tem fan-in 1. Quando
1288 todas as portas tem fan-out (isto é, grau de saída) no máximo 1, o circuito é chamado fórmula.
1289 O tamanho de um circuito C , denotado por $|C|$, é o número de vértices que ele contém. Se C é
1290 um circuito Booleano e $x \in \{0, 1\}^n$ é uma entrada, então a saída de C em x , denotada por $C(x)$,
1291 é definida da maneira natural. Para uma função $f : \{0, 1\}^n \rightarrow \{0, 1\}$, dizemos que C computa f
1292 se, para todo $x \in \{0, 1\}^n$, temos que $f(x) = C(x)$.

1293 Dado $x \in \{0, 1\}^n$, denotaremos o número de bits de valor 1 em x por $|x|_1$. Equivalentemente,
1294 $|x|_1 = \sum_i x_i$.

1295 Uma motivação para estudar circuitos Booleanos é a esperança de que, tratando-se de um
1296 modelo *finito*, técnicas combinatórias possam ser bem-sucedidas em provar cotas inferiores.
1297 Infelizmente, até o momento nenhuma cota inferior superlinear é conhecida para circuitos gerais.
1298 A melhor cota inferior geral conhecida é $5n - o(n)$ [5]. Por outro lado, obteve-se até hoje
1299 considerável sucesso em provar cotas inferiores para classes restritas de circuitos, como *circuitos*
1300 *monótonos*.

1301 **Definição 129.** Circuitos monótonos são circuitos sem portas \neg . Dados $x, y \in \{0, 1\}^n$, escreve-
1302 mos $x \leq y$ se $x_i \leq y_i$ para todo $i \in [n]$. Dizemos que uma função Booleana $f : \{0, 1\}^n \rightarrow \{0, 1\}$ é
1303 monótona se $f(x) \leq f(y)$ sempre que $x \leq y$.

²¹Notas produzidas por Bruno Pasqualotto Cavalari e REVISOR?.

1304 Observamos que a função computada por um circuito monótono é sempre monótona, e que
 1305 toda função monótona é computável por algum circuito monótono.

1306 Denote por $\text{CLIQUE}_{k,n} : \{0,1\}^{\binom{n}{2}} \rightarrow \{0,1\}$ a função que, dada uma matriz de adjacência
 1307 de um grafo G de n vértices, vale 1 se, e somente se, G contém um k -clique. A primeira cota
 1308 inferior superpolinomial para circuitos monótonos foi obtida por Razborov [8] para a função
 1309 $\text{CLIQUE}_{k,n}$, e posteriormente melhorada por Andreev [2] e Alon e Boppana [1].

1310 **Teorema 130** ([1,2,8]). *Existe uma constante $\varepsilon > 0$ tal que, para todo $k \leq n^{1/4}$, não existe um*
 1311 *circuito monótono de tamanho menor que $n^{\varepsilon\sqrt{k}}$ que computa $\text{CLIQUE}_{k,n}$.*

1312 Iremos provar o Teorema para o caso $k = 3$. Mais precisamente, vamos provar o seguinte.
 1313 Seja $T := T_m := \text{CLIQUE}_{3,m}$.

1314 **Teorema 131.** *A complexidade monótona de T é $\Omega(m^3/\ln^4 m)$.*

1315 Para uma função booleana f , seja $A(f) := \{x \in \{0,1\}^n : f(x) = 1\}$. Claramente, $A(f \vee g) =$
 1316 $A(f) \cup A(g)$ e $A(f \wedge g) = A(f) \cap A(g)$. Seja C um circuito monótono de tamanho s que computa
 1317 uma função booleana $f = f(x_1, \dots, x_n)$. É possível descrever C com um *straight-line program*,
 1318 isto é, uma sequência de funções $x_1, x_2, \dots, x_n, f_1, \dots, f_s$, onde $f = f_s$ e todo f_i ($1 \leq i \leq s$) é um
 1319 **OR** ou um **AND** de duas funções anteriores na sequência. Deste modo, aplicando A obtemos
 1320 a seguinte sequência $A(C)$ de subconjuntos de $\{0,1\}^n$: $A_{-n} = A(x_n), \dots, A_{-1} = A(x_1), A_1 =$
 1321 $A(f_1), \dots, A_s = A(f_s) = A(f)$, onde todo A_i ($1 \leq i \leq s$) é uma união ou intersecção de dois
 1322 conjuntos anteriores na sequência. Iremos substituir a sequência $A(C)$ por uma sequência
 1323 *aproximadora* $M(C) : M_{-n} = A_{-n}, \dots, M_{-1} = A_{-1}, M_1, \dots, M_s$, definida substituindo as
 1324 operações de união e intersecção por operações “aproximadas” \sqcup e \sqcap . Essas operações serão
 1325 definidas adiante, de modo a assegurar que

$$M \sqcup L \supseteq M \cup L \quad \text{e} \quad M \sqcap L \subseteq M \cap L. \quad (13)$$

1326 Portanto, se para algum $j \in [s]$ vale que $A_j = A_\ell \cup A_k$ para $\ell, k < j$, então $M_j = M_\ell \sqcup M_k$;
 1327 analogamente, se vale que $A_j = A_\ell \cap A_k$, então $M_j = M_\ell \sqcap M_k$. Quando $M_j = M_\ell \sqcup M_k$,
 1328 definimos $\delta_{\sqcup}^j = M_j \setminus (M_\ell \cup M_k)$ e $\delta_{\sqcap}^j = \emptyset$; analogamente, quando $M_j = M_\ell \sqcap M_k$, definimos
 1329 $\delta_{\sqcap}^j = (M_\ell \cap M_k) \setminus M_j$ e $\delta_{\sqcup}^j = \emptyset$.

1330 **Lema 132.** *Para todo M_i , vale que*

$$A_i \setminus \bigcup_{j \leq i} \delta_{\sqcap}^j \subseteq M_i \subseteq A_i \cup \bigcup_{j \leq i} \delta_{\sqcup}^j. \quad (14)$$

1331 *Demonstração.* Faremos a prova por indução em i . Quando $i < 0$, $M_i = A_i$ e o resultado vale.
 1332 Suponha então que o resultado vale para todo $j < i$. Iremos provar que o resultado vale para i .
 1333 Se $A_i = A_\ell \sqcup A_k$, então, pela hipótese de indução, vale que

$$M_i = M_\ell \cup M_k \cup \delta_\sqcup^j \subseteq A_\ell \cup A_k \cup \bigcup_{j \leq i} \delta_\sqcup^j = A_i \cup \bigcup_{j \leq i} \delta_\sqcup^j$$

1334 e

$$M_i = M_\ell \sqcup M_k \supseteq M_\ell \cup M_k \supseteq \left(A_\ell \setminus \bigcup_{j \leq \ell} \delta_\sqcup^j \right) \cup \left(A_k \setminus \bigcup_{j \leq k} \delta_\sqcup^j \right) \supseteq A_i \setminus \bigcup_{j \leq i} \delta_\sqcup^j.$$

1335 Isso completa a prova no caso $A_i = A_\ell \sqcup A_k$, Quando $A_i = A_\ell \sqcap A_k$, a prova é análoga. \square

1336 O Lema 132 é válido para qualquer escolha das operações \sqcup e \sqcap que satisfaça (13). Iremos
 1337 definir essas operações da seguinte maneira. Seja $r := 36 \ln^2 m$. Para todo conjunto R de no
 1338 máximo r arestas sobre $V = [m]$, denote por $\lceil R \rceil$ o conjunto de todos os grafos sobre V que
 1339 contém pelo menos uma aresta de R . Observe que $\lceil \emptyset \rceil = \emptyset$. Denotamos por $\lceil * \rceil$ o conjunto
 1340 de todos os grafos sobre V . Observe que $M_{-i} = \lceil R \rceil$, onde R é o conjunto unitário que contém
 1341 a aresta representada por x_i . Para dois conjuntos R_1 e R_2 de no máximo r arestas cada,
 1342 definimos $\lceil R_1 \rceil \sqcap \lceil R_2 \rceil = \lceil R_1 \cap R_2 \rceil$, $\lceil R_1 \rceil \sqcap \lceil * \rceil = \lceil R_1 \rceil$ e $\lceil * \rceil \sqcap \lceil * \rceil = \lceil * \rceil$. Analogamente,
 1343 se $|R_1 \cup R_2| \leq r$, definimos $\lceil R_1 \rceil \sqcup \lceil R_2 \rceil = \lceil R_1 \cup R_2 \rceil$, ao passo que, quando $|R_1 \cup R_2| > r$,
 1344 definimos $\lceil R_1 \rceil \sqcup \lceil R_2 \rceil = \lceil * \rceil$. Por fim, definimos $\lceil R_1 \rceil \sqcup \lceil * \rceil = \lceil * \rceil \sqcup \lceil * \rceil = \lceil * \rceil$. Estão assim
 1345 definidas as operações \sqcup e \sqcap na sequência $M(C)$.

1346 5.2. Aula 18 de junho de 2018: Complexidade monótona e circuitos de profundidade 1347 limitada. ²²

1348 *Demonstração do Teorema 131.* Consideramos C circuito com $s \leq \binom{m}{3} / (2r^2)$ portas, onde $r =$
 1349 $36(\log_2 m)^2$. Note que $A(T) = \{\text{família de grafos sobre } V \text{ que contém triângulo}\}$. Ademais,
 1350 tomamos $\alpha_s : \{0, 1\}^{\binom{V}{2}} \rightarrow \{0, 1\}$ tal que $\alpha_s^{-1}(1) = M_s$, isto é, α_s aproxima $f_s = T$.

1351 Vamos mostrar que existem muitos F , F grafo sobre V , tais que $T(F) = 1$ mas sua aproximação
 1352 $\alpha_s(F) = 0$, ou tais que $T(F) = 0$ mas sua aproximação $\alpha_s(F) = 1$. Pelo Lema 132, para cobrir
 1353 tais diferenças s terá que ser grande pois os $\delta_\sqcup^i, \delta_\sqcap^i$ são pequenos.

1354 **Caso 1:** $M_s = \lceil R \rceil$ para algum R com $|R| \leq r$. Neste caso, sorteamos F como sendo $\binom{X}{3}$ onde
 1355 $X \subseteq V$, $|X| = 3$, é escolhido uniformemente ao acaso. Claramente, $T(F) = 1$. Ademais,

$$\mathbb{P}(F \in M_s) = \mathbb{P}(F \cap R \neq \emptyset) \leq \frac{r(m-2)}{\binom{m}{3}} = o(1).$$

²²Notas produzidas por Rodrigo Enju e André Nakazawa.

1356 Logo, existe m_0 tal que se $m \geq m_0$, então $\mathbb{P}(F \in M_s) < 1/2$.

1357 **Afirmção 133.** Para cada j , com $1 \leq j \leq s$, temos que

$$\mathbb{P}(F \in \delta_{\sqcap}^j) \leq r^2 \binom{m}{3}^{-1}$$

1358 *Demonstração.* (Afirmção 133) Se $\delta_{\sqcap}^j = \emptyset$, a afirmação claramente vale. Então suponha que

1359 $\delta_{\sqcap}^j \neq \emptyset$. Neste caso, existem $R_a, R_b \subseteq \binom{V}{2}$ tais que $|R_a|, |R_b| \leq r$ e $M_a = [R_a], M_b = [R_b]$. Logo

1360 $\delta_{\sqcap}^j = (M_a \cap M_b) \setminus (M_a \sqcap M_b) = ([R_a] \cap [R_b]) \setminus ([R_a] \sqcap [R_b])$. Então

1361 $\mathbb{P}(F \in \delta_{\sqcap}^j) = \mathbb{P}(F \in ([R_a] \cap [R_b]) \setminus ([R_a] \sqcap [R_b])) \leq r^2 \binom{m}{3}^{-1}$. \square

1362 Como $s \leq \binom{m}{3}/2r^2$, temos que $\mathbb{P}(\bigcup_{j \leq s} \delta_{\sqcap}^j) \leq 1/2$. Assim, temos que $\mathbb{P}((A(T) \setminus \bigcup_{j \leq s} \delta_{\sqcap}^j) \setminus M_j) > 0$.

1363 Contradição, pois como a probabilidade é positiva, ainda temos erros que não são cobertos.

1364 **Caso 2:** $M_s = [*]$. Escolhemos F aleatoriamente como segue: sorteamos $X \subseteq V$ uniformemente

1365 ao acaso e tomamos $F = X \times (V \setminus X)$. Claramente, $T(F) = 0$ pois F é bipartido mas $\alpha_s(F) = 1$

1366 dado que $M_s = [*] \Rightarrow \alpha_s \equiv 1$.

1367 **Afirmção 134.** Para cada j , com $1 \leq j \leq s$, temos que

$$\mathbb{P}(F \in \delta_{\sqcup}^j) \leq 2^{-\sqrt{r}/2}.$$

1368 *Demonstração.* (Afirmção 134) Claramente, podemos supor $\delta_{\sqcup}^j \neq \emptyset$. Logo, segue que existem

1369 $R_a, R_b \subseteq \binom{V}{2}$ tais que $|R_a|, |R_b| \leq r$ com $|R_a \cup R_b| > r$ e $M_a = [R_a], M_b = [R_b]$. Considere

1370 $\mathcal{H} = (V, R_a \cup R_b)$. Pelo Teorema de Vizing, sabemos que $\chi'(\mathcal{H}) \leq \Delta(\mathcal{H}) + 1$. Seja $\nu(\mathcal{H}) =$

1371 tamanho máximo de um emparelhamento de \mathcal{H} . Então $r < |R_a \cup R_b| \leq (\Delta(\mathcal{H}) + 1)\nu(\mathcal{H})$, donde

1372 segue que \mathcal{H} contém uma estrela $K^{1,d}$ com $d \geq \sqrt{2}/2$ ou um conjunto de $d \geq \sqrt{2}/2$ arestas

1373 independentes. \square

1374 Sejam e_1, \dots, e_k , $k \geq \sqrt{r}/2$, as arestas nesse $K^{1,d}$ ou nesse emparelhamento com pelo menos

1375 $\sqrt{r}/2$ arestas.

1376 Se $F \in \delta_{\sqcap}^j$, então $F \notin [R_a] \cup [R_b]$ e assim $F \cap R_a \neq \emptyset$ e $F \cap R_b \neq \emptyset$ e portanto, cada e_i ,

1377 $1 \leq i \leq k$, está contido em X ou em $V \setminus X$. Isto ocorre com probabilidade $(1/2)^k \leq (1/2)^{\sqrt{r}/2}$

1378 Assim, temos que

$$\mathbb{P}(\bigcup_{j \leq s} \delta_{\sqcap}^j) \leq s 2^{-\sqrt{r}/2} \leq \binom{m}{3} \frac{1}{2r^2} 2^{-6 \log_2 m/2} = o(1).$$

1379 Contradição. \square

1380 5.2.1. *Circuitos de profundidade limitada.* Seja C um circuito. Definimos a profundidade de C

1381 como o comprimento máximo de um caminho de uma variável até a saída.

1382 **Exemplo 135.** A função booleana $\oplus_n : \{0, 1\}^n \rightarrow \{0, 1\}$ que conta a paridade do # de bits 1,
 1383 definida como $f((x_i)_{i=1}^n) = (\sum_{i=1}^n x_i) \bmod 2$, admite circuito com $O(n)$ portas e profundidade
 1384 $O(\log n)$.

1385 **Observação 136.** Circuitos com profundidade limitada para \oplus_n exigem # superpolinomial de
 1386 portas.

1387 **5.3. Aula 20 de Junho de 2018: Circuitos de profundidade limitada (continuação).**

1388 23

1389 5.3.1. *Circuitos de Profundidade Limitada.* Seja C um circuito. Definimos sua profundidade
 1390 $\text{prof } C$ como sendo o comprimento de um maior caminho entre uma de suas variáveis e uma de
 1391 suas saídas.

1392 É possível classificar funções booleanas pelo tamanho ou profundidade dos circuitos que
 1393 as computam. NC^i é a classe das funções que podem ser computadas por algum circuito de
 1394 profundidade $O(\log^i n)$ com número polinomial de portas, todas com exatamente duas entradas.
 1395 AC^i , por sua vez, é a classe definida de maneira análoga, na qual as portas possuem fan-in
 1396 ilimitado. Sabe-se que $AC^0 \subseteq NC^1 \subseteq AC^1$.

1397 Nesta seção, vamos considerar a função paridade de números binários de n bits, que denotare-
 1398 mos por \oplus_n . Essa função é definida por

$$\oplus_n : \{0, 1\}^n \rightarrow \{0, 1\}$$

$$(x_i)_1^n \mapsto \left(\sum_i x_i\right) \bmod 2.$$

1399 Usando cópias do gadget ilustrado na figura 6, que implementa a função \oplus_2 , podemos construir
 1400 um circuito com $O(n)$ portas e profundidade $O(\log n)$ para \oplus_n . Em outras palavras, temos que
 1401 $\oplus_n \in AC^1$.

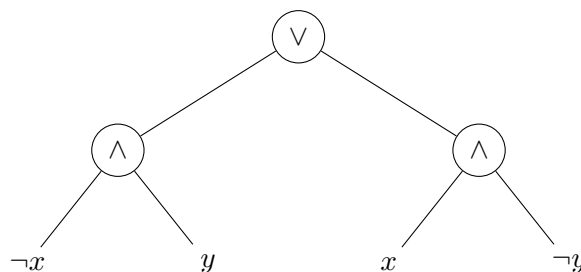


FIGURA 6. Circuito que implementa \oplus_2

²³Notas produzidas por Felix Liu e Ângelo Lovatto

1402 Mostraremos adiante que se C é um circuito para \oplus_n com número polinomial de portas, então
 1403 $prof(C) = \Omega\left(\frac{\log n}{\log \log n}\right)$. Ou seja, $\oplus_n \in NC^1$. Dito isso, é de se perguntar se \oplus_n não está
 1404 também em AC^0 . Nesta seção, vamos mostrar que não: é impossível construir um circuito para
 1405 \oplus_n com número polinomial de portas e profundidade limitada i.e. $\oplus_n \notin AC^0$.

1406 **Definição 137** (*t*-CNF e *s*-DNF). Um *t*-CNF é um circuito na forma normal conjuntiva, com
 1407 a restrição de que cada cláusula tem no máximo *t* literais.

1408 Analogamente, um *s*-DNF é um circuito na forma normal disjuntiva, com a restrição de que
 1409 cada cláusula tem no máximo *s* literais.

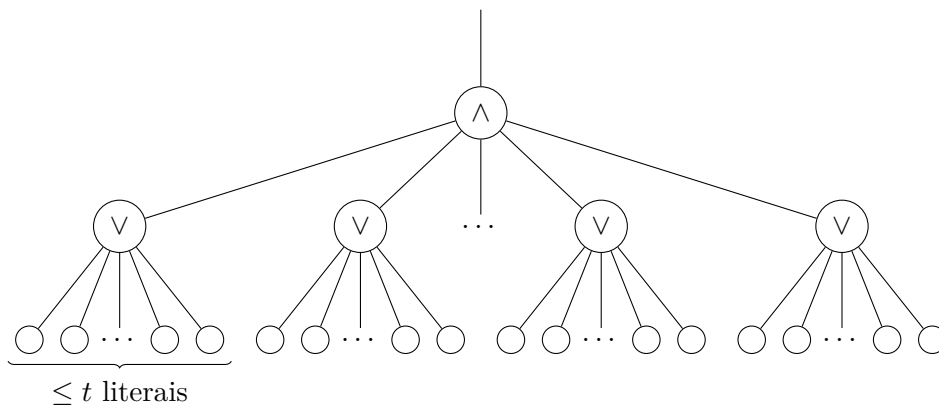


FIGURA 7. *t*-CNF

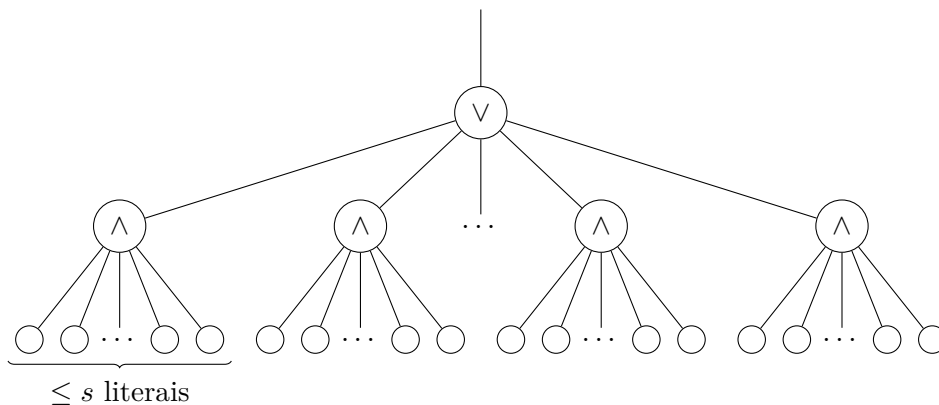


FIGURA 8. *s*-DNF

1410 **Definição 138.** Seja f uma fórmula booleana $f : \{0, 1\}^{[n]} \rightarrow \{0, 1\}$ e $\varrho : [n] \rightarrow \{0, 1, *\}$.

1411 Definimos o suporte de ϱ como sendo $supp(\varrho) = \varrho^{-1}(\{0, 1\})$.

1412 A função f restrita a ϱ , $f|_{\varrho}: \{0, 1\}^{\varrho^{-1}(\ast)} \rightarrow \{0, 1\}$, é dada por

$$f|_{\varrho}(y) = f(x), \text{ com } x_i = \begin{cases} \varrho_i & \text{se } i \in \text{supp}(\varrho) \\ y_i & \text{se } i \in \varrho^{-1}(\ast) \end{cases}$$

1413 Informalmente, fixamos através de ϱ os valores de alguns literais de f , resultando em uma função
1414 $f|_{\varrho}$ que depende dos demais literais. Neste contexto, dizemos que ϱ é uma restrição.

1415 **Exemplo 139.** Seja $f = (x_1 \wedge x_2) \vee x_3$ e $\varrho(1) = 0, \varrho(2) = \varrho(3) = \ast$. Então $f|_{\varrho} = (0 \wedge x_2) \vee x_3$.
1416 Observe que $f|_{\varrho} \equiv x_3$, mas ainda é definida como uma função sobre x_2 e x_3 .

1417 **Definição 140.** Dado $0 < p < 1$, uma p -restrição aleatória é uma restrição ϱ em que para cada
1418 posição i , independentemente, temos

$$\mathbb{P}(\varrho(i) = \ast) = p; \text{ e}$$

$$\mathbb{P}(\varrho(i) = 0) = \mathbb{P}(\varrho(i) = 1) = (1 - p)/2.$$

1419 **Definição 141** (Minterm e Maxterm). Dada $f(x_1, \dots, x_n)$ uma função binária, uma restrição
1420 ϱ é um minterm de f se $f|_{\varrho} \equiv 1$ e $\text{supp}(\varrho)$ é minimal. Se ϱ é tal que $f|_{\varrho} \equiv 0$ e $\text{supp}(\varrho)$ é minimal,
1421 dizemos que ϱ é um maxterm de f .

1422 **Fato 142.** Se f é tal que todo minterm μ tem $|\text{supp}(\mu)| \leq s$, então f é s -DNF.

1423 **Fato 143.** Se f é tal que todo maxterm μ tem $|\text{supp}(\mu)| \leq t$, então f é t -CNF.

1424 Para verificar ambos os fatos, basta observar que podemos tomar os minterms como cláusulas
1425 para um s -DNF, e os maxterms como cláusulas para um t -CNF.

1426 **Lema 144** (Switching Lemma). Seja $G : \{0, 1\}^n \rightarrow \{0, 1\}$ uma t -CNF e ϱ uma p -restrição
1427 aleatória. Então

$$\mathbb{P}(G|_{\varrho} \text{ não é } (s-1)\text{-DNF}) \leq \mathbb{P}(G|_{\varrho} \text{ tem minterm } \geq s) \leq (5pt)^s$$

1428 **Observação 145.** O Switching Lemma admite uma versão dual, na qual temos t -DNF em vez
1429 de t -CNF e $(s-1)$ -CNF em vez de $(s-1)$ -DNF e maxterm em vez de minterm.

1430 *Demonstração.* Dada uma t -DNF de G , podemos aplicar os teoremas de De Morgan para obter
1431 uma t -CNF de $\neg G$ em que possamos usar o Switching Lemma. Fixe um ϱ arbitrário. Então
1432 aplicando De Morgan podemos constatar que $\neg G|_{\varrho}$ é $(s-1)$ -DNF se e só se $G|_{\varrho}$ é $(s-1)$ -DNF.
1433 Além disso, não é difícil ver que $\neg G|_{\varrho}$ tem minterm $\geq s$ se e só se $G|_{\varrho}$ tem maxterm $\geq s$. \square

1434 **Definição 146** (Circuito alternante). *Um circuito alternante C é tal que*

- 1435 • *Seus literais estão todos no nível 1;*
- 1436 • *A porta de sua única saída está no nível $d + 1$;*
- 1437 • *Toda porta só tem saídas do nível anterior como entradas;*
- 1438 • *As portas de um mesmo nível são todas do mesmo operador (\wedge ou \vee); e*
- 1439 • *O operador de cada nível é distinto dos níveis imediatamente adjacentes (\wedge e \vee se*
- 1440 *alternam a cada nível).*

1441 **Definição 147.** *Um $C(s, s', d, t)$ -circuito é um circuito alternante em que*

- 1442 • *O total de portas do circuito é no máximo s ;*
- 1443 • *O total de portas do nível 3 ao $d + 1$ é no máximo s' ;*
- 1444 • *A profundidade do circuito é no máximo d ; e*
- 1445 • *O fan-in das portas do nível 2 é no máximo t .*

1446 Denotaremos por $C_f(s, s', d, t)$, onde $f \in \{\wedge, \vee\}$, $C(s, s', d, t)$ -circuitos cujas portas do nível 2
1447 são do tipo f .

1448 **Exemplo 148.** Podemos obter um $C_\wedge(1 + 2^{n-1}, 1, 2, n)$ -circuito para \oplus_n da seguinte maneira:
1449 Para cada $\varepsilon \in \{0, 1\}^n$ ímpar possível, criamos uma cláusula conjuntiva com n literais, os quais
1450 equivalem a $x_i \oplus \varepsilon_i \oplus 1$. Efetivamente, esse circuito limita-se a computar se a entrada é igual a
1451 algum dos ε ímpares possíveis e, portanto, é um circuito para \oplus_n .

1452 Seja G uma das portas de um $C(s, s', d, t)$ -circuito C . Vamos nos referir por “circuito de G ”
1453 ao circuito formado por G e os literais na entrada de G , se G está no nível 2; ou ao circuito
1454 formado por G e pelos circuitos das portas na entrada de G , se G está acima do nível 2.

1455 Dado um $C(s, s', d, t)$ -circuito com $d > 2$, podemos sortear uma p -restrição aleatória e aplicar
1456 o Switching Lemma aos circuitos das portas do nível 3, para que seu operador seja o mesmo
1457 que o do nível 4. Então, podemos remover as portas do nível 3 e ligar as entradas do nível 4
1458 às saídas adequadas do nível 2, obtendo um circuito de profundidade menor. Podemos então
1459 repetir esse procedimento até obter um $C_\wedge(\infty, 1, 2, t)$ -circuito (se necessário, acrescente um nível
1460 $d + 2$ e aplique o lema mais uma vez). No pior caso, aplicamos essa redução $d - 1$ vezes no total.
1461 Tomando $p = \frac{1}{10t}$, podemos mostrar que com alta probabilidade o circuito obtido computa uma
1462 restrição da função original. Com esse raciocínio em mente, provamos o seguinte teorema.

1463 **Teorema 149.** *Seja $f : \{0, 1\}^n \rightarrow \{0, 1\}$ uma função booleana que tem um $C(\infty, s', d, t)$ -*
 1464 *circuito. Suponha que $(s' + 1)/2^t \leq 1/2$ e $n(\frac{1}{10t})^{d-1} \geq 12$. Então f tem minterm de tamanho*
 1465 $\leq n - \frac{n}{2}(\frac{1}{10t})^{d-1} + t$.

1466 *Demonstração.* Tome $p = \frac{1}{10t}$ e $s = t$ no Switching Lemma. Cada aplicação do Switching Lemma
 1467 falha em gerar uma restrição do circuito original com probabilidade no máximo $(5pt)^s \leq \frac{1}{2^t}$.
 1468 Como aplicamos o Switching Lemma no máximo $s' + 1$ vezes (uma vez para cada porta acima
 1469 do nível 2, e talvez uma a mais) e $(s' + 1)/2^t \leq 1/2$, temos que as aplicações foram todas bem
 1470 sucedidas com probabilidade maior que $1/2$. Obtemos então um $C_\wedge(\infty, 1, 2, t)$ -circuito que é uma
 1471 t -DNF de uma função $g = f|_\varrho$, para um certo ϱ . Pelo Switching Lemma, com alta probabilidade
 1472 tal g tem minterm $\leq t$.

1473 Seja X o número de variáveis cujos valores não foram fixados no processo para se obter g .
 1474 Como em cada um dos $d - 1$ níveis sorteamos uma p -restrição aleatória distinta, isso significa
 1475 que $X \sim Bi(n, p^{d-1})$. Assim, temos que

$$\mathbb{P}(X \leq \varepsilon np^{d-1}) \leq e^{-\frac{1}{3}\varepsilon^2 np^{d-1}}.$$

1476 Tomando $\varepsilon = 1/2$, como $p = \frac{1}{10t}$ e supomos que $n(\frac{1}{10t})^{d-1} \geq 12$, temos que $-\frac{1}{3}\varepsilon^2 np^{d-1} \leq -1$.
 1477 Dessa forma, é verdade que

$$\mathbb{P}(X \leq \frac{n}{2}(\frac{1}{10t})^{d-1}) \leq e^{-1} < \frac{1}{2}.$$

1478 Assim, com probabilidade maior que $1/2$, g é uma função sobre $X \geq \frac{n}{2}(\frac{1}{10t})^{d-1}$ variáveis.
 1479 Logo, f tem minterm $\leq n - \frac{n}{2}(\frac{1}{10t})^{d-1} + t$, como queríamos. \square

1480 **Corolário 150.** *Suponha $2 \leq d \leq (\log n)/\log 20$. Não existe $C(\infty, 2^{n^{\frac{1}{d}}/10^{-2}}, d, \frac{1}{10}n^{\frac{1}{d}})$ para \oplus_n .*

1481 **Parte 4. BIBLIOGRAFIA**

1482 REFERÊNCIAS

- 1483 [1] N. Alon and R. B. Boppana, *The monotone circuit complexity of Boolean functions*, *Combinatorica* **7** (1987),
1484 no. 1, 1–22. MR905147 ↑5.1, 130
- 1485 [2] A. E. Andreev, *A method for obtaining lower bounds on the complexity of individual monotone functions*, *Dokl.*
1486 *Akad. Nauk SSSR* **282** (1985), no. 5, 1033–1037. MR796937 ↑5.1, 130
- 1487 [3] P. Erdős, *On a combinatorial problem. ii*, *Acta Mathematica Academiae Scientiarum Hungarica* **15** (1964Sep),
1488 no. 3, 445–447. ↑3
- 1489 [4] P. Erdős and L. Lovász, *Problems and results on 3-chromatic hypergraphs and some related questions*, *Infinite*
1490 *and finite sets* **10** (197401). ↑3
- 1491 [5] K. Iwama and H. Morizumi, *An explicit lower bound of $5n - o(n)$ for boolean circuits*, *Proceedings of the 27th*
1492 *international symposium on mathematical foundations of computer science, 2002*, pp. 353–364. ↑5.1
- 1493 [6] R. A. Moser and G. Tardos, *A constructive proof of the general Lovász local lemma*, *J. ACM* **57** (2010), no. 2,
1494 Art. 11, 15. MR2606086 ↑122
- 1495 [7] J. Radhakrishnan and A. Srinivasan, *Improved bounds and algorithms for hypergraph 2-coloring*, *Random*
1496 *Structures & Algorithms* **16** (2000), no. 1, 4–32. ↑3
- 1497 [8] A. A. Razborov, *Lower bounds on the monotone complexity of some Boolean functions*, *Dokl. Akad. Nauk*
1498 *SSSR* **281** (1985), no. 4, 798–801. MR785629 ↑5.1, 130
- 1499 [9] P. R. J. Östergård, *On the minimum size of 4-uniform hypergraphs without property B*, *Discrete Applied*
1500 *Mathematics* **163** (2014), 199–204. *Optimal Discrete Structures and Algorithms ODSA 2010*. ↑3
- 1501 INSTITUTO DE MATEMÁTICA E ESTATÍSTICA, UNIVERSIDADE DE SÃO PAULO, RUA DO MATÃO 1010, 05508–
1502 090 SÃO PAULO, SP